

สำนักหอสมุดกลาง พระจอมเกล้าลาดกระบัง

ระบบสั่งงานด้วยเสียงพูด  
Voice-to-Command System



รฟ.  
๗๒๖๗๘  
๒๕๔๙

เลขที่.....  
เลขทะเบียน..... 72159  
วัน,เดือน,ปี..... 11 ส.ย. 2550

b. 1176112x  
i.....

ปริญญานิพนธ์นี้เป็นส่วนหนึ่งของการศึกษาดานหลักสูตรปริญญาวิศวกรรมศาสตรบัณฑิต  
สาขาวิชาอิเล็กทรอนิกส์  
สถาบันเทคโนโลยีพระจอมเกล้าเจ้าคุณทหารลาดกระบัง  
ปีการศึกษา 2549

เอกสารนี้เป็นเอกสารที่สงวนไว้สำหรับการใช้งานเพื่อการศึกษาเท่านั้น ไม่อนุญาตให้นำไปใช้ประโยชน์ด้านการค้า  
ไม่ว่ากรณีใดๆ ทั้งสิ้น อีกทั้งห้ามมิให้ดัดแปลงเนื้อหา และต้องอ้างอิงถึงเจ้าของเอกสารทุกครั้งที่มีการนำไปใช้

ระบบสั่งงานด้วยเสียงพูด  
Voice-to-Command System



ปริญญาานิพนธ์สำหรับปริญญาวิศวกรรมศาสตรบัณฑิต  
สาขาวิชาอิเล็กทรอนิกส์  
คณะวิศวกรรมศาสตร์  
สถาบันเทคโนโลยีพระจอมเกล้าเจ้าคุณทหารลาดกระบัง  
ปีการศึกษา 2549

เอกสารนี้เป็นเอกสารที่สงวนไว้สำหรับการใช้งานเพื่อการศึกษาเท่านั้น ไม่อนุญาตให้นำไปใช้ประโยชน์ด้านการค้า  
ไม่ว่ากรณีใดๆ ทั้งสิ้น อีกทั้งห้ามมิให้ตัดแปลงเนื้อหา และต้องอ้างอิงถึงเจ้าของเอกสารทุกครั้งที่มีการนำไปใช้

ปริญญาานิพนธ์ปีการศึกษา 2549

ภาควิชาอิเล็กทรอนิกส์

คณะวิศวกรรมศาสตร์ สถาบันเทคโนโลยีพระจอมเกล้าเจ้าคุณทหารลาดกระบัง

เรื่อง ระบบสั่งงานด้วยเสียงพูด

Voice-to-Command System

ผู้จัดทำ

1. นางสาวหรรษธร ชีรรัตน์รักษ์ 46010900

2. นายกรกช เรืองฉาย 46010008

  
.....อาจารย์ที่ปรึกษา  
(อาจารย์ชินภัทร นันทจิวารัชย์)



เอกสารนี้เป็นเอกสารที่สงวนไว้สำหรับการใช้งานเพื่อการศึกษาเท่านั้น ไม่อนุญาตให้นำไปใช้ประโยชน์ด้านการค้า  
ไม่ว่ากรณีใดๆ ทั้งสิ้น อีกทั้งห้ามมิให้ดัดแปลงเนื้อหา และต้องอ้างอิงถึงเจ้าของเอกสารทุกครั้งที่มีการนำไปใช้

## ระบบสั่งงานด้วยเสียง

น.ส. หารรรษธร ชีรรัตน์รักษ์ รหัส 46010900

นาย กรกช เรืองฉาย รหัส 46010008

อ.ชินภัทร นันทจิวากรชัย อาจารย์ที่ปรึกษา

ปีการศึกษา 2549

### บทคัดย่อ

ปัจจุบัน การสั่งงานควบคุมเครื่องจักรกลขนาดเล็กที่มีฟังก์ชันการทำงานหลายอย่าง มักจะต้องใช้ปุ่มหรือคันบังคับที่มีจำนวนมากตามฟังก์ชันการทำงานเครื่องจักรนั้นๆ ทำให้ต้องฝึกฝนบุคคลากรเพื่อที่จะเรียนรู้ในการสั่งงานควบคุม และต้องใช้ระยะเวลาในการสร้างความคุ้นเคยกับการใช้ปุ่มหรือคันบังคับที่มีจำนวนมากนั้นอีกด้วย

โครงการนี้จึงนำเสนอแนวทางการศึกษาการควบคุมเครื่องจักรกลขนาดเล็ก ด้วยการสั่งงานด้วยเสียงพูดภาษาไทยพยางค์เดียว โดยระบบในโครงการนี้จะใช้คอมพิวเตอร์ในการประมวลผลกระบวนการรู้จำคำสั่งเสียง และส่งผลลัพธ์ออกไปควบคุมโมเดลจำลองของเครื่องจักร เพื่อให้โมเดลดังกล่าวทำงานตามคำสั่งที่ต้องการ

## Voice-to-Command System

Miss Hassatorn Theeraratrak 46010900

Mr. Korakot Ruangchai 46010008

Mr.Chinnapat Nantajiwakornchai Advisor

Educational Year 2549

### Abstract

Nowadays, there are many functions to control the machineries by using many joysticks and buttons. Therefore, it is necessary for workers to be trained before using the machineries.

This project presents Machinery Controlled with Speech Recognition using Thai speech with 1 syllable to reduce complex functions of machineries control. The system uses personal computer for speech recognition processing. The PC will process and send output to control the machinery model.

## กิตติกรรมประกาศ

ปริญญาานิพนธ์ฉบับนี้สำเร็จลุล่วงได้เป็นอย่างดี เนื่องจากคำแนะนำ และความช่วยเหลือจากหลายฝ่ายด้วยกัน โดยเฉพาะอย่างยิ่งอาจารย์ที่ปรึกษาที่คอยให้คำปรึกษา และความช่วยเหลือเสมอมา ซึ่งก็คืออาจารย์ ชินภัทร นันทจิวารักษ์ ขอบขอบพระคุณเป็นอย่างสูง

นอกเหนือจากนี้ต้องขอขอบพระคุณอาจารย์ทุกท่านในภาควิชาวิศวกรรมอิเล็กทรอนิกส์ คณะวิศวกรรมศาสตร์ สถาบันเทคโนโลยีพระจอมเกล้าเจ้าคุณทหารลาดกระบังเป็นอย่างยิ่งที่ได้ช่วยประสิทธิ์ประสาทวิชาความรู้ให้แก่คณะผู้จัดทำ และขอขอบคุณเพื่อนๆ ทุกคนที่ให้ความร่วมมือในการอัดเสียงเพื่อบันทึกผลการทดลองและยังคอยเป็นกำลังใจให้กัน

สุดท้ายต้องขอขอบคุณบุคคลที่สำคัญที่สุดในชีวิตที่ทำให้ข้าพเจ้ามีวันนี้ นั่นคือ บิดา มารดา และบุคคลในครอบครัว อันเป็นที่เคารพรัก ซึ่งได้เล็งดู คอยให้คำสั่งสอนข้าพเจ้ามาเป็นอย่างดี พร้อมให้โอกาสในการศึกษาอย่างเต็มที่ และยังให้กำลังใจ ความรักเสมอมา ข้าพเจ้าขอกราบขอบพระคุณมา ณ ที่นี้ด้วย

หรรษธร ชีรรัตน์รักษ์  
กรกช เรืองฉาย

## สารบัญ

เรื่อง	หน้า
บทคัดย่อ	i
Abstract	ii
กิตติกรรมประกาศ	iii
สารบัญ	iv
สารบัญรูป	vii
สารบัญตาราง	viii
<b>บทที่ 1 บทนำ</b>	<b>1</b>
1.1 ความเป็นมาของโครงการ	1
1.2 วัตถุประสงค์	1
1.3 ขอบเขตของโครงการ	2
1.4 ประโยชน์ที่คาดว่าจะได้รับ	2
<b>บทที่ 2 ระบบการเปล่งเสียงของมนุษย์</b>	<b>3</b>
2.1 อวัยวะที่ใช้ในการออกเสียง (Organ of Speech)	4
2.2 การเกิดของเสียง (Speech Production)	4
2.3 ประเภทของเสียง	5
<b>บทที่ 3 การรู้จำเสียงพูด</b>	<b>6</b>
3.1 การประมวลผลสัญญาณเสียงเบื้องต้น (Preprocessing)	6
3.1.1 การหาจุดเริ่มต้นและจุดสิ้นสุดของสัญญาณ (End Point Detection)	6
3.1.2 การแบ่งช่วงสัญญาณ (Frame Blocking)	8
3.1.3 การวินโดว์ (Windowing)	8

เอกสารนี้เป็นเอกสารที่สงวนไว้สำหรับการใช้งานเพื่อการศึกษาเท่านั้น ไม่อนุญาตให้นำไปใช้ประโยชน์ด้านการค้า ไม่ว่ากรณีใดๆ ทั้งสิ้น อีกทั้งห้ามมิให้ตัดแปลงเนื้อหา และต้องอ้างอิงถึงเจ้าของเอกสารทุกครั้งที่มีการนำไปใช้

3.2 การสกัดค่าลักษณะสำคัญของเสียงพูด (Speech Feature Extraction)	9
Mel Frequency Cepstral Coefficient (MFCC)	9
3.2.1 กระบวนการ Pre-emphasis	11
3.2.2 กระบวนการ Mel-Frequency Scaling and Cepstrum	11
3.3 เทคนิคการรู้จำ (Speech Recognition)	14
แบบจำลองฮิดเดินมาร์คอฟ (Hidden Markov Model หรือ HMM)	14
3.3.1 ปัญหาของแบบจำลองฮิดเดินมาร์คอฟ	17
3.3.2 The Forward Algorithm	18
3.3.3 The Viterbi Algorithm	20
3.3.4 The Forward-Backward Algorithm	20
<b>บทที่ 4 โครงสร้างของระบบ</b>	<b>22</b>
4.1 โครงสร้างโดยรวมของระบบ	22
4.2 โครงสร้างของโปรแกรม	23
4.2.1 กระบวนการสร้างฐานข้อมูลเพื่อให้ระบบรู้จำเสียงพูด	24
4.2.2 การประมวลผลที่ได้จากกระบวนการรู้จำเสียง	28
<b>บทที่ 5 การประยุกต์ใช้งาน</b>	<b>29</b>
5.1 วงจรควบคุมโมเดลดิจิตอล	29
5.2 รายการอุปกรณ์	34
<b>บทที่ 6 การทดลอง</b>	<b>36</b>
6.1 การทดลอง	37
6.2 ขั้นตอนการทดลอง	38
6.3 ผลการทดลอง	30
6.3.1 การทดสอบความถูกต้องโดยรวมในการใช้งานระบบ	38
6.3.2 การทดสอบความถูกต้องในการใช้งานแต่ละคำสั่งเสียง	43

บทที่ 7 สรุปผลการทดลอง	48
6.1 สรุปผลการทดลอง	48
6.2 วิเคราะห์ผลการทดลอง	49
6.3 ปัญหาและแนวทางการพัฒนา	49
ภาคผนวก ก Source Code ในโปรแกรมแมทแล็บ	50
ภาคผนวก ข Source Code ในไมโครคอนโทรลเลอร์	81
ภาคผนวก ค Datasheet	85
หนังสืออ้างอิง	97



## สารบัญรูป

รูปที่	หน้า
รูปที่ 2.1 อวัยวะที่ใช้ในการออกเสียง	3
รูปที่ 3.1 แผนภาพการหาค่าพลังงานช่วงสั้น (Short Time Energy)	6
รูปที่ 3.2 แสดงรูป Hamming Window และผลตอบสนองทางความถี่	7
รูปที่ 3.3 แสดงการแบ่งช่วงสัญญาณ	8
รูปที่ 3.4 แสดงสัญญาณเสียงที่ถูกเปลี่ยนเป็น MFCC Vectors	9
รูปที่ 3.5 บล็อกไดอะแกรมของกระบวนการ MFCC	10
รูปที่ 3.6 กราฟความสัมพันธ์ระหว่างความถี่เชิงเส้น (Hertz) กับความถี่เมล (Mel)	12
รูปที่ 3.7 Mel-frequency Filterbank	12
รูปที่ 3.8 Left-to-Right Hidden Markov Model	14
รูปที่ 3.9 แผนภาพการเปลี่ยนสถานะในกระบวนการ HMM	15
รูปที่ 3.10 แบบจำลองฮิดเดินมาร์คอฟ ที่มี 2 สถานะ และมี 2 เอ๊าท์พุท	16
รูปที่ 3.11 การคำนวณ Trellis ตามรูปแบบ Forward Computation	19
รูปที่ 4.1 แผนภาพแสดงลำดับการทำงานโดยรวมของระบบสั่งงานด้วยเสียงพูด	22
รูปที่ 4.2 แสดงกระบวนการประมวลผลคำสั่งเสียง	23
รูปที่ 4.3 กระบวนการสร้างฐานข้อมูลเพื่อให้ระบบรู้จำเสียงพูด	25
รูปที่ 4.4 แสดงส่วนประกอบของไฟล์ autotrain.m	26
รูปที่ 4.5 แสดงการหาจุดเริ่มต้นและจุดสิ้นสุดของสัญญาณ	27
รูปที่ 4.6 แสดงส่วนประกอบของไฟล์ test.m	28
รูปที่ 5.1 วงจรไมโครคอนโทรลเลอร์	30
รูปที่ 5.2 แสดงวงจร MAX232	31
รูปที่ 5.3 แสดงวงจร L293D	32
รูปที่ 5.4 แสดงวงจร Debounce Switch	33
รูปที่ 6.1 กราฟการทดสอบความถูกต้องโดยรวมในการสั่งงานระบบ	42
รูปที่ 6.2 กราฟการทดสอบความถูกต้องในการสั่งงานแต่ละคำสั่งเสียงของผู้ชายคนที่ 1	47
รูปที่ 6.3 กราฟการทดสอบความถูกต้องในการสั่งงานแต่ละคำสั่งเสียงของผู้หญิงคนที่ 1	47

## สารบัญตาราง

ตาราง	หน้า
ตาราง 6.1 แสดงคำสั่งที่ใช้ในการรู้จำเสียง	36
ตาราง 6.2 แสดงผลการทดลองสั่งงานระบบโดยผู้ชายที่มีเสียงอยู่ในฐานข้อมูล	38
ตาราง 6.3 แสดงผลการทดลองสั่งงานระบบโดยผู้หญิงที่มีเสียงอยู่ในฐานข้อมูล	39
ตาราง 6.4 ผลการทดลองสั่งงานระบบโดยผู้ชายที่มีเสียงอยู่นอกฐานข้อมูล	40
ตาราง 6.5 ผลการทดลองสั่งงานระบบโดยผู้หญิงที่มีเสียงอยู่นอกฐานข้อมูล	41
ตาราง 6.6 ผลการทดลองเปรียบเทียบความถูกต้องในการสั่งงานแต่ละคำสั่งเสียง โดยผู้ชายที่มีเสียงอยู่ในฐานข้อมูลเป็นผู้สั่งงาน	43
ตาราง 6.7 ผลการทดลองเปรียบเทียบความถูกต้องในการสั่งงานแต่ละคำสั่งเสียง โดยผู้ชายที่มีเสียงอยู่ในฐานข้อมูลเป็นผู้สั่งงาน (ต่อ)	44
ตาราง 6.8 ผลการทดลองเปรียบเทียบความถูกต้องในการสั่งงานแต่ละคำสั่งเสียง โดยผู้หญิงที่มีเสียงอยู่ในฐานข้อมูลเป็นผู้สั่งงาน	45
ตาราง 6.9 ผลการทดลองเปรียบเทียบความถูกต้องในการสั่งงานแต่ละคำสั่งเสียง โดยผู้หญิงที่มีเสียงอยู่ในฐานข้อมูลเป็นผู้สั่งงาน (ต่อ)	46

# บทที่ 1

## บทนำ

### 1.1 ความเป็นมาของโครงการ

ในปัจจุบัน ระบบรู้จำเสียงพูดได้เข้ามามีบทบาทในชีวิตประจำวันของมนุษย์ในหลายทาง เช่น การสั่งงานเครื่องใช้ในชีวิตประจำวันด้วยเสียงพูด ที่สามารถอำนวยความสะดวกให้กับผู้ใช้งานทั่วไปได้มากขึ้น รวมทั้งอำนวยความสะดวกต่อผู้พิการ ที่ปกติไม่สามารถใช้งานอุปกรณ์และเครื่องมือเครื่องใช้ได้สะดวกนัก หรือแม้แต่ระบบรักษาความปลอดภัยโดยใช้เสียงพูด เนื่องจากเสียงพูดของแต่ละคนมีเอกลักษณ์เป็นของตนเอง

โครงการนี้จึงนำเสนอแนวทางการประยุกต์ใช้งานระบบรู้จำเสียงพูด กับเครื่องจักรกลขนาดเล็กที่มีความซับซ้อนในการควบคุม เช่น รถโฟล์คลิฟท์ในห้างสรรพสินค้า โดยสั่งงานอุปกรณ์ดังกล่าวด้วยเสียงพูดภาษาไทยพยางค์เดียว โดยระบบในโครงการนี้จะใช้วิธีการที่เรียกว่า เมลฟรีควเอนซีเซปสตรัลโคอเฟิเชียน (Mel Frequency Cepstral Coefficient หรือ MFCC) เพื่อทำการหาลักษณะเด่นของคำสั่งเสียงพูดแต่ละคำ และใช้เทคนิคการรู้จำเสียงพูดที่เรียกว่า ฮิดเดินมาร์คอฟโมเดล (Hidden Markov Model หรือ HMM) ซึ่งจะต้องทำการเก็บข้อมูลเสียงต้นแบบไว้ก่อน และจึงนำคำสั่งเสียงมาเปรียบเทียบกับข้อมูลเสียงต้นแบบ ระบบจึงจะทำการตัดสินใจว่า สัญญาณเสียงที่รับเข้ามานั้นเป็นคำใด และนำไปสู่ควบคุมการทำงานของอุปกรณ์ต่างๆ ตามฟังก์ชันการทำงานที่กำหนดไว้

### 1.2 วัตถุประสงค์

- 1) เพื่อศึกษากระบวนการหาค่าลักษณะสำคัญของเสียงพูด
- 2) เพื่อศึกษากระบวนการรู้จำเสียงพูด โดยใช้แบบจำลองฮิดเดินมาร์คอฟ
- 3) เพื่อให้ระบบสามารถรู้จำคำสั่งเสียงพูดภาษาไทยพยางค์เดียวที่กำหนด
- 4) เพื่อเป็นพื้นฐานในการนำระบบรู้จำเสียงพูด ไปประยุกต์ใช้งานกับฮาร์ดแวร์ที่มีความซับซ้อนในการควบคุม

### 1.3 ขอบเขตของโครงการ

โครงการนี้แบ่งออกเป็น 2 ส่วน คือ

- 1) ศึกษากระบวนการรู้จำเสียงพูด โดยทำการหาลักษณะสำคัญของคำตั้งเสียงแต่ละคำ และให้ระบบเรียนรู้คำดังกล่าว โดยกระบวนการทั้งหมดนี้ใช้คอมพิวเตอร์เป็นตัวประมวลผล
- 2) นำกระบวนการรู้จำเสียงพูดที่ได้ศึกษา ไปควบคุมการทำงานของฮาร์ดแวร์ภายนอกคอมพิวเตอร์

### 1.4 ประโยชน์ที่คาดว่าจะได้รับ

- 1) ได้เรียนรู้ขั้นตอนต่างๆ ในกระบวนการรู้จำเสียงพูด
- 2) ได้เรียนรู้การใช้งานโปรแกรมแม่ทัพในการประมวลผลสัญญาณเสียงพูด
- 3) สามารถประยุกต์ใช้งานระบบรู้จำเสียงพูดกับฮาร์ดแวร์ที่มีความซับซ้อนในการควบคุม



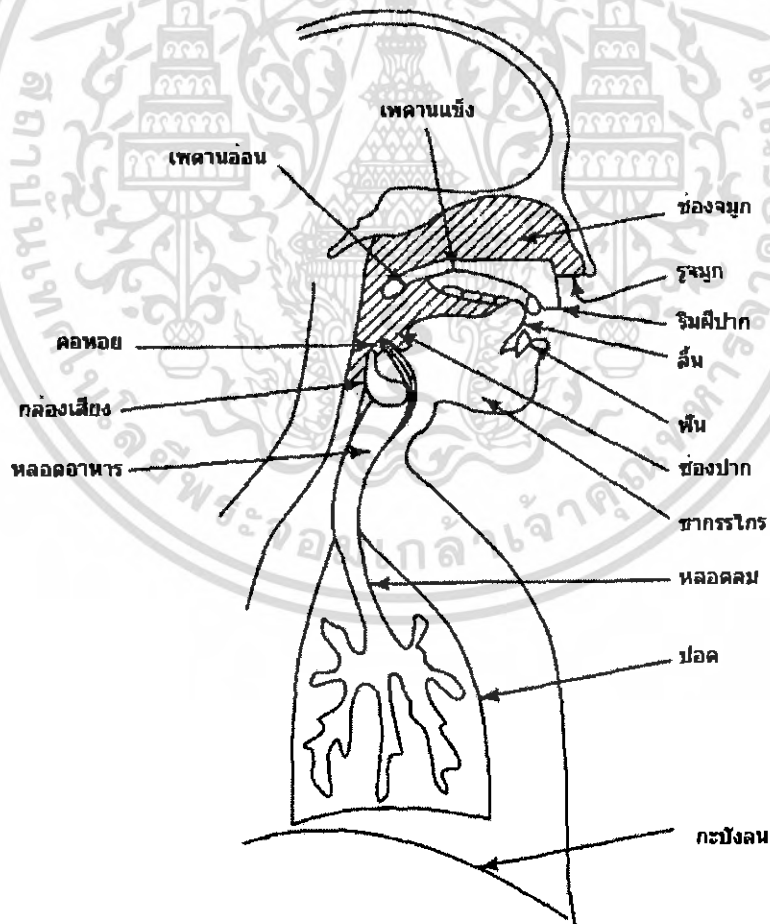
เอกสารนี้เป็นเอกสารที่สงวนไว้สำหรับการใช้งานเพื่อการศึกษาเท่านั้น ไม่อนุญาตให้นำไปใช้ประโยชน์ด้านการค้าไม่ว่ากรณีใดๆ ทั้งสิ้น อีกทั้งห้ามมิให้ตัดแปลงเนื้อหา และต้องอ้างอิงถึงเจ้าของเอกสารทุกครั้งที่มีการนำไปใช้

## บทที่ 2

### ระบบการเปล่งเสียงของมนุษย์

มนุษย์สามารถเปล่งเสียงพูดได้ด้วยอวัยวะที่ใช้ในการออกเสียง (Organ of Speech) อวัยวะดังกล่าวมีอยู่หลายส่วน แต่ละส่วนสามารถทำให้เกิดเสียงพูดที่แตกต่างกันออกไปได้ ดังรูปที่ 2.1 อวัยวะที่ใช้ในการออกเสียงแบ่งได้เป็น 2 ประเภท คือ

1. อวัยวะที่ใช้ในการกระทำอาการ (Articulator) หมายถึง อวัยวะส่วนที่เคลื่อนไหว เพื่อพลิกกลมไปยังส่วนต่าง ๆ อวัยวะที่สำคัญในส่วนนี้ คือ ลิ้น ซึ่งเป็นส่วนที่เคลื่อนไหวได้มากที่สุด
2. อวัยวะที่เป็นตำแหน่งที่ทำให้เกิดเสียงต่าง ๆ (Point of Articulator) หมายถึง ตำแหน่งที่เกิดของเสียงต่าง ๆ เช่น ริมฝีปาก ฟัน เพดานส่วนต่าง ๆ เป็นต้น



รูปที่ 2.1 อวัยวะที่ใช้ในการออกเสียง

เอกสารนี้เป็นเอกสารที่สงวนไว้สำหรับการใช้งานเพื่อการศึกษาเท่านั้น ไม่อนุญาตให้นำไปใช้ประโยชน์ด้านการค้า ไม่ว่ากรณีใดๆ ทั้งสิ้น อีกทั้งห้ามมิให้ดัดแปลงเนื้อหา และต้องอ้างอิงถึงเจ้าของเอกสารทุกครั้งที่มีการนำไปใช้

## 2.1. อวัยวะที่ใช้ในการออกเสียง (Organ of Speech)

1. ปอดและกะบังลม ทำหน้าที่สำคัญในการหายใจ และเป็นต้นกำเนิดการไหลของอากาศในกระบวนการผลิตเสียง
2. หลอดลม ทำหน้าที่นำอากาศจากปอดผ่านกล่องเสียง และเป็นอวัยวะที่อยู่ด้านหน้าของหลอดอาหาร
3. กล่องเสียง ทำหน้าที่เป็นทางเดินอากาศเวลาหายใจ และเป็นตัวผลิตพัลส์ของอากาศขณะเปล่งเสียง ประกอบด้วยเส้นเสียง (Vocal cords) และช่องสายเสียง (Glottis)
4. ช่องปากและส่วนของหลอดอาหารตอนต้น อวัยวะกลุ่มนี้อยู่ต่อจากกล่องเสียง อาจเรียกว่าอวัยวะกำทอนเสียง (Vocal tract) ทำหน้าที่กำทอนเสียงทั้งที่เกิดจากกล่องเสียงและเสียงที่เกิดภายในช่องปาก
5. โพรงจมูก เริ่มจากเพดานอ่อนจนถึงรูจมูกทั้งสอง ทำหน้าที่กำทอนเสียงร่วมกับช่องปาก เมื่อมีการเปล่งเสียงที่ออกจากจมูก (Nasal sounds) เช่น เสียง ม, น, และ ง เป็นต้น

## 2.2 การเกิดของเสียง (Speech Production)

การเกิดของเสียงแบ่งได้เป็น 3 ขั้นตอนใหญ่ คือ

1. ขั้นเริ่มต้น (Initiation) ขั้นตอนนี้เป็นขั้นตอนที่ลมเริ่มถูกขับออกจากปอด
2. ขั้นตอนตัดแปลงลมที่เส้นเสียง (Phonation) เป็นขั้นตอนที่ลมจากปอดผ่านมายังหลอดลมและกล่องเสียง ซึ่งที่กล่องเสียงนี้ เส้นเสียงจะทำหน้าที่เป็นลิ้นเปิดปิด ทำให้เกิดเสียง 2 ชนิด คือ เสียงก้อง (Voiced) และเสียงไม่ก้อง (Voiceless) อวัยวะที่ใช้ในช่วงนี้ คือ ส่วนที่ต่อจากปอดขึ้นมาจนถึงกล่องเสียง
3. ขั้นตอนเปลี่ยนแปลงลักษณะเสียง (Articulation) ในขั้นตอนนี้ ลมที่ผ่านออกมาจากกล่องเสียง จะถูกแปลงให้เกิดเสียงในลักษณะต่าง ๆ อวัยวะที่ใช้ คือ ส่วนที่ต่อจากกล่องเสียงจนถึงริมฝีปาก

### 2.3 ประเภทของเสียง

เสียงที่เกิดจากขั้นตอนหัวข้อที่แล้ว จะถูกแบ่งออกเป็น 2 ประเภทใหญ่ ๆ คือ

#### 1. เสียงก้อง (Voiced sound)

เกิดจากการออกเสียงในขณะที่เส้นเสียงถูกดึงเข้ามาใกล้กันจนเกือบปิดช่องทางลม สนิท ลมที่ดันขึ้นมาจากปอดจะทำให้เส้นเสียงสั่น ลมที่ออกมาไม่สะดวกเนื่องจากต้องบีบตัวผ่านช่องแคบเป็นจังหวะ จึงทำให้เกิดเป็นเสียงขึ้น

#### 2. เสียงไม่ก้อง (Voiceless sound)

เป็นการออกเสียงในขณะที่เส้นเสียงยังเปิดกว้าง โดยเปิดช่องระหว่างเส้นเสียงหรือคอดหอย ให้ลมหายใจผ่านเข้าออกสะดวกขึ้น หรืออาจกล่าวได้ว่า เป็นเสียงที่เกิดในช่องปาก หรือโพรงจมูก โดยที่อวัยวะในช่องปาก ริมฝีปาก จะมาขวางการไหลของอากาศให้ผ่านได้ เป็นช่องเล็ก ๆ อากาศจึงไหลผ่านได้อย่างรวดเร็ว



## บทที่ 3

### ทฤษฎีการรู้จำเสียงพูด

องค์ประกอบหลักของระบบรู้จำเสียงพูด ประกอบด้วยขั้นตอนดังต่อไปนี้

1. การประมวลผลสัญญาณเสียงเบื้องต้น (Preprocessing)
2. การสกัดค่าลักษณะสำคัญของเสียงพูด (Speech Feature Extraction)
3. เทคนิคการรู้จำ (Speech Recognition)

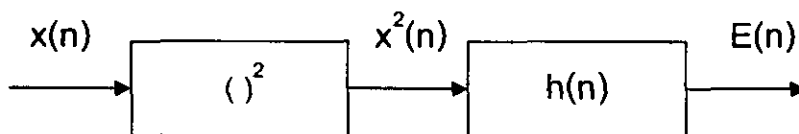
#### 3.1. การประมวลผลสัญญาณเสียงเบื้องต้น (Preprocessing)

เป็นขั้นตอนที่จะทำให้สัญญาณเสียงที่จะนำไปใช้หรือรับเข้ามานั้น มีความสมบูรณ์มากที่สุด ขั้นตอนเหล่านี้ประกอบด้วย การหาจุดเริ่มต้นและจุดสิ้นสุดของสัญญาณ (End-point Detection) การแบ่งช่วงสัญญาณ (Frame Blocking) และการทำวินโดว์ (Windowing)

##### 3.1.1 การหาจุดเริ่มต้นและจุดสิ้นสุดของสัญญาณ (End Point Detection)

ขั้นตอนนี้เป็นขั้นตอนที่ใช้หาขอบเขตของสัญญาณ เพื่อนำเฉพาะสัญญาณเสียงในช่วงที่เป็นเสียงพูดมาประมวลผลเท่านั้น เนื่องจากสัญญาณเสียงที่รับเข้ามาจากไมโครโฟนประกอบด้วยส่วนของสัญญาณที่เป็นเสียงพูด กับส่วนที่ไม่ใช่เสียงพูดนำหน้าและต่อท้ายสัญญาณเสียงมาด้วย เช่น ช่วงที่ไม่มีเสียงหรือส่วนที่เกิดจากสิ่งแวดล้อม จึงต้องใช้กระบวนการนี้ตัดส่วนที่ไม่ต้องการออกไป

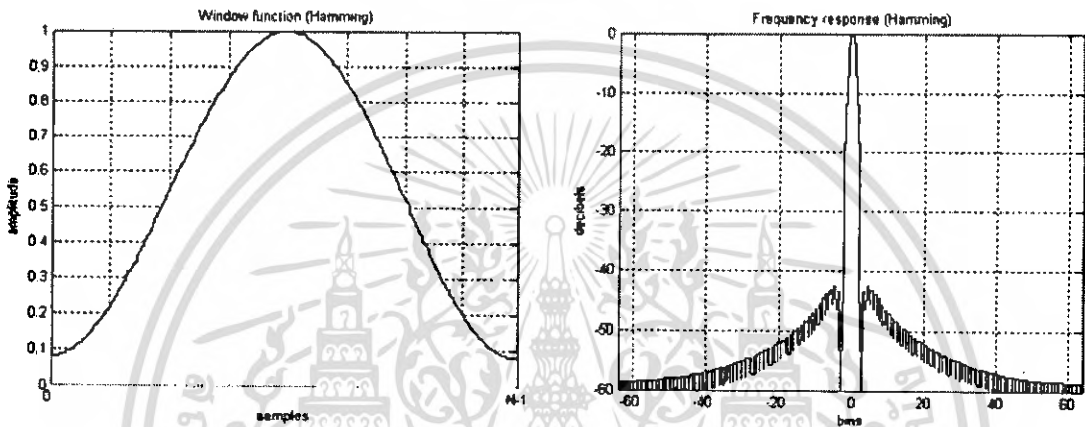
สัญญาณเสียงเป็นสัญญาณที่มีการเปลี่ยนแปลงตลอดเวลา และส่วนที่ไม่ใช่เสียงพูดจะมีขนาดสัญญาณเฉลี่ยต่ำกว่าส่วนที่เป็นเสียงพูด ดังนั้นในการหาจุดเริ่มต้นและจุดสิ้นสุดของสัญญาณ จะมีการตั้งค่าพลังงานขึ้นมามากหนึ่ง (Threshold) ซึ่งจะเป็นค่าที่ใช้ตัดสินใจแยกส่วนที่เป็นเสียงและไม่ใช่เสียงออกจากกัน และจะใช้วิธีการหาค่าพลังงานช่วงสั้น (Short Time Energy) มาใช้ในการหาค่าพลังงานช่วงที่ไม่ใช่เสียงพูด ดังแผนภาพในรูปที่ 3.1



รูปที่ 3.1 แผนภาพการหาค่าพลังงานช่วงสั้น (Short Time Energy)

เอกสารนี้เป็นเอกสารที่สงวนไว้สำหรับการใช้งานเพื่อการศึกษาเท่านั้น ไม่อนุญาตให้นำไปใช้ประโยชน์ด้านการค้าไม่ว่ากรณีใดๆ ทั้งสิ้น อีกทั้งห้ามมิให้ดัดแปลงเนื้อหา และต้องอ้างอิงถึงเจ้าของเอกสารทุกครั้งที่มีการนำไปใช้

ค่าพลังงานของเสียง หาได้จากการนำค่าขนาดของสัญญาณเสียงมามากำลึงสอง แล้วนำไปถ่วงน้ำหนักด้วย Window function ในที่นี้เลือกใช้ Hamming Window ดังแสดง ในรูปที่ 3.2 ค่าพลังงานที่หาได้จะถูกนำมาเปรียบเทียบกับค่าพลังงานที่ได้ตั้งเอาไว้ สมการที่ใช้หาค่าพลังงานนี้แสดงในสมการที่ 1



รูปที่ 3.2 แสดงรูป Hamming Window และผลตอบสนองทางความถี่

สมการหาค่าพลังงานช่วงสั้น

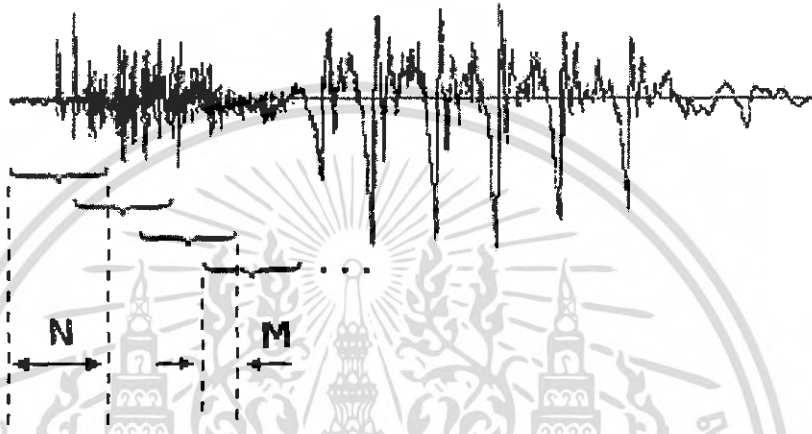
$$E_n = \sum_{m=-\infty}^{\infty} x^2(n) \cdot h(n-m) \quad (1)$$

ฟังก์ชันของ Hamming Window

$$h(n) = 0.54 - 0.46 \cos\left(\frac{2\pi n}{(N-1)}\right) \quad (2)$$

### 3.1.2 การแบ่งช่วงสัญญาณ (Frame Blocking)

ข้อมูลเสียงซึ่งผ่านการตัดส่วนที่ไม่ต้องการออกไปแล้ว จะถูกแบ่งออกเป็นช่วงสัญญาณ (Block) ซึ่งแต่ละช่วงสัญญาณจะประกอบไปด้วยสัญญาณเสียง  $N$  สัญญาณ และแต่ละช่วงสัญญาณจะถูกวิเคราะห์โดยการเลื่อนสัญญาณไปครั้งละ  $M$  สัญญาณ ดังรูปที่ 3.3



รูปที่ 3.3 แสดงการแบ่งช่วงสัญญาณ

ถ้าค่า  $M$  มีค่าน้อยกว่าค่า  $N$  มากเท่าใด จะทำให้การวิเคราะห์สัญญาณมีความแม่นยำมากขึ้นเท่านั้น แต่ข้อเสียคือจะต้องใช้เวลาในการวิเคราะห์นานขึ้น และถ้าค่า  $M$  มีค่ามากกว่าค่า  $N$  จะทำให้สัญญาณบางส่วนไม่ถูกใช้ในการวิเคราะห์ ซึ่งทำให้เกิดการผิดพลาดในการวิเคราะห์สัญญาณส่วนต่อไปได้

### 3.1.3 การวินโดว์ (Windowing)

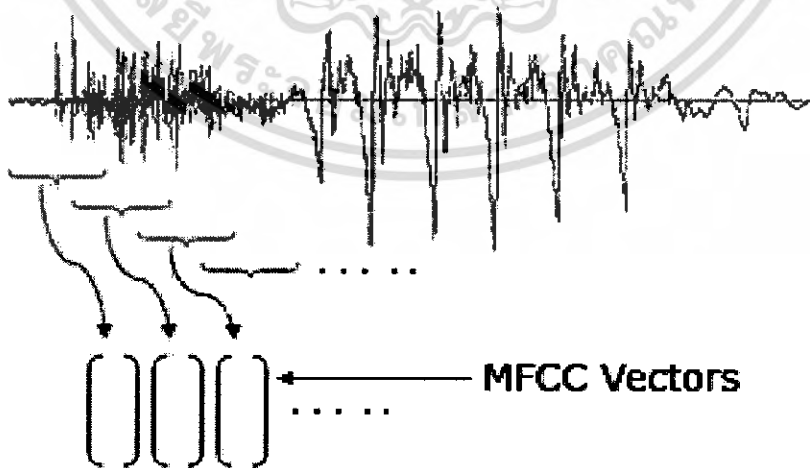
เนื่องจากเราใช้วิธีการตัดสัญญาณออกเป็นช่วง ๆ เพื่อนำมาหาสเปกตรัม เท่ากับเป็นการหาสเปกตรัมของบล็อกสัญญาณ จึงอาจทำให้เกิดความคลาดเคลื่อนในสเปกตรัมที่ได้ วิธีที่จะลดความคลาดเคลื่อนสามารถทำได้โดยคูณสัญญาณแต่ละบล็อกด้วย Window Function ก่อนที่จะทำการหาสเปกตรัม ในระบบนี้ใช้ Hamming Window เช่นเดียวกับขั้นตอนการหาจุดเริ่มต้นและจุดสิ้นสุดของสัญญาณ

### 3.2 การสกัดค่าลักษณะสำคัญของเสียงพูด (Speech Feature Extraction)

ในการรู้จำเสียงพูด ระบบไม่ได้เอาสัญญาณเสียงไปเปรียบเทียบกันโดยตรง แต่จะดึงเฉพาะลักษณะสำคัญของเสียงออกมา เราเรียกลักษณะสำคัญนี้ว่า Speech Feature คำพูดของคนเราย่อมจะมีลักษณะเด่นของแต่ละคำแตกต่างกันไป กรณีที่คนหลาย ๆ คนพูดคำพูดเดียวกัน อาจจะมีลักษณะเด่นของคำพูดที่ต่างกันบ้าง แต่จะต้องมีลักษณะเด่นบางอย่างร่วมกัน ขั้นตอนนี้เป็นการหาลักษณะเด่นที่สำคัญของเสียงพูดเพื่อเป็นตัวแทนของคำพูดแต่ละคำ การสกัดหาลักษณะสำคัญของเสียงพูดสามารถทำได้หลายวิธี เช่น วิธีการประมาณพหุเชิงเส้น (Linear Prediction Coefficient : หรือ LPC), วิธีการหาสัมประสิทธิ์เซปสตรัม (Cepstral Coefficient) และวิธีเวฟเล็ต (Wavelet) แต่ในระบบนี้จะใช้วิธีที่เรียกว่าการหาสัมประสิทธิ์เซปสตรัมที่คำนวณบนแกนความถี่แบบเมล (Mel Frequency Cepstral Coefficient หรือ MFCC)

#### Mel Frequency Cepstral Coefficient (MFCC)

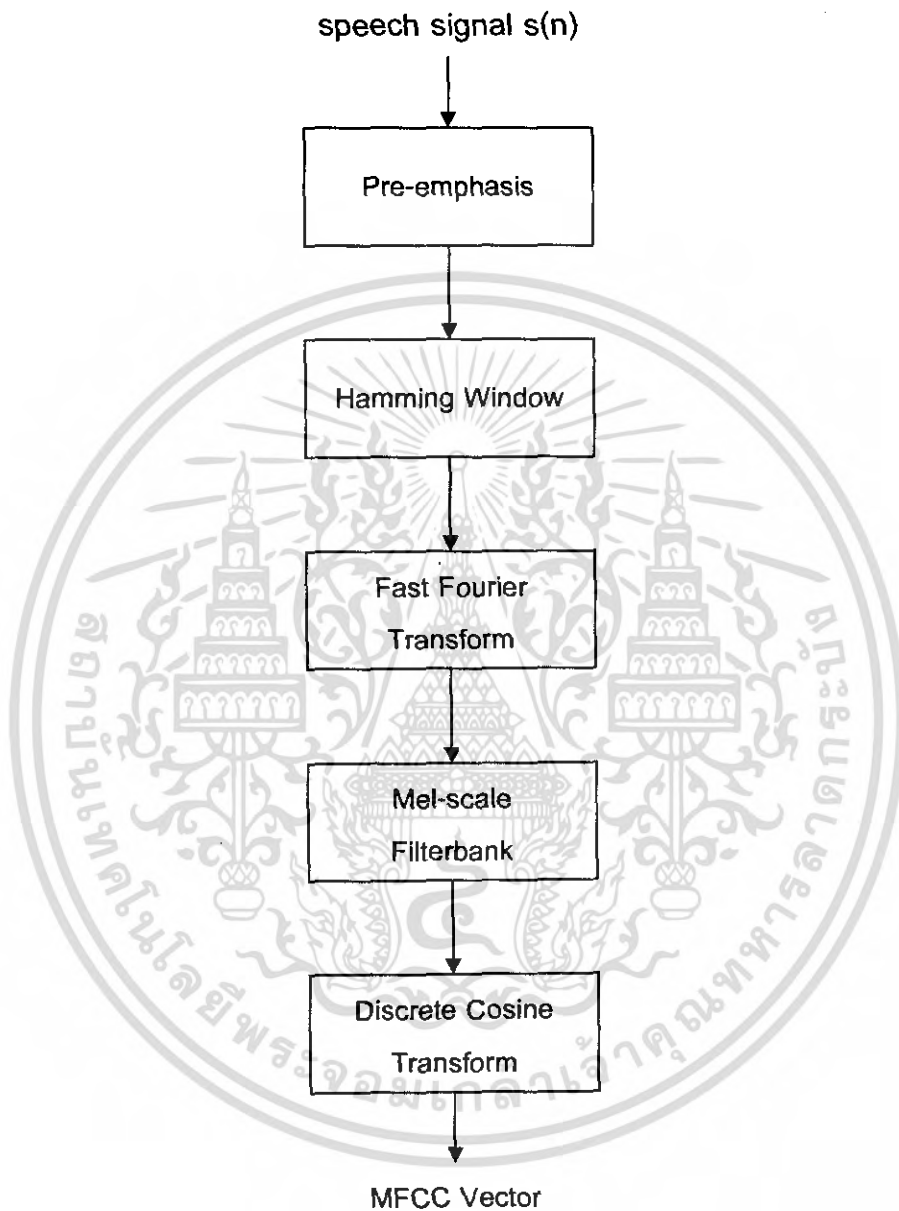
วิธีการหาสัมประสิทธิ์เซปสตรัมที่คำนวณบนแกนความถี่แบบเมล (Mel Frequency Cepstral Coefficient หรือ MFCC) เป็นการแปลงสัญญาณเสียงพูดให้อยู่ในรูปของกลุ่มเวกเตอร์ เช่น 1 เวกเตอร์ใช้แทนสัญญาณเสียงยาวประมาณ 20 มิลลิวินาที แต่ละเวกเตอร์ก็แทนสัญญาณเสียงที่ค่อย ๆ เลื่อนไปแบบ overlap เช่นเลื่อนไปที่ละ 10 มิลลิวินาที ดังแสดงในรูปที่ 3.4 ดังนั้นหากมีเสียงที่ยาวซัก 1 วินาทีเข้ามา ก็จะแทนด้วยเวกเตอร์จำนวน 100 เวกเตอร์ เราเรียกเวกเตอร์นี้ว่า MFCC Vector



รูปที่ 3.4 แสดงสัญญาณเสียงที่ถูกเปลี่ยนเป็น MFCC Vectors

เอกสารนี้เป็นเอกสารที่สงวนไว้สำหรับการใช้งานเพื่อการศึกษาเท่านั้น ไม่อนุญาตให้นำไปใช้ประโยชน์ด้านการค้า ไม่ว่ากรณีใดๆ ทั้งสิ้น อีกทั้งห้ามมิให้ตัดแปลงเนื้อหา และต้องอ้างอิงถึงเจ้าของเอกสารทุกครั้งที่มีการนำไปใช้

การเปลี่ยนสัญญาณเสียงพูดให้เป็นเวกเตอร์มีขั้นตอนดังบล็อกไดอะแกรมในรูปที่ 3.5



รูปที่ 3.5 บล็อกไดอะแกรมของกระบวนการ MFCC

เอกสารนี้เป็นเอกสารที่สงวนไว้สำหรับการใช้งานเพื่อการศึกษาเท่านั้น ไม่อนุญาตให้นำไปใช้ประโยชน์ด้านการค้า  
ไม่ว่ากรณีใดๆ ทั้งสิ้น อีกทั้งห้ามมิให้ดัดแปลงเนื้อหา และต้องอ้างอิงถึงเจ้าของเอกสารทุกครั้งที่มีการนำไปใช้

### 3.2.1 กระบวนการ Pre-emphasis

สัญญาณเสียงที่ผ่านการประมวลผลเบื้องต้นแล้ว จะนำมาผ่านกระบวนการ Pre-emphasis ซึ่งเป็นการนำมาผ่าน FIR Filter ทำให้สัญญาณที่ได้มีความราบเรียบมากขึ้น ด้วยสมการที่ 3

$$x(n) = s(n) * p(n) \quad (3)$$

โดย  $p(n)$  เป็น FIR Filter ซึ่งมีฟังก์ชันตามสมการที่ 4

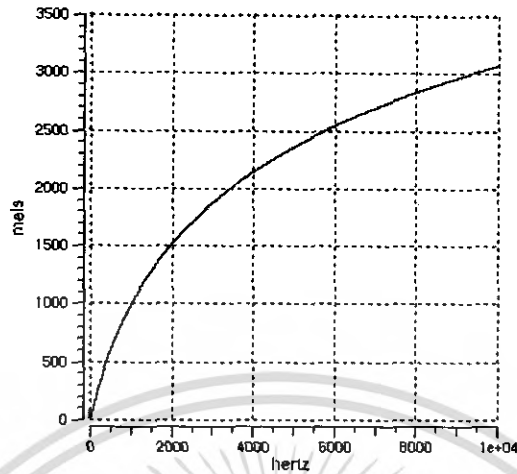
$$p(n) = 1 - \alpha(n-1) \quad (4)$$

โดยที่  $\alpha$  เป็นค่าถ่วงน้ำหนัก มีค่าเท่ากับ 0.95

### 3.2.2 กระบวนการ Mel-Frequency Scaling and Cepstrum

เนื่องจากกระบวนการได้ยินของมนุษย์จะมีลักษณะไม่เป็นเชิงเส้น จึงต้องมีการทำ Frequency Scaling เป็นการเปลี่ยนสเกลความถี่เชิงเส้นให้เป็นความถี่ในสเกลที่มนุษย์ได้ยิน นั่นคือความถี่ในสเกลแบบเมล (Mel Frequency Scale) ในช่วงความถี่ต่ำกว่า 1 kHz จะเป็นเชิงเส้น แต่ช่วงความถี่ที่สูงกว่านั้นจะเป็นแบบ logarithm โดยความถี่เมลกับความถี่เชิงเส้นมีความสัมพันธ์กันตามสมการที่ 5

$$Mel = 1127 \ln\left(1 + \frac{Freq}{700}\right) \quad (5)$$

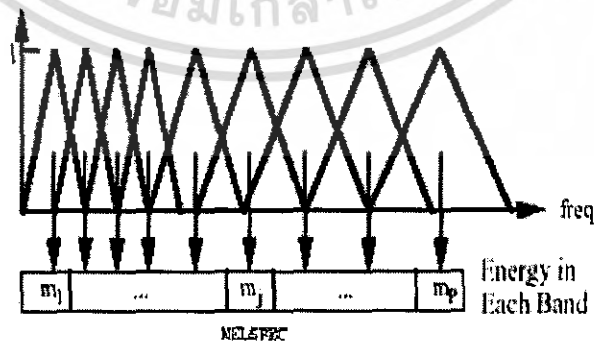


รูปที่ 3.6 กราฟความสัมพันธ์ระหว่างความถี่เชิงเส้น (Hertz) กับความถี่เมล (Mel)

สัญญาณเสียงที่ผ่านการสเกลทางความถี่แล้ว จะถูกนำมาแปลง Discrete Fourier Transform (DFT) เพื่อหาสเปกตรัมของสัญญาณ ดังสมการที่ 6

$$Y(f) = \sum_{n=0}^{N-1} y(n) \cdot e^{-j2\pi n/N} \quad (6)$$

สัญญาณที่ผ่านการแปลง DFT ของแต่ละวินโดว์จะถูกนำมาผ่าน Mel-frequency Filterbank ซึ่งเป็นกลุ่มของ Band Pass Filter โดยกำหนดให้ Mel-frequency Filterbank แทนด้วย  $Y_k$  ( $k = 1, 2, 3, \dots, K$ ) ซึ่งเป็น Triangular Filter ดังรูปที่ 3.7



รูปที่ 3.7 Mel-frequency Filterbank

เอกสารนี้เป็นเอกสารที่สงวนไว้สำหรับการใช้งานเพื่อการศึกษาเท่านั้น ไม่อนุญาตให้นำไปใช้ประโยชน์ด้านการค้าไม่ว่ากรณีใดๆ ทั้งสิ้น อีกทั้งห้ามมิให้ตัดแปลงเนื้อหา และต้องอ้างอิงถึงเจ้าของเอกสารทุกครั้งที่มีการนำไปใช้

โดยสัญญาณที่แปลง DFT แล้ว จะนำมาคูณกับค่า Filter Gain ดังสมการที่ 7

$$Y_k = \sum_{f=0}^{N-1} |Y(f)| \cdot H_k(f) \quad (7)$$

สุดท้ายก็จะนำเอา Mel-frequency Cepstrum ไปทำ Discrete Cosine Transform (DCT) เพื่อให้ได้เป็น MFCC Vectors ดังสมการที่ 8

$$c_i = \sqrt{\frac{2}{N}} \sum_{k=0}^K Y_k \cdot \cos\left(\frac{\pi i}{N}(k-0.5)\right) \quad (8)$$



### 3.3 เทคนิคการรู้จำ (Speech Recognition)

เมื่อได้ค่าลักษณะสำคัญของเสียงพูดซึ่งอยู่ในรูปของ MFCC Vector มาแล้ว ก็จะนำค่าที่ได้มาวิเคราะห์ว่าเป็นคำพูดใด ในระบบนี้ใช้เทคนิคการรู้จำเสียงพูดโดยใช้แบบจำลองฮิดเดินมาร์คอฟ (Hidden Markov Model หรือ HMM)

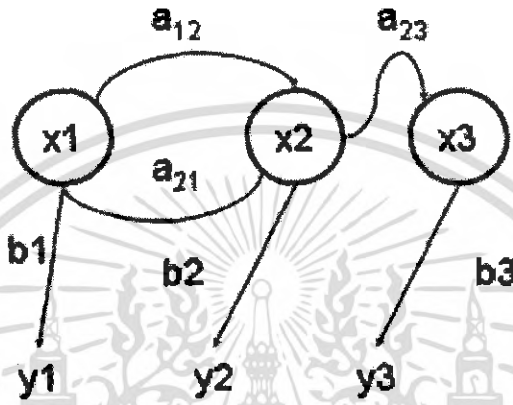
#### แบบจำลองฮิดเดินมาร์คอฟ (Hidden Markov Model : HMM)

แบบจำลองฮิดเดินมาร์คอฟ คือ การเก็บรวบรวมของสถานะหลาย ๆ สถานะที่ถูกเชื่อมโยงโดยการเปลี่ยนสถานะ ในที่นี้สถานะ คือ ลักษณะของสัญญาณเสียงหรือเครื่องหมายที่หมายถึงสัญญาณเสียงนั้น ณ เวลาหนึ่ง ๆ ส่วนการเปลี่ยนสถานะ คือ การเลื่อนหรือเปลี่ยนแปลงของสัญญาณเสียงจากเวลาหนึ่งไปหาอีกเวลาหนึ่ง ในแบบจำลองฮิดเดินมาร์คอฟมีค่าความน่าจะเป็นอยู่สองชนิด คือ ค่าความน่าจะเป็นที่การเปลี่ยนสถานะหนึ่งจะเกิดขึ้น (Transition probability) และค่าความน่าจะเป็นของเอาต์พุต (Output probability) เมื่อมีการเปลี่ยนสถานะหนึ่งเกิดขึ้น เอาต์พุตที่มานี้จะนำไปใช้ในการตัดสินใจว่าเสียงที่ได้ยินนั้นเป็นเสียงอะไร



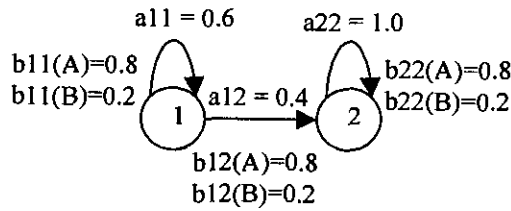
รูปที่ 3.8 Left-to-Right Hidden Markov Model

กระบวนการในแบบจำลองฮิดเดินมาร์คอฟ เป็นการหาค่าตัวแปรที่ซ่อนอยู่ (Hidden parameter) จากค่าตัวแปรที่เราสามารถทราบค่าได้ (Observable parameter) เราไม่สามารถมองเห็นแต่ละสถานะ (State) ของระบบได้โดยตรง แต่เราสามารถมองเห็นตัวแปรที่เป็นผลมาจากสถานะนั้น ๆ ได้ โดยแต่ละสถานะจะมีความน่าจะเป็นที่จะเป็นไปได้อาจที่พหุอยู่ ดังรูปที่ 3.9



รูปที่ 3.9 แผนภาพการเปลี่ยนสถานะในกระบวนการ HMM

- โดยที่
- x คือ Hidden states
  - y คือ Observable outputs
  - a คือ ความน่าจะเป็นที่จะเกิดการเปลี่ยนสถานะ (Transition probability)
  - b คือ ความน่าจะเป็นของเอาต์พุต (Output probability)



รูปที่ 3.10 แบบจำลองฮิดเดินมาร์คอฟ ที่มี 2 สถานะ และมี 2 เอาท์พุท

รูปที่ 3.10 แสดงถึงตัวอย่างของแบบจำลองฮิดเดินมาร์คอฟที่มี 2 เอาท์พุทคือ A และ B และ 2 สถานะ คือ 1 และ 2 และมีการกำหนดค่าความน่าจะเป็นของ a และ b มาแล้ว ค่า  $a_{12}=0.4$  หมายความว่า เมื่อสถานะปัจจุบันเป็น 1 สถานะต่อไปเป็น 2 จะมีความน่าจะเป็นอยู่ 0.4 ส่วน  $b_{12}(A) = 0.8$  คือ เมื่อมีการเปลี่ยนสถานะจาก 1 ไป 2 ความน่าจะเป็นที่จะมีเอาท์พุทเป็น A คือ 0.8 (เมื่อมีการเปลี่ยนสถานะจะมีการสร้างเอาท์พุทใดเอาท์พุทหนึ่งออกมาเท่านั้น)

$$a_{ij} = P(X_{t+1} = j | X_t = i) \quad (9)$$

$$b_{ij}(k) = P(Y_t = k | X_t = i, X_{t+1} = j) \quad (10)$$

$a_{ij}$  คือ ความน่าจะเป็นของสถานะถัดไป  $j$  เมื่อสถานะปัจจุบันเป็น  $i$   
 $b_{ij}(k)$  คือ ความน่าจะเป็นของเอาท์พุทเป็น  $k$  เมื่อมีการเปลี่ยนสถานะจากสถานะ  $i$  ไป  $j$

คุณสมบัติของ a และ b มีดังนี้

1.  $a_{ij} \geq 0$  ,  $b_{ij}(k) \geq 0$  ,  $\forall i, j, k$
2.  $\sum_j a_{ij} = 1$
3.  $\sum_k b_{ij}(k) = 1$

สำหรับแบบจำลองฮิดเดินมาร์คอฟลำดับที่ 1 จะต้องมีสมมุติฐานอยู่สองประการ คือ

1. ความน่าจะเป็นของสถานะถัดไปขึ้นอยู่กับสถานะปัจจุบันเท่านั้น
2. ความน่าจะเป็นของเอาท์พุทถัดไปขึ้นอยู่กับสถานะปัจจุบันเท่านั้น ไม่ใช่การเปลี่ยนสถานะในอดีต

เอกสารนี้เป็นเอกสารที่สงวนไว้สำหรับการใช้งานเพื่อการศึกษาเท่านั้น ไม่อนุญาตให้นำไปใช้ประโยชน์ด้านการค้า ไม่ว่าจะกรณีใดๆ ทั้งสิ้น อีกทั้งห้ามมิให้ตัดแปลงเนื้อหา และต้องอ้างอิงถึงเจ้าของเอกสารทุกครั้งที่มีการนำไปใช้

## สำนักหอสมุดกลาง พระจอมเกล้าลาดกระบัง

### 3.3.1 ปัญหาของแบบจำลองฮิดเดินมาร์คอฟ

ปัญหาของแบบจำลองฮิดเดินมาร์คอฟ มีอยู่สามข้อด้วยกัน คือ

#### 1. Evaluation Problem

แบบจำลองสามารถสร้างหรือเข้าใจเสียงที่ได้ยินดีแค่ไหน เรียกว่า Evaluation Problem ปัญหานี้สามารถแก้ไขโดยใช้ Forward Algorithm ซึ่งจะทำให้แบบจำลองมีลักษณะเดียวกันกับเสียงที่ได้ยิน ซึ่งสามารถใช้ในการรู้จำเสียงพูดที่ไม่ติดต่อกันได้

#### 2. Decoding Problem

ลำดับของสถานะในแบบจำลอง สร้างเสียงที่ได้ยินดีแค่ไหน เรียกว่า Decoding Problem ปัญหานี้สามารถแก้ไขโดยใช้ Viterbi Algorithm ทำให้สามารถหาลำดับของสถานะที่ดีที่สุดในการเปรียบเทียบกับเสียงที่ได้ยิน เพื่อที่จะนำมาใช้ในการรู้จำเสียงที่ติดต่อกันได้

#### 3. Learning Problem

ตัวแปร (Parameter) ของแบบจำลองควรเป็นอย่างไร เพื่อที่จะทำให้มีความผิดพลาดในการสร้างเสียงหรือเข้าใจเสียงที่ได้ยินน้อยที่สุด เรียกว่า Learning Problem ปัญหานี้สามารถแก้ไขโดยใช้ Forward-Backward (Baum-Welch) Algorithm ซึ่งจะทำให้ระบบสามารถเรียนรู้ได้แบบอัตโนมัติจากค่าตัวแปรต่าง ๆ โดยการฝึกฝนจากชุดข้อมูลที่ป้อนเข้าระบบ

72159

เอกสารนี้เป็นเอกสารที่สงวนไว้สำหรับการใช้งานเพื่อการศึกษาเท่านั้น ไม่อนุญาตให้นำไปใช้ประโยชน์ด้านการค้า  
ไม่ว่ากรณีใดๆ ทั้งสิ้น อีกทั้งห้ามมิให้ดัดแปลงเนื้อหา และต้องอ้างอิงถึงเจ้าของเอกสารทุกครั้งที่มีการนำไปใช้

### 3.3.2 The Forward Algorithm

Evaluation Problem สามารถอธิบายได้อีกแง่มุมหนึ่ง คือ ให้โมเดลหนึ่งเป็น  $M$  กับตัวแปร  $\{s\}$  - a กลุ่มของสถานะ,  $\{a\}$ ,  $\{b\}$  หากค่าความน่าจะเป็นที่โมเดลนั้นจะสร้างลำดับของเอาต์พุต  $y^T$  ปัญหาที่สามารถเขียนเป็นสมการได้ดังนี้

$$P(Y_1^T = y_1^T) = \sum_x P(X_1^{T+1} = x_1^{T+1}) P(Y_1^T = y_1^T | X_1^{T+1} = x_1^{T+1}) \quad (11)$$

จากสมมุติฐานข้อที่หนึ่ง ค่าแรกของสมการทางด้านขวาสามารถเขียนใหม่ได้ดังนี้

$$P(X_1^{T+1} = x_1^{T+1}) = \prod_{t=1}^T P(X_{t+1} = x_{t+1} | X_t = x_t) \quad (12)$$

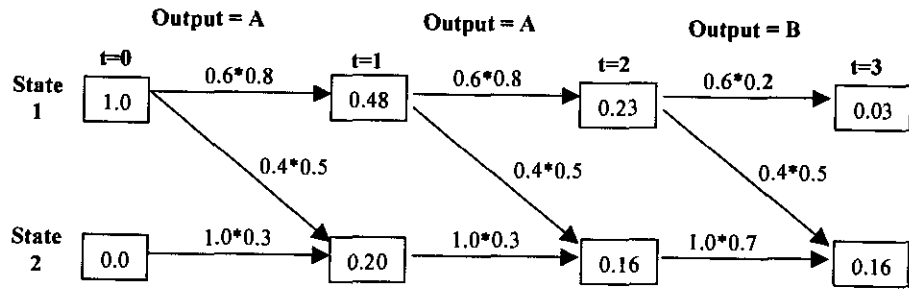
จากสมมุติฐานข้อที่สอง ค่าที่สองของสมการทางด้านขวาสามารถเขียนใหม่ได้ดังนี้

$$P(Y_1^T = y_1^T | X_1^{T+1} = x_1^{T+1}) = \prod_{t=1}^T P(Y_t = y_t | X_t = x_t, X_{t+1} = x_{t+1}) \quad (13)$$

เมื่อมีการแทนค่าดังกล่าวสมการสุดท้ายที่ได้คือ

$$\alpha_i(t) = \begin{cases} 0, & t = 0 \cap i \neq S_1 \\ 1, & t = 0 \cap i = S_1 \\ \sum_j \alpha_j(t-1) a_{ji} b_{ji}(y_t), & t > 0 \end{cases} \quad (14)$$

$P(y|M)$  หรือ  $\alpha_i(t)$  คือ ความน่าจะเป็นที่กระบวนการมาร์คอฟในสถานะ  $i$  ได้สร้างเอาต์พุต  $y^T$



รูปที่ 3.11 การคำนวณ Trellis ตามรูปแบบ Forward Computation

รูปที่ 3.11 แสดงถึงการคำนวณของค่า  $\alpha$  ที่เรียกว่า Trellis โดยการใช้ทฤษฎีของแบบจำลองฮิดเดินมาร์คอฟ ตามรูปที่ 11 โดยสมมติว่าลำดับการสังเกตเป็น A A B ความลำดับ ได้เอทัพุทเป็นลำดับของสถานะ 1 1 1 2

อย่างไรก็ตามในทฤษฎีการรู้จำเสียง ความน่าจะเป็นที่ควรพิจารณาคือ  $P(M|y)$  แต่ที่ผ่านมาได้คำนวณ  $P(y|M)$  จากกฎของเบย์

$$P(M|y) = \frac{P(y|M)P(M)}{P(y)} \quad (15)$$

จะเห็นได้ว่า  $P(y)$  มีค่าคงที่สำหรับค่าอินพุตนั้นๆ  $P(M)$  คือความน่าจะเป็นที่มาจากแบบจำลองทางภาษา (Language Model) ดังนั้น สิ่งที่สำคัญที่ควรคำนึงถึงคือ  $P(M|y)$  จะเห็นได้ว่าเมื่อมีค่า  $P(y|M)$  สูงขึ้นก็จะทำให้  $P(M|Y)$  สูงขึ้นเช่นกัน ดังนั้นใช้การคำนวณ  $P(y|M)$  แทนได้

### 3.3.3 The Viterbi Algorithm

จะเห็นได้ว่า Forward Algorithm ไม่มีการคำนวณลำดับของสถานะ แต่ก็เป็นไปได้ที่จะสร้างลำดับของสถานะที่มีความน่าจะเป็นสูงที่สุดเพื่อที่จะนำลำดับของสถานะนั้นมาใช้ ในขณะที่กำลังสร้างลำดับการสังเกต ในการสร้างกระบวนการดังกล่าวจึงมีการดัดแปลงสมการของ Forward Algorithm ดังสมการด้านล่าง

$$v_i(t) = \begin{cases} 0, & t = 0 \cap i \neq S_1 \\ 1, & t = 0 \cap i = S_1 \\ \max_j v_j(t-1) a_{ji} b_{ji}(y_t), & t > 0 \end{cases} \quad (16)$$

Viterbi Algorithm สามารถแสดงลำดับของสถานะที่มีความน่าจะเป็นสูงที่สุด โดยเลือกการเปลี่ยนสถานะที่มีความน่าจะเป็นมากที่สุดในแต่ละสถานะ

### 3.3.4 The Forward-Backward Algorithm

ปัญหานี้เป็นปัญหาที่ยากที่สุดเพราะว่ายังไม่มียุทธวิธีใดที่จะหาค่าพารามิเตอร์ที่ดีที่สุดสำหรับแบบจำลองฮิดเด้นมาร์คอฟได้ ดังนั้นกระบวนการซ้ำซ้อนเช่น Forward-Backward (Baum-Welch) Algorithm จึงต้องนำมาใช้เพื่อหาค่าพารามิเตอร์ที่เหมาะสมที่สุดสำหรับแบบจำลอง  $\alpha_i(t)$  เป็นความน่าจะเป็นที่  $M$  ได้สร้าง  $y_t^i$  และอยู่ในสถานะ  $i$  ซึ่งเป็น Forward Algorithm  $\beta_i(t)$  เป็นความน่าจะเป็นที่  $M$  ในสถานะ  $i$  ได้สร้างเอาต์พุต  $y_{t+1}^i$  ซึ่งเป็น Backward Algorithm สมการของ  $\beta_i(t)$  มีดังนี้

$$\beta_i(t) = \begin{cases} 0, & t = T \cap i \neq S_F \\ 1, & t = T \cap i = S_F \\ \sum_j \beta_j(t+1) a_{ij} b_{ij}(y_{t+1}), & 0 \leq t < T \end{cases} \quad (17)$$

และยังมีการอธิบายถึงตัวแปรอีกตัวหนึ่งคือ  $\gamma_{ij}(t)$  ที่เป็นความน่าจะเป็นของการเปลี่ยนสถานะหนึ่งที่จะนำไปสู่เอาต์พุต  $y_{i+1}^T$

$$\begin{aligned}\gamma_{ij}(t) &= P(X_t = i, X_{t+1} = j | y_t^T) \\ &= \frac{\alpha_i(t-1) a_{ij} b_j(y_t) \beta_j(t)}{\alpha_{S_F}(T)}\end{aligned}\quad (18)$$

ดังนั้นเมื่อให้อเอาต์พุตเป็น  $y_t^T$  ความน่าจะเป็นของจำนวนการเปลี่ยนสถานะจากสถานะ  $i$  ไปหาสถานะ  $j$  คือ  $\sum_{t=1}^T \gamma_{ij}(t)$  และความน่าจะเป็นของจำนวนการเปลี่ยนสถานะจากสถานะ  $i$  ไปหาสถานะใดๆ คือ  $\sum_{t=1}^T \sum_k \gamma_{ik}(t)$  ดังนั้นจึงเป็นไปได้ที่จะคำนวณความน่าจะเป็นของระบบที่มีการเปลี่ยนสถานะจาก  $i$  ไปหา  $j$  ซึ่งเป็นไปคามสมการด้านล่าง

$$\bar{a}_{ij} = \frac{\sum_{t=1}^T \gamma_{ij}(t)}{\sum_{t=1}^T \sum_k \gamma_{ik}(t)}\quad (19)$$

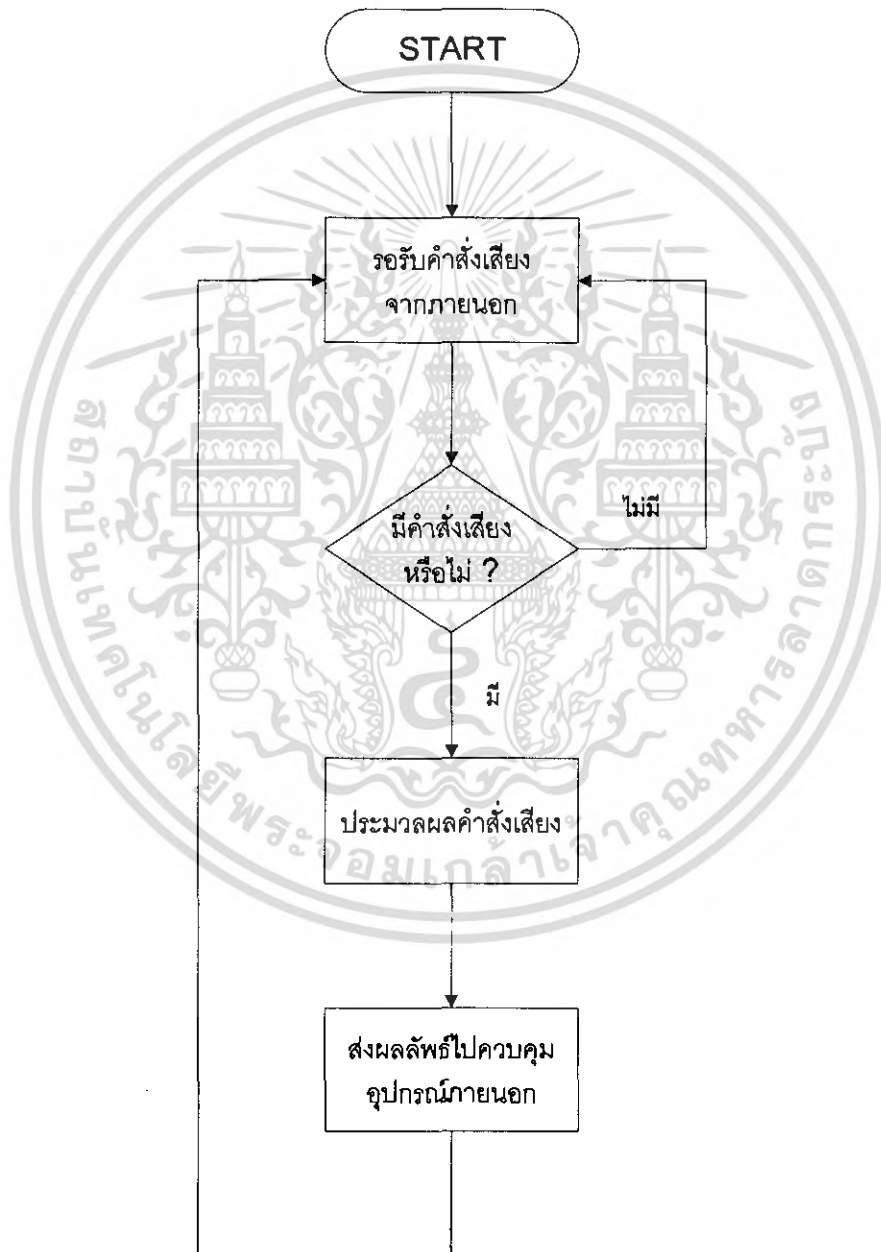
ในทำนองเดียวกัน อัตราส่วนระหว่างความถี่ที่ระบบจะมีเอาต์พุตเป็น  $k$  และความถี่ที่ระบบจะมีเอาต์พุตเป็นอะไรก็ได้ คือ

$$\bar{b}_j(k) = \frac{\sum_{t: y_t=k} \gamma_{ij}(t)}{\sum_{t=1}^T \gamma_{ij}(t)}\quad (20)$$

## บทที่ 4

### โครงสร้างของระบบ

#### 4.1 โครงสร้างโดยรวมของระบบ

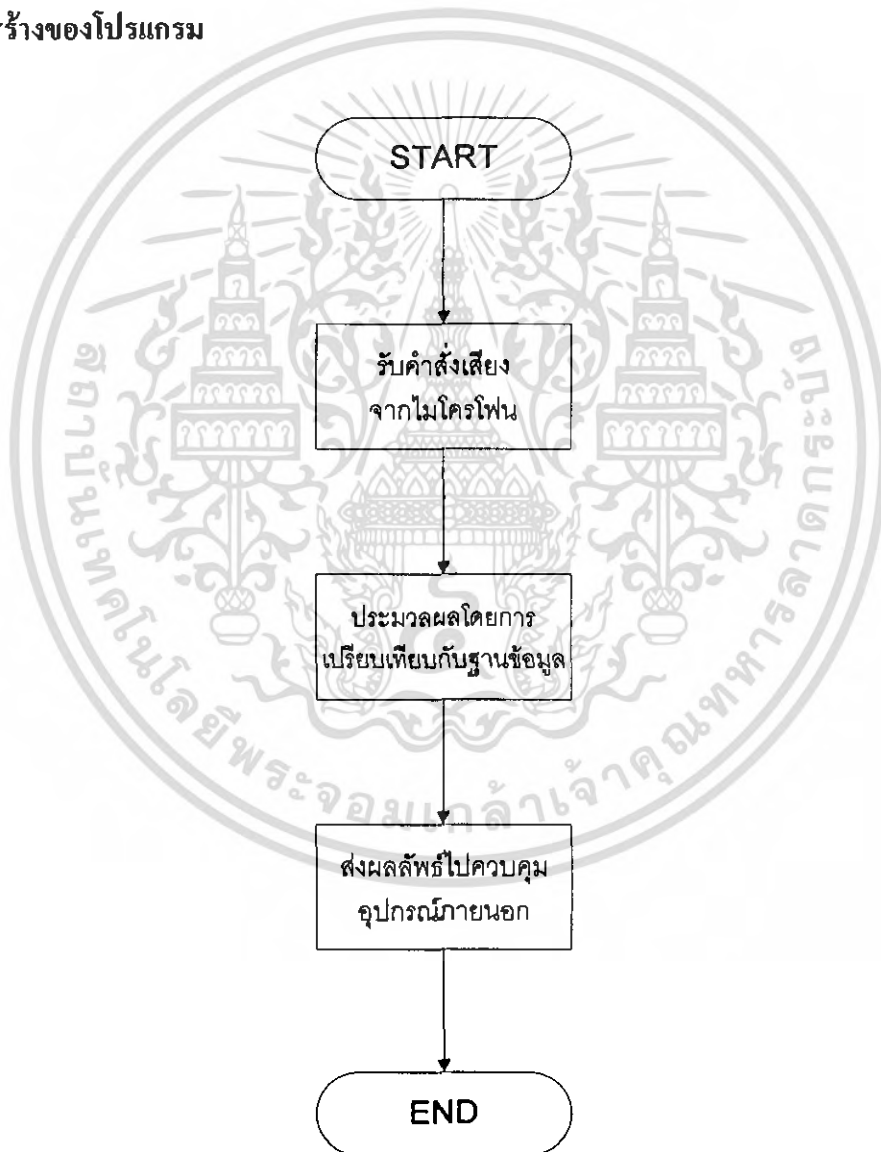


รูปที่ 4.1 แผนภาพแสดงลำดับการทำงาน โดยรวมของระบบสั่งงานด้วยเสียงพูด

เอกสารนี้เป็นเอกสารที่สงวนไว้สำหรับการใช้งานเพื่อการศึกษาเท่านั้น ไม่อนุญาตให้นำไปใช้ประโยชน์ด้านการค้า ไม่ว่ากรณีใดๆ ทั้งสิ้น อีกทั้งห้ามมิให้ตัดแปลงเนื้อหา และต้องอ้างอิงถึงเจ้าของเอกสารทุกครั้งที่มีการนำไปใช้

จากรูปที่ 4.1 แสดงถึงโครงสร้างโดยรวมของระบบสั่งงานด้วยเสียงพูดที่ได้สร้างขึ้น โดยเริ่มจากระบบจะรอรับคำสั่งเสียงจากไมโครโฟนเข้ามาประมวลผลภายในคอมพิวเตอร์ ซึ่งในระบบนี้ใช้โปรแกรม MATLAB เวอร์ชัน 2006a ในการเขียนโปรแกรมรู้จำเสียงพูดและประมวลผล เมื่อโปรแกรมประมวลผลเสร็จและรู้ว่าคำพูดที่รับเข้ามาเป็นคำสั่งเสียงใดแล้ว โปรแกรมจะทำการส่งผลลัพธ์ที่ได้จากการประมวลผลออกทางพอร์ตอนุกรม เพื่อไปควบคุมการทำงานของอุปกรณ์ภายนอกที่เราต้องการ

#### 4.2 โครงสร้างของโปรแกรม



รูปที่ 4.2 แสดงกระบวนการประมวลผลคำสั่งเสียง

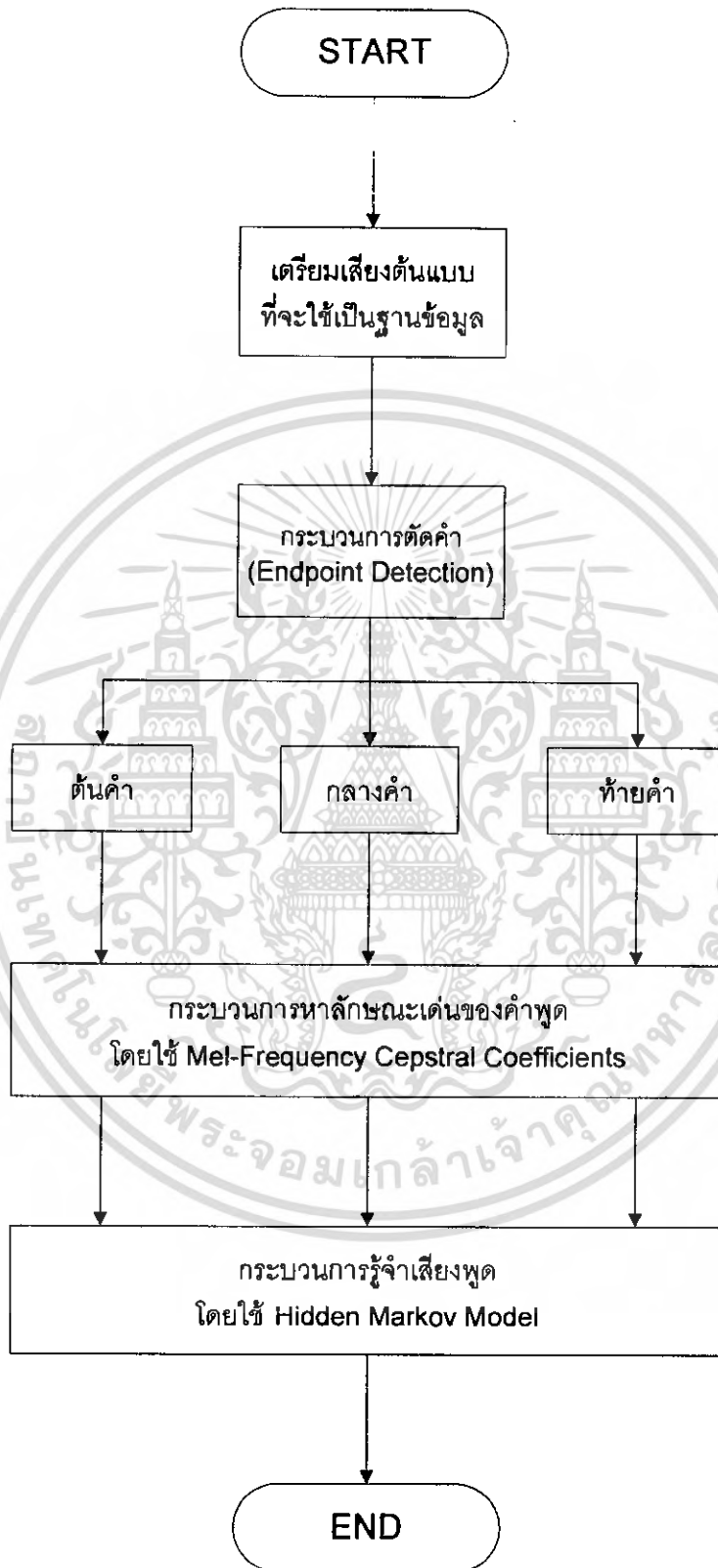
เอกสารนี้เป็นเอกสารที่สงวนไว้สำหรับการใช้งานเพื่อการศึกษาเท่านั้น ไม่อนุญาตให้นำไปใช้ประโยชน์ด้านการค้า ไม่ว่ากรณีใดๆ ทั้งสิ้น อีกทั้งห้ามมิให้ตัดแปลงเนื้อหา และต้องอ้างอิงถึงเจ้าของเอกสารทุกครั้งที่มีการนำไปใช้

ในรูปที่ 4.2 แสดงถึงกระบวนการประมวลผลคำสั่งเสียง ซึ่งก่อนที่จะรับคำสั่งเสียงเข้ามาประมวลผลได้นั้น จะต้องมีการสร้างฐานข้อมูลเสียงตามกระบวนการรู้จำเสียงขึ้นมาก่อน เพื่อให้ระบบได้เรียนรู้คำสั่งเสียงพูดที่เราต้องการ เมื่อสร้างฐานข้อมูลเสียงพูดของแต่ละคำสั่งเสียงแล้ว จึงจะสามารถทำงานด้วยคำสั่งเสียงได้ ซึ่งรายละเอียดของกระบวนการสร้างฐานข้อมูลเพื่อให้ระบบเรียนรู้เสียงพูดและกระบวนการประมวลผลการรู้จำเสียงมีดังต่อไปนี้

#### 4.2.1 กระบวนการสร้างฐานข้อมูลเพื่อให้ระบบรู้จำเสียงพูด

การที่ระบบจะสามารถแยกแยะได้ว่าเสียงพูดที่เราพูดเป็นคำสั่งเสียงใดได้นั้น เราจำเป็นต้องสอนให้ระบบรู้จักเสียงพูดที่เราต้องการเสียก่อน ซึ่งเรียกกระบวนการนี้ว่า กระบวนการรู้จำเสียงพูด (Speech Recognition)

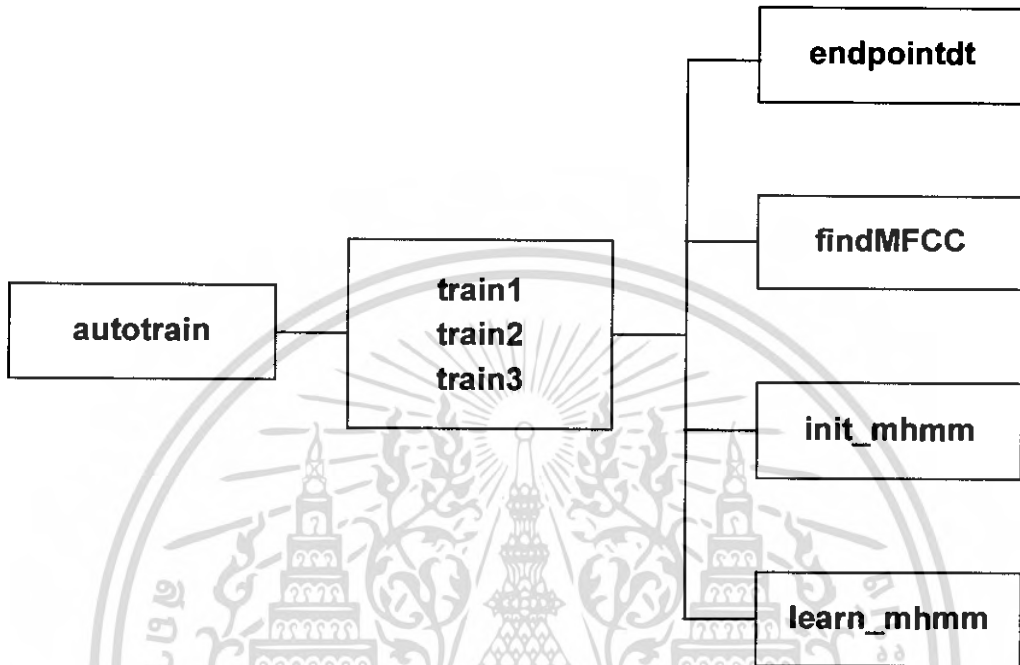
ในขั้นต้น เราจะต้องเก็บข้อมูลเสียงต้นแบบเพื่อนำมาเป็นฐานข้อมูลให้กับระบบเสียก่อน เสียงต้นแบบนี้ก็คือคำสั่งเสียงที่เราต้องการให้ระบบเรียนรู้นั่นเอง จากนั้นเราจะนำเสียงต้นแบบทั้งหมดมาผ่านกระบวนการต่างๆ เพื่อสร้างแบบจำลองทางคณิตศาสตร์ที่เป็นตัวแทนของคำสั่งเสียงพูดแต่ละคำ โดยในระบบได้ใช้กระบวนการ เมลฟรีควเอนซีเซปสตรัลโคเอฟฟิเชียน (Mel-Frequency Cepstral Coefficients : MFCC) ในการหาลักษณะสำคัญของคำพูดแต่ละคำ ซึ่งผลลัพธ์ที่ได้จะอยู่ในรูปของค่าเวกเตอร์ซึ่งใช้เป็นตัวแทนของคำพูดนั้นๆ จากนั้นจึงนำค่าดังกล่าวไปสร้างเป็นโมเดลเสียงโดยใช้ แบบจำลองฮิดเด้นมาร์คอฟ (Hidden Markov Model : HMM) ซึ่งกระบวนการต่างๆ ที่ได้กล่าวมานี้แสดงดังแผนภาพในรูปที่ 4.3



รูปที่ 4.3 กระบวนการสร้างฐานข้อมูลเพื่อใช้ระบบรู้จำเสียงพูด

เอกสารนี้เป็นเอกสารที่สงวนไว้สำหรับการใช้งานเพื่อการศึกษาเท่านั้น ไม่อนุญาตให้นำไปใช้ประโยชน์ด้านการค้า ไม่ว่ากรณีใดๆ ทั้งสิ้น อีกทั้งห้ามมิให้ตัดแปลงเนื้อหา และต้องอ้างอิงถึงเจ้าของเอกสารทุกครั้งที่มีการนำไปใช้

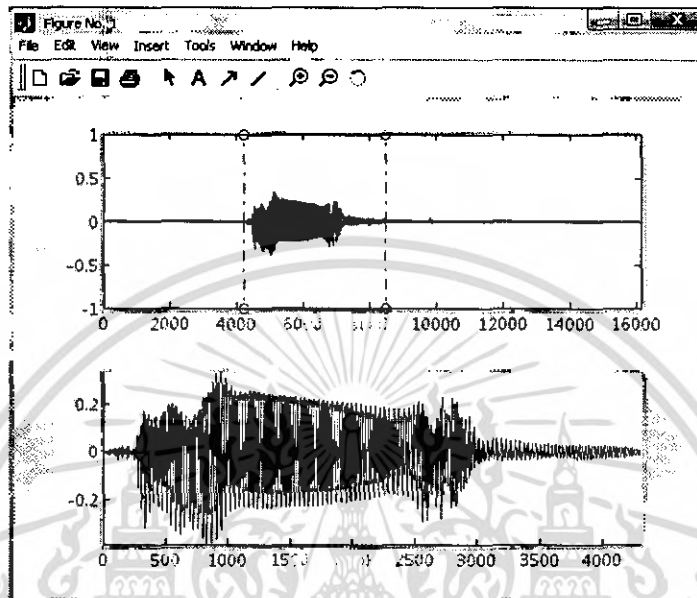
ในการสร้างฐานข้อมูลเพื่อให้ระบบรู้จำเสียงพูดได้นั้น เราจะทำการประมวลผลไฟล์ `autotrain.m` โดยในไฟล์ดังกล่าว จะประกอบไปด้วยฟังก์ชันของกระบวนการต่าง ๆ ดังต่อไปนี้



รูปที่ 4.4 แสดงส่วนประกอบของไฟล์ `autotrain.m`

เพื่อให้กระบวนการรู้จำเสียงพูดในระบบนี้มีประสิทธิภาพมากขึ้นและใช้เวลาในการประมวลผลน้อยลง เราจึงทำการแบ่งคำพูดออกเป็นช่วงต่างๆ 3 ช่วง คือ ช่วงที่ออกเสียงพยัญชนะต้นซึ่งก็คือช่วงต้นของคำ ช่วงที่เป็นเสียงสระและวรรณยุกต์ซึ่งก็คือช่วงกลางคำ และช่วงที่เป็นเสียงตัวสะกดซึ่งก็คือช่วงท้ายของคำ (แสดงในรูปที่ 4.3) ซึ่งแต่ละช่วงของคำพูดนี้จะถูกนำไปผ่านกระบวนการรู้จำตามฟังก์ชันในไฟล์ `train1`, `train2` และ `train3` ตามลำดับ และแต่ละไฟล์จะประกอบไปด้วยฟังก์ชันย่อย ได้แก่ `endpointdt`, `find_MFCC`, `init_mhmm` และ `learn_mhmm` ซึ่งมีหน้าที่ต่างๆ ดังนี้

1. ฟังก์ชัน `endpointdt` : เป็นฟังก์ชันที่ทำหน้าที่หาจุดเริ่มต้นและจุดสิ้นสุดของคำ โดยจะตัดสัญญาณรบกวนออกแล้วจะได้สัญญาณดังรูป 4.5



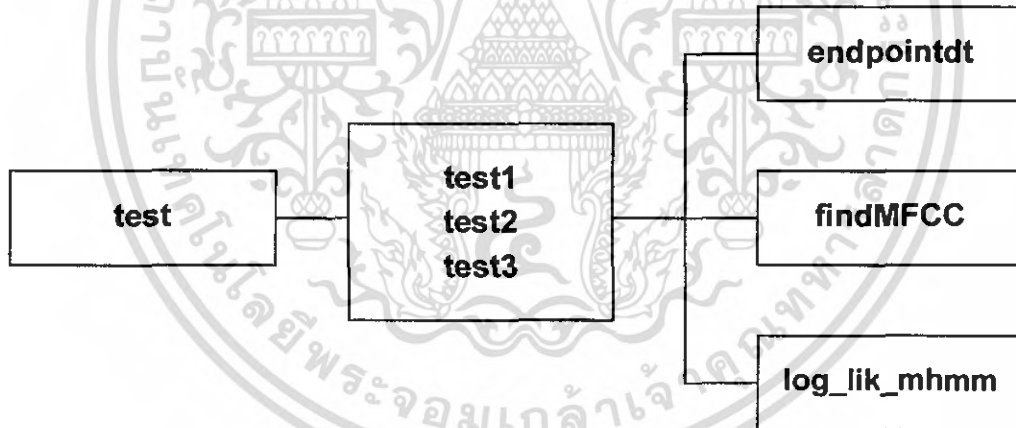
รูปที่ 4.5 แสดงการหาจุดเริ่มต้นและจุดสิ้นสุดของสัญญาณ

2. ฟังก์ชัน `findMFCC` : เป็นฟังก์ชันที่เอาไว้แปลงสัญญาณเสียงให้เป็นค่าพารามิเตอร์เพื่อเอาไว้ใช้ในการวิเคราะห์และใช้ในกระบวนการต่างๆ เทคนิคในการหาค่าพารามิเตอร์นี้มีหลายวิธี เช่น ติเนียร์พรีดิกชันโค้ดดิ้ง (Linear Prediction Coding หรือ LPC) , เมลฟรีควเอนซ์เชปสตรัลโคเอฟฟิเชียน (Mel-Frequency Cepstrum Coefficients หรือ MFCC) เราเลือกใช้วิธีเมลฟรีควเอนซ์เชปสตรัลโคเอฟฟิเชียน เพราะเป็นที่นิยมใช้กันอย่างกว้างขวางและมีความถูกต้องสูง
3. ฟังก์ชัน `init_mhmm` : เป็นฟังก์ชันที่สร้างค่าพารามิเตอร์เริ่มต้นของแบบจำลอง เพื่อเอาไว้เปรียบเทียบคุณลักษณะของเสียง มีหลายวิธีเช่น ไดนามิกไทม์วาร์ปปี้ง (Dynamic Time Warping หรือ DTW), เวกเตอร์ควอนไตเซชัน (Vector Quantization หรือ VQ) , ฮิดเด็นมาร์คอฟโมเดล (Hidden Markov Modeling หรือ HMM) เราเลือกใช้แบบจำลองฮิดเด็นมาร์คอฟเพราะเป็นวิธีที่มีความถูกต้องสูง
4. ฟังก์ชัน `learn_mhmm` : เป็นฟังก์ชันที่ใช้ทำให้แบบจำลองเรียนรู้ อ็อบเซอร์เวชันเวกเตอร์ (Observation Vector) ที่ได้จากกระบวนการเมลฟรีควเอนซ์เชปสตรัลโคเอฟฟิเชียน และจะคำนวณค่าความน่าจะเป็นของแต่ละสถานะ (state) ออกมา

เอกสารนี้เป็นเอกสารที่สงวนไว้สำหรับการใช้งานเพื่อการศึกษาเท่านั้น ไม่นุญาตให้นำไปใช้ประโยชน์ด้านการค้าไม่ว่ากรณีใดๆ ทั้งสิ้น อีกทั้งห้ามมิให้ตัดแปลงเนื้อหา และต้องอ้างอิงถึงเจ้าของเอกสารทุกครั้งที่มีการนำไปใช้

#### 4.2.2 การประมวลผลที่ได้จากระบบการรู้จำเสียง

เมื่อเราได้สร้างแบบจำลองของคำสั่งเสียงพูดแต่ละคำขึ้นมาแล้ว เราจะทำการสังเคราะห์ระบบด้วยคำสั่งเสียงที่เราต้องการ โดยกระบวนการประมวลผลคำสั่งเสียงนี้จะเหมือนกับกระบวนการสร้างแบบจำลองที่ได้กล่าวมาแล้ว โดยระบบจะนำคำสั่งเสียงที่เราพูดเข้าทางไมโครโฟนไปประมวลผลตามขั้นตอนต่างๆ เริ่มจากกระบวนการตัดคำ ซึ่งจะตัดเสียงในส่วนที่เราไม่ต้องการในช่วงต้นและช่วงท้ายของการอัดเสียงออกไป ให้เหลือเพียงสัญญาณเสียงในช่วงที่เป็นคำพูดเท่านั้น จากนั้นจะนำสัญญาณดังกล่าวไปหาค่าพารามิเตอร์ซึ่งเป็นตัวแทนของเสียงด้วยกระบวนการเมลฟรีควเินซีเซปสตรัลโคเอฟฟิเชียน (Mel-Frequency Cepstrum Coefficients : MFCC) ซึ่งในการประมวลผลจะแยกคำพูดออกเป็นช่วงๆ 3 ช่วงเช่นเดิม เมื่อได้พารามิเตอร์ดังกล่าวมาแล้ว จึงนำเข้าสู่แบบจำลองของคำสั่งเสียงที่เราได้สร้างไว้แล้ว ในขั้นตอนนี้ระบบจะทำการคำนวณหาความน่าจะเป็นว่าคำพูดที่เราพูดนั้นเป็นคำใด โดยผลลัพธ์ของกระบวนการนี้จะมีความน่าจะเป็นสูงสุดของแบบจำลองขั้นตอนทั้งหมดที่ได้กล่าวมาข้างต้นนี้ จะอยู่ในไฟล์ test.m โดยในไฟล์ดังกล่าวจะประกอบไปด้วยฟังก์ชันของกระบวนการต่างๆ ดังนี้



รูปที่ 4.6 แสดงส่วนประกอบของไฟล์ test.m

1. ฟังก์ชัน `endpointdt` : มีหน้าที่เหมือนกับในส่วนของวิเคราะห์หาคุณลักษณะของเสียง
2. ฟังก์ชัน `findMFCC` : มีหน้าที่เหมือนกับในส่วนของวิเคราะห์หาคุณลักษณะของเสียง
3. ฟังก์ชัน `lok_lik_mhmm` : ทำหน้าที่คำนวณค่าความน่าจะเป็น ที่ได้จากแบบจำลองฮิดเดนมาร์คอฟ และในที่สุดก็จะได้ค่าความน่าจะเป็นของเสียงคำสั่งที่เปรียบเทียบกับรูปแบบเสียงอ้างอิงออกมา

## บทที่ 5

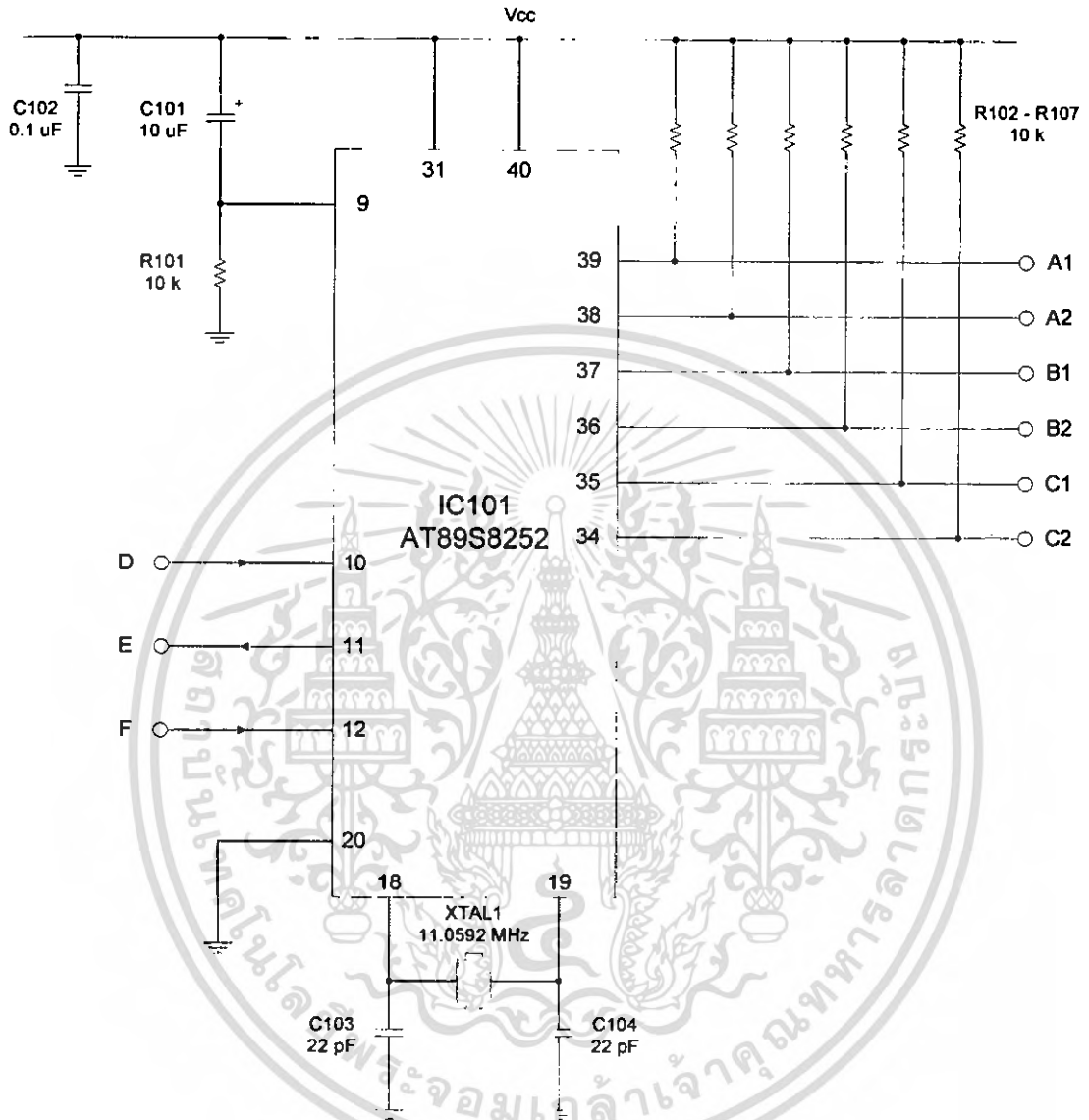
### การประยุกต์ใช้งาน

ระบบส่งงานด้วยเสียงพูดที่ได้ทำนี้ สามารถนำไปใช้ส่งงานในระบบต่างๆ ได้หลากหลาย ในโครงการนี้ขอเสนอแนวทางการประยุกต์ใช้งานกับรถโฟล์คลิฟท์ โดยจะจำลองการทำงานกับ โมเดลรถขนาดเล็ก เพื่อให้เห็นของการส่งงานรถโฟล์คลิฟท์ด้วยเสียงพูดว่าให้ผลเช่นไร

#### 5.1 วงจรควบคุมโมเดลรถ

เนื่องจากระบบของเราใช้คอมพิวเตอร์ในการประมวลผลการรู้จำเสียงพูด ดังนั้นจึงต้องมีการรับ-ส่งข้อมูลระหว่างคอมพิวเตอร์กับวงจรภายนอกที่จะ ไปควบคุมมอเตอร์ของโมเดลรถ รายละเอียดของวงจรที่ใช้ควบคุมการรับ-ส่งข้อมูล และวงจรควบคุมมอเตอร์ มีดังต่อไปนี้

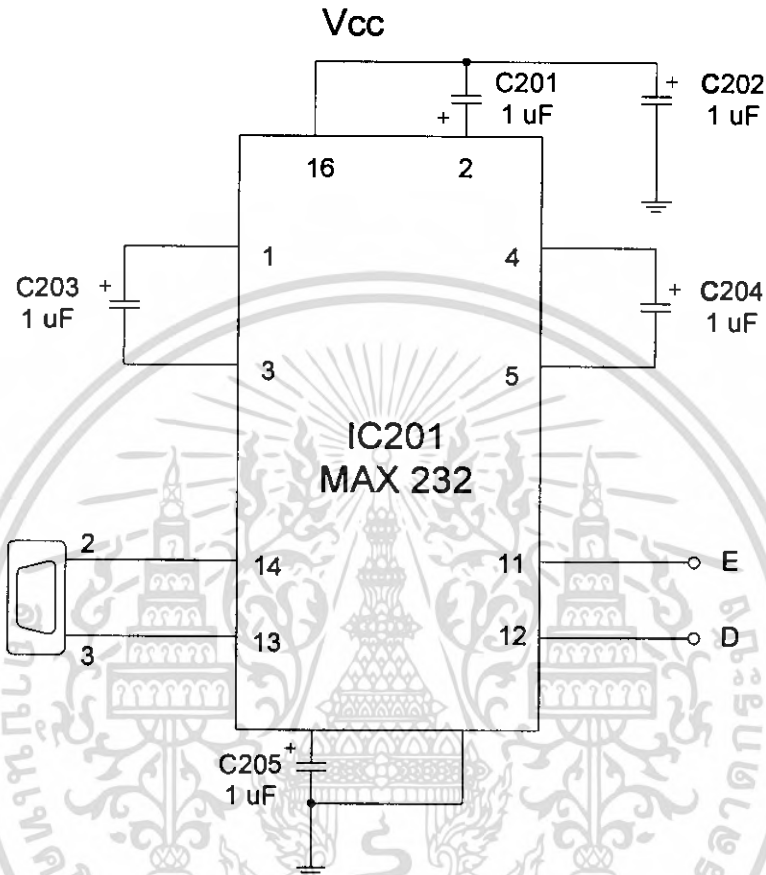




รูปที่ 5.1 วงจรไมโครคอนโทรลเลอร์

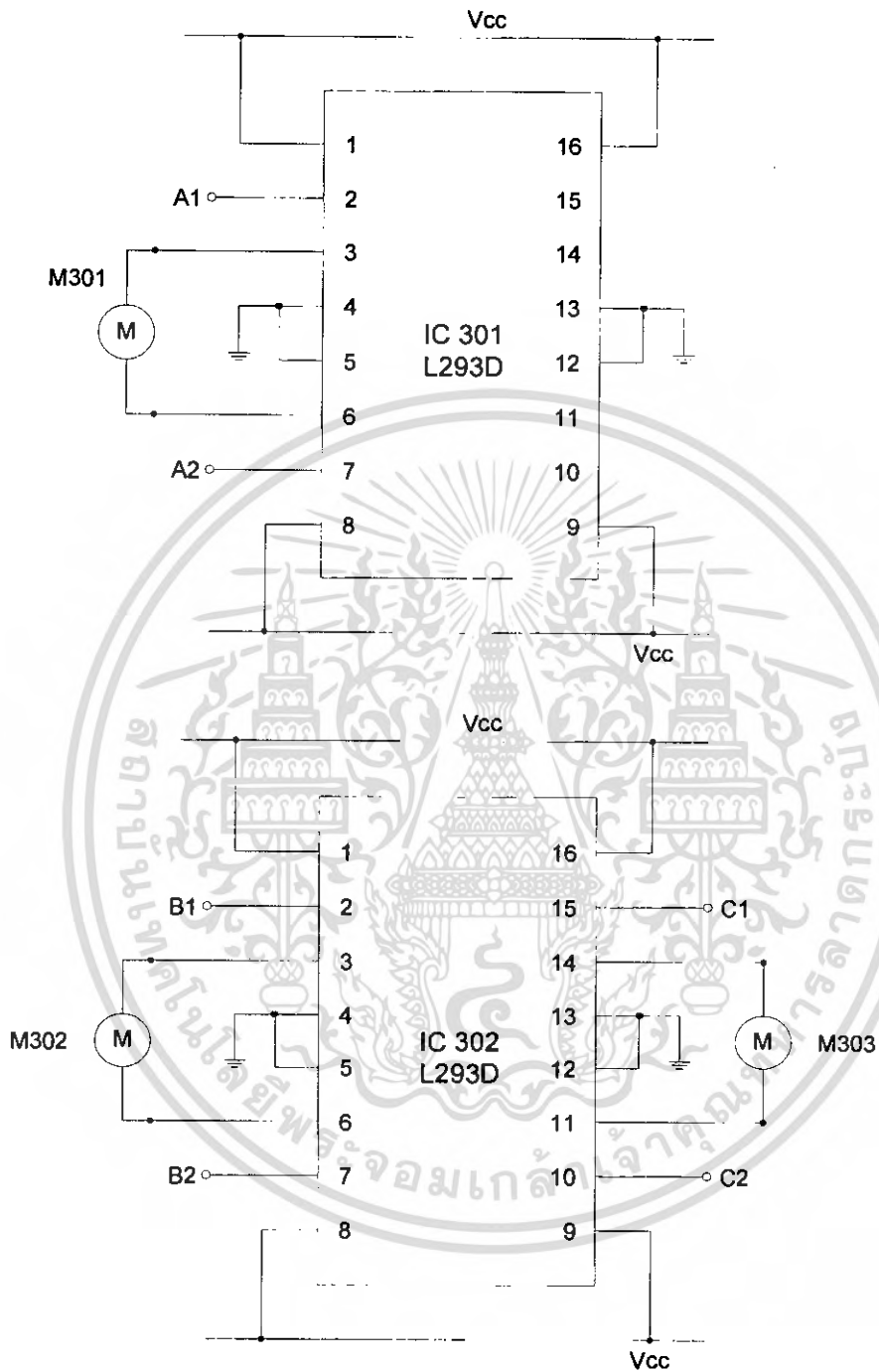
รูปที่ 5.1 แสดงวงจรควบคุม โดยใช้ไมโครคอนโทรลเลอร์เบอร์ AT89S8252 เป็นตัวควบคุมการรับ-ส่งข้อมูลระหว่างคอมพิวเตอร์กับวงจรภายนอก และเป็นตัวควบคุมการหมุนของมอเตอร์รถ

เอกสารนี้เป็นเอกสารที่สงวนไว้สำหรับการใช้งานเพื่อการศึกษาเท่านั้น ไม่อนุญาตให้นำไปใช้ประโยชน์ด้านการค้า ไม่ว่ากรณีใดๆ ทั้งสิ้น อีกทั้งห้ามมิให้ดัดแปลงเนื้อหา และต้องอ้างอิงถึงเจ้าของเอกสารทุกครั้งที่มีการนำไปใช้



รูปที่ 5.2 แสดงวงจร MAX232

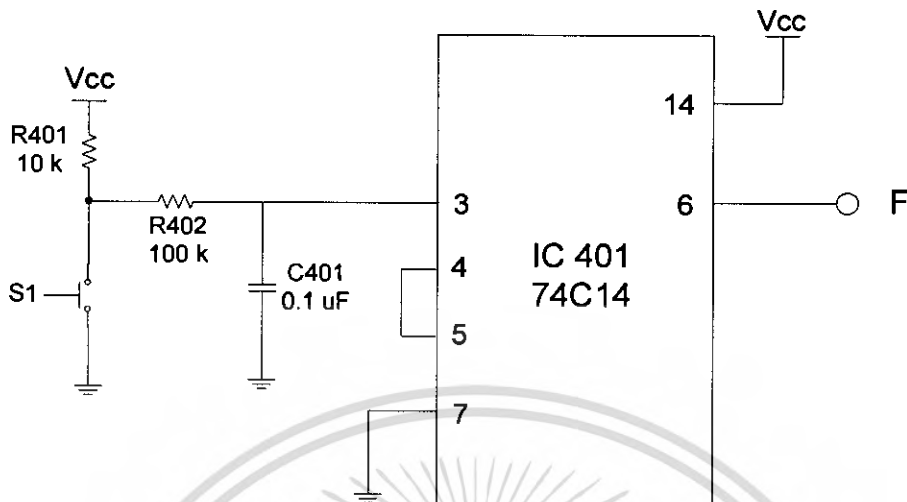
รูปที่ 5.2 แสดงวงจรในส่วนของ IC MAX232 ซึ่งเป็น IC ที่ใช้แปลงระดับแรงดันไฟระหว่างพอร์ตอนุกรมของคอมพิวเตอร์กับไมโครคอนโทรลเลอร์



รูปที่ 5.3 แสดงวงจร L293D

รูปที่ 5.3 แสดงวงจรขับมอเตอร์ไฟตรง โดยใช้ IC เบอร์ L293D เป็นตัวขับมอเตอร์

เอกสารนี้เป็นเอกสารที่สงวนไว้สำหรับการใช้งานเพื่อการศึกษาเท่านั้น ไม่อนุญาตให้นำไปใช้ประโยชน์ด้านการค้า ไม่ว่าจะกรณีใดๆ ทั้งสิ้น อีกทั้งห้ามมิให้ดัดแปลงเนื้อหา และต้องอ้างอิงถึงเจ้าของเอกสารทุกครั้งที่มีการนำไปใช้



รูปที่ 5.4 แสดงวงจร Debounce Switch

และรูปที่ 5.4 แสดงวงจรสวิทช์ ซึ่งใช้สำหรับควบคุมการพูดคำสั่งเสียง โดยมี IC เบอร์ 74HC14 ซึ่งเป็น IC Schmitt Trigger ต่อไว้เพื่อป้องกันการ bounce ของสวิทช์

การทำงานเริ่มจาก เมื่อต้องการสั่งงาน โมเด็มด้วยเสียงพูด จะต้องทำการกดสวิทช์ S1 เมื่อสวิทช์ถูกกดจะทำให้เกิดการอินเตอร์รัปต์ขึ้นในไมโครคอนโทรลเลอร์ ซึ่งตามโปรแกรมที่เขียนไว้ในไมโครคอนโทรลเลอร์ (ดูภาคผนวก ข) กำหนดไว้ว่า เมื่อเกิดอินเตอร์รัปต์ให้ทำการส่งข้อมูลไปยังคอมพิวเตอร์เพื่อให้โปรแกรมรู้จำเสียงพูดทำงาน ดังนั้นเราจึงสามารถพูดสั่งงานทางไมโครโฟนได้ทันทีที่กดสวิทช์ S1 แล้ว

เมื่อเราพูดสั่งงานเรียบร้อยแล้ว โปรแกรมเม้าท์แลปจะทำการประมวลผลว่า คำที่เราพูดนั้นเป็นคำสั่งเสียงใดในฐานะข้อมูล เมื่อประมวลผลเสร็จแล้วจึงทำการส่งผลลัพธ์ซึ่งอยู่ในรูปแบบของรหัสแอสกี (ASCII) ออกมาให้ไมโครคอนโทรลเลอร์ ไมโครคอนโทรลเลอร์จะทำการตรวจสอบว่ารหัสแอสกีที่รับมานั้นตรงกับฟังก์ชันการทำงานใดในโมเด็ม (ดูภาคผนวก ข) จากนั้นจึงทำการส่งลอจิกออกทางพอร์ต 0 เข้าสู่ IC ขั้วมอเตอร์เพื่อให้มอเตอร์ทำงานตามต้องการ

## 5.2 รายการอุปกรณ์

### วงจรไมโครคอนโทรลเลอร์

ตัวต้านทาน 1/4 วัตต์ 1%

R101-107                      10 k $\Omega$                       1 ตัว

ตัวเก็บประจุ

C101                              10  $\mu$ F อิเล็กโทรไลต์                      1 ตัว

C102                              0.1  $\mu$ F เซรามิก                      1 ตัว

C103-104                      22 pF เซรามิก                      2 ตัว

อุปกรณ์สารกึ่งตัวนำ

IC101                              AT89S8252                      1 ตัว

XTAL1                              คริสตอล 11.0592 MHz                      1 ตัว

### วงจร MAX232

ตัวเก็บประจุ

C201-205                      1  $\mu$ F อิเล็กโทรไลต์                      5 ตัว

อุปกรณ์สารกึ่งตัวนำ

IC201                              MAX232                      1 ตัว

อื่นๆ

หัวต่อ DB9 ตัวผู้                      1 ตัว

### วงจรับมอเตอร์

#### อุปกรณ์สารกึ่งตัวนำ

IC301-302	L293D	2 ตัว
อื่นๆ		
M301-303	DC Motor	3 ตัว

### วงจรถีเบาสวิตช์

#### ตัวต้านทาน 1/4 วัตต์ 1%

R401	10 k $\Omega$	1 ตัว
R402	100 k $\Omega$	1 ตัว
ตัวเก็บประจุ		
C401	0.1 $\mu$ F เซรามิก	1 ตัว
อุปกรณ์สารกึ่งตัวนำ		
IC401	74HC14	1 ตัว
อื่นๆ		
S1	สวิตช์กดติดปล่อยดับ	1 ตัว

เอกสารนี้เป็นเอกสารที่สงวนไว้สำหรับการใช้งานเพื่อการศึกษาเท่านั้น ไม่อนุญาตให้นำไปใช้ประโยชน์ด้านการค้า ไม่ว่าจะกรณีใดๆ ทั้งสิ้น อีกทั้งห้ามมิให้ดัดแปลงเนื้อหา และต้องอ้างอิงถึงเจ้าของเอกสารทุกครั้งที่มีการนำไปใช้

## บทที่ 6

### การทดลอง

#### 6.1 การทดลอง

ในการทดลองสั่งงานด้วยเสียงนี้ จะใช้โปรแกรมแมทแล็บในการประมวลผลเพื่อให้คอมพิวเตอร์เรียนรู้คำสั่งเสียงที่ได้บันทึกไว้ จากนั้นจะทำการสั่งงานด้วยเสียงโดยให้คอมพิวเตอร์ประมวลผลเสียงพูดที่สั่ง แล้วส่งผลลัพธ์ออกไปควบคุมโมเดลรถโฟล์คคลิฟท์

คอมพิวเตอร์ที่ใช้ในการประมวลผลในระบบนี้ มีคุณสมบัติดังนี้

- หน่วยประมวลผล CPU Intel Pentium M 1.60 GHz
- หน่วยความจำ RAM 256 MB
- การ์ดเสียง Conexant AMC Audio
- ใช้โปรแกรม MATLAB 2006a ในการเขียน โปรแกรมเพื่อให้ระบบรู้จำเสียงพูด

ฐานข้อมูลเสียงที่ใช้ในระบบนี้ จะใช้เสียงจากคน 10 คน เป็นผู้ชาย 5 คน และผู้หญิง 5 คน คำสั่งเสียงที่ใช้เป็นฐานข้อมูลให้กับระบบจะถูกกำหนดไว้ตามตารางที่ 6.1 โดยจะทำการบันทึกเสียงลงในคอมพิวเตอร์จากคน 10 คน เป็นผู้ชาย 5 คน และผู้หญิง 5 คน แต่ละคนบันทึกคำสั่งเสียงแต่ละคำทั้งหมด 3 ครั้ง รวมเป็นไฟล์ฐานข้อมูลเสียงทั้งหมด 210 ไฟล์ ซึ่งไฟล์เสียงดังกล่าวมีคุณสมบัติดังนี้

- ใช้ความละเอียด (Audio Sample Size) ขนาด 16 บิต
- ใช้ความถี่ในการสุ่ม (Audio Sample Rate) 8000 เฮิรตซ์
- อัตราบิต (Bit Rate) 128 กิโลบิตต่อวินาที

คำสั่งที่	คำสั่งเสียง	ฟังก์ชันการทำงาน
1	ซ้าย	รถเลี้ยวซ้าย
2	ขวา	รถเลี้ยวขวา
3	หน้า	รถเดินหน้า
4	หลัง	รถถอยหลัง
5	ยก	แขน โฟล์คคลิฟท์เลื่อนขึ้น
6	วาง	แขน โฟล์คคลิฟท์เลื่อนลง
7	หยุด	หยุดการเคลื่อนไหวย

ตาราง 6.1 แสดงคำสั่งที่ใช้ในการรู้จำเสียง

เอกสารนี้เป็นเอกสารที่สงวนไว้สำหรับการใช้งานเพื่อการศึกษาเท่านั้น ไม่อนุญาตให้นำไปใช้ประโยชน์ด้านการค้าไม่ว่ากรณีใดๆ ทั้งสิ้น อีกทั้งห้ามมิให้ดัดแปลงเนื้อหา และต้องอ้างอิงถึงเจ้าของเอกสารทุกครั้งที่มีการนำไปใช้

การทดสอบระบบ แบ่งออกเป็น 2 การทดลองดังนี้

- 1) การทดสอบความถูกต้องโดยรวมในการสั่งงานระบบ เปรียบเทียบระหว่างผู้สั่งงานที่มีเสียงอยู่ในฐานข้อมูล เป็นชาย 1 คน และหญิง 1 คน กับผู้สั่งงานที่มีเสียงอยู่นอกฐานข้อมูล เป็นชาย 1 คน และหญิง 1 คนเช่นกัน แต่ละคนพูดสั่งงานด้วยชุดคำสั่งตามตารางที่ 6.1 ทั้งหมด 10 ครั้ง
- 2) การทดสอบความถูกต้องในการสั่งงานแต่ละคำสั่งเสียง โดยเปรียบเทียบว่าคำสั่งเสียงใดที่สั่งงานได้ถูกต้องมากกว่าและน้อยกว่ากัน โดยผู้สั่งงานเป็นผู้ที่มีเสียงอยู่ในฐานข้อมูล เป็นชาย 1 คน และหญิง 1 คน แต่ละคนพูดสั่งงานด้วยชุดคำสั่งตามตารางที่ 6.1 ทั้งหมด 20 ครั้ง

## 6.2 ขั้นตอนการทดลอง

ผู้ทดสอบแต่ละคนทำตามขั้นตอนดังนี้

- 1) ให้ระบบเรียนรู้คำสั่งเสียงที่ได้สร้างเป็นฐานข้อมูลเสียงไว้ โดยใช้โปรแกรมแมทแกล็บประมวลผลไฟล์ที่ชื่อ autotrain.m
- 2) ทำการสั่งงานระบบด้วยคำสั่งในตารางที่ 6.1 โดยใช้โปรแกรมแมทแกล็บประมวลผลไฟล์ที่ชื่อ test.m
- 3) โปรแกรมแมทแกล็บจะส่งผลลัพธ์ที่ได้จากการประมวลผลออกมาทางพอร์ตอนุกรมของคอมพิวเตอร์ เข้าสู่จรรยาควบคุมมอเตอร์ของโมเดลรถโฟล์คคลิฟท์
- 4) บันทึกผลการทดลองลงในตาราง ถ้าโมเดลรถโฟล์คคลิฟท์ทำงานถูกต้องตามคำสั่งเสียง ให้แทนด้วยเครื่องหมายถูก (✓) ถ้าโมเดลรถโฟล์คคลิฟท์ทำงานผิด ให้บันทึกฟังก์ชันการทำงานที่โมเดลรถโฟล์คคลิฟท์ทำ

### 6.3 ผลการทดลอง

#### 6.3.1 การทดสอบความถูกต้องโดยรวมในการสั่งงานระบบ

1) ผลการทดลองสั่งงานระบบ โดยผู้ซายที่มีเสียงอยู่ในฐานข้อมูล

คำสั่งเสียง	ผลการทดลองสั่งงาน				
	ครั้งที่ 1	ครั้งที่ 2	ครั้งที่ 3	ครั้งที่ 4	ครั้งที่ 5
ซ้าย	✓	✓	✓	✓	✓
ขวา	✓	วาง	✓	✓	✓
หน้า	✓	✓	✓	✓	✓
หลัง	✓	✓	✓	✓	✓
ยก	✓	✓	✓	✓	✓
วาง	✓	✓	✓	✓	ขวา
หยุด	✓	✓	✓	✓	✓

คำสั่งเสียง	ผลการทดลองสั่งงาน				
	ครั้งที่ 6	ครั้งที่ 7	ครั้งที่ 8	ครั้งที่ 9	ครั้งที่ 10
ซ้าย	✓	✓	✓	✓	✓
ขวา	✓	✓	✓	✓	✓
หน้า	✓	✓	✓	✓	✓
หลัง	✓	ขวา	✓	✓	✓
ยก	✓	หยุด	✓	✓	✓
วาง	✓	✓	✓	✓	✓
หยุด	✓	✓	✓	✓	✓

ตาราง 6.2 แสดงผลการทดลองสั่งงานระบบ โดยผู้ซายที่มีเสียงอยู่ในฐานข้อมูล

คิดเป็น % ความถูกต้อง เท่ากับ 94.29%

เอกสารนี้เป็นเอกสารที่สงวนไว้สำหรับการใช้งานเพื่อการศึกษาเท่านั้น ไม่อนุญาตให้นำไปใช้ประโยชน์ด้านการค้า  
ไม่ว่ากรณีใดๆ ทั้งสิ้น อีกทั้งห้ามมิให้ตัดแปลงเนื้อหา และต้องอ้างอิงถึงเจ้าของเอกสารทุกครั้งที่มีการนำไปใช้

## 2) ผลการทดลองสั่งงานระบบ โดยผู้หญิงที่มีเสียงอยู่ในฐานข้อมูล

คำสั่งเสียง	ผลการทดลองสั่งงาน				
	ครั้งที่ 1	ครั้งที่ 2	ครั้งที่ 3	ครั้งที่ 4	ครั้งที่ 5
ซ้าย	✓	✓	✓	✓	✓
ขวา	✓	✓	✓	✓	✓
หน้า	✓	✓	✓	✓	✓
หลัง	ซ้าย	✓	✓	✓	✓
ยก	✓	✓	✓	✓	✓
วาง	✓	✓	หยุด	✓	✓
หยุด	✓	✓	✓	✓	✓

คำสั่งเสียง	ผลการทดลองสั่งงาน				
	ครั้งที่ 6	ครั้งที่ 7	ครั้งที่ 8	ครั้งที่ 9	ครั้งที่ 10
ซ้าย	✓	✓	✓	✓	✓
ขวา	✓	หลัง	✓	✓	✓
หน้า	✓	✓	✓	✓	✓
หลัง	ซ้าย	✓	✓	✓	✓
ยก	✓	✓	✓	✓	✓
วาง	✓	✓	ขวา	หยุด	✓
หยุด	✓	✓	✓	✓	✓

ตาราง 6.3 แสดงผลการทดลองสั่งงานระบบ โดยผู้หญิงที่มีเสียงอยู่ในฐานข้อมูล

คิดเป็น % ความถูกต้อง เท่ากับ 91.43%

เอกสารนี้เป็นเอกสารที่สงวนไว้สำหรับการใช้งานเพื่อการศึกษาเท่านั้น ไม่อนุญาตให้นำไปใช้ประโยชน์ด้านการค้า ไม่ว่ากรณีใดๆ ทั้งสิ้น อีกทั้งห้ามมิให้ดัดแปลงเนื้อหา และต้องอ้างอิงถึงเจ้าของเอกสารทุกครั้งที่มีการนำไปใช้

## 3) ผลการทดลองสั่งงานระบบ โดยผู้ชายที่มีเสียงอยู่นอกฐานข้อมูล

คำสั่งเสียง	ผลการทดลองสั่งงาน				
	ครั้งที่ 1	ครั้งที่ 2	ครั้งที่ 3	ครั้งที่ 4	ครั้งที่ 5
ซ้าย	✓	✓	✓	✓	✓
ขวา	ว่าง	ว่าง	✓	✓	หลัง
หน้า	✓	✓	✓	✓	✓
หลัง	ว่าง	✓	✓	✓	ขวา
ยก	✓	✓	หยุด	✓	✓
วาง	✓	ขวา	✓	✓	✓
หยุด	✓	✓	✓	ยก	✓

คำสั่งเสียง	ผลการทดลองสั่งงาน				
	ครั้งที่ 6	ครั้งที่ 7	ครั้งที่ 8	ครั้งที่ 9	ครั้งที่ 10
ซ้าย	✓	✓	✓	✓	✓
ขวา	✓	✓	ว่าง	ว่าง	✓
หน้า	ซ้าย	✓	✓	✓	✓
หลัง	✓	ซ้าย	✓	✓	✓
ยก	✓	✓	✓	✓	✓
วาง	✓	ขวา	✓	✓	หลัง
หยุด	✓	✓	✓	✓	✓

ตาราง 6.4 ผลการทดลองสั่งงานระบบ โดยผู้ชายที่มีเสียงอยู่นอกฐานข้อมูล

คิดเป็น % ความถูกต้อง เท่ากับ 80%

เอกสารนี้เป็นเอกสารที่สงวนไว้สำหรับการใช้งานเพื่อการศึกษาเท่านั้น ไม่อนุญาตให้นำไปใช้ประโยชน์ด้านการค้า ไม่ว่ากรณีใดๆ ทั้งสิ้น อีกทั้งห้ามมิให้ตัดแปลงเนื้อหา และต้องอ้างอิงถึงเจ้าของเอกสารทุกครั้งที่มีการนำไปใช้

## 4) ผลการทดลองสั่งงานระบบ โดยผู้หญิงที่มีเสียงอยู่นอกฐานข้อมูล

คำสั่งเสียง	ผลการทดลองสั่งงาน				
	ครั้งที่ 1	ครั้งที่ 2	ครั้งที่ 3	ครั้งที่ 4	ครั้งที่ 5
ซ้าย	✓	✓	✓	✓	✓
ขวา	หลัง	✓	✓	หน้า	หลัง
หน้า	✓	หยุด	✓	✓	✓
หลัง	ซ้าย	✓	ซ้าย	ซ้าย	ซ้าย
ยก	✓	✓	✓	✓	✓
วาง	หลัง	✓	หลัง	✓	✓
หยุด	✓	✓	✓	✓	✓

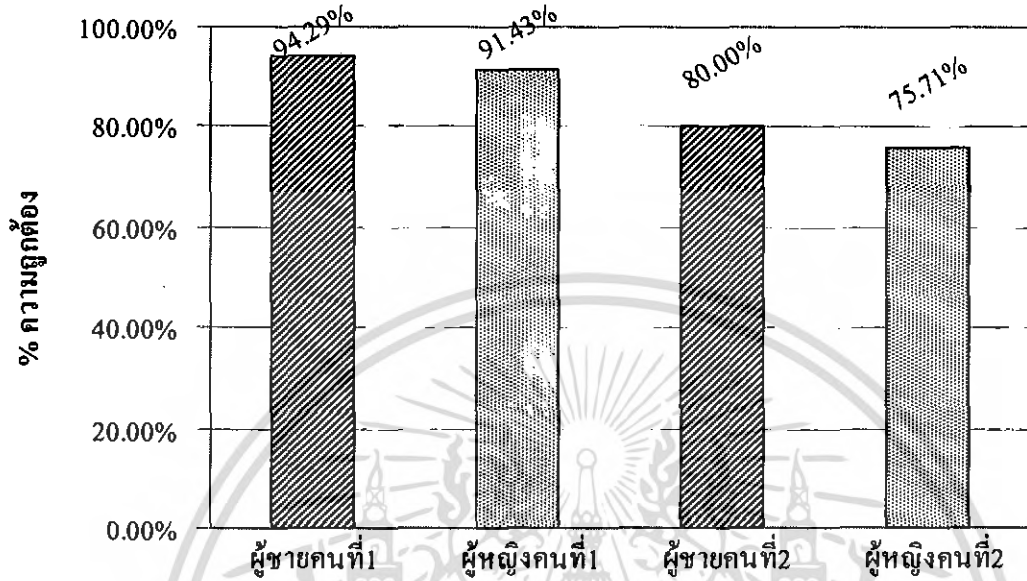
คำสั่งเสียง	ผลการทดลองสั่งงาน				
	ครั้งที่ 6	ครั้งที่ 7	ครั้งที่ 8	ครั้งที่ 9	ครั้งที่ 10
ซ้าย	✓	✓	✓	✓	✓
ขวา	✓	✓	หลัง	✓	✓
หน้า	✓	✓	✓	✓	✓
หลัง	ซ้าย	✓	✓	ขวา	ขวา
ยก	✓	✓	✓	✓	✓
วาง	หลัง	หยุด	ขวา	✓	✓
หยุด	✓	✓	✓	✓	✓

ตาราง 6.5 ผลการทดลองสั่งงานระบบ โดยผู้หญิงที่มีเสียงอยู่นอกฐานข้อมูล

คิดเป็น % ความถูกต้อง เท่ากับ 75.71%

เอกสารนี้เป็นเอกสารที่สงวนไว้สำหรับการใช้งานเพื่อการศึกษาเท่านั้น ไม่อนุญาตให้นำไปใช้ประโยชน์ด้านการค้า  
ไม่ว่ากรณีใดๆ ทั้งสิ้น อีกทั้งห้ามมิให้คัดแปลงเนื้อหา และต้องอ้างอิงถึงเจ้าของเอกสารทุกครั้งที่มีการนำไปใช้

5) กราฟผลการทดสอบความถูกต้องโดยรวมในการใช้งานระบบ



รูปที่ 6.1 กราฟการทดสอบความถูกต้องโดยรวมในการใช้งานระบบ

เอกสารนี้เป็นเอกสารที่สงวนไว้สำหรับการใช้งานเพื่อการศึกษาเท่านั้น ไม่อนุญาตให้นำไปใช้ประโยชน์ด้านการค้า ไม่ว่าจะกรณีใดๆ ทั้งสิ้น อีกทั้งห้ามมิให้ตัดแปลงเนื้อหา และต้องอ้างอิงถึงเจ้าของเอกสารทุกครั้งที่มีการนำไปใช้

### 6.3.2 การทดสอบความถูกต้องในการสั่งงานแต่ละคำสั่งเสียง

1) ผลการทดลองเปรียบเทียบความถูกต้องในการสั่งงานแต่ละคำสั่งเสียง โดยผู้ชายที่มีเสียงอยู่ในฐานข้อมูลเป็นผู้สั่งงาน

คำสั่ง ครั้งที่	ชาย	ขวา	หน้า	หลัง
1	✓	✓	✓	✓
2	✓	วาง	✓	✓
3	✓	✓	✓	✓
4	✓	✓	✓	✓
5	✓	✓	✓	✓
6	✓	✓	✓	✓
7	✓	✓	✓	ขวา
8	✓	✓	✓	✓
9	✓	✓	✓	✓
10	✓	✓	✓	✓
11	✓	✓	✓	✓
12	✓	✓	✓	✓
13	✓	✓	✓	✓
14	✓	✓	✓	✓
15	✓	✓	✓	✓
16	✓	✓	✓	✓
17	✓	✓	✓	✓
18	✓	✓	✓	✓
19	✓	✓	✓	✓
20	✓	✓	✓	✓
<b>% ความถูกต้อง</b>	<b>100%</b>	<b>95%</b>	<b>100%</b>	<b>95%</b>

ตาราง 6.6 ผลการทดลองเปรียบเทียบความถูกต้องในการสั่งงานแต่ละคำสั่งเสียง

โดยผู้ชายที่มีเสียงอยู่ในฐานข้อมูลเป็นผู้สั่งงาน

เอกสารนี้เป็นเอกสารที่สงวนไว้สำหรับการใช้งานเพื่อการศึกษาเท่านั้น ไม่อนุญาตให้นำไปใช้ประโยชน์ด้านการค้า  
ไม่ว่ากรณีใดๆ ทั้งสิ้น อีกทั้งห้ามมิให้คัดแปลงเนื้อหา และต้องอ้างอิงถึงเจ้าของเอกสารทุกครั้งที่มีการนำไปใช้

2) ผลการทดลองเปรียบเทียบความถูกต้องในการสั่งงานแต่ละคำสั่งเสียง โดยผู้ชายที่มีเสียงอยู่ในฐานข้อมูลเป็นผู้สั่งงาน (ต่อ)

คำสั่ง ครั้งที่	ยก	วาง	หยุด
1	✓	✓	✓
2	✓	✓	✓
3	✓	✓	✓
4	✓	✓	✓
5	✓	ขวา	✓
6	✓	✓	✓
7	หยุด	✓	✓
8	✓	✓	✓
9	✓	✓	✓
10	✓	✓	✓
11	✓	✓	✓
12	✓	หยุด	✓
13	✓	✓	✓
14	✓	✓	✓
15	✓	✓	✓
16	✓	✓	✓
17	✓	ขวา	✓
18	✓	✓	✓
19	✓	✓	✓
20	✓	✓	✓
<b>% ความถูกต้อง</b>	<b>95%</b>	<b>85%</b>	<b>100%</b>

ตาราง 6.7 ผลการทดลองเปรียบเทียบความถูกต้องในการสั่งงานแต่ละคำสั่งเสียง โดยผู้ชายที่มีเสียงอยู่ในฐานข้อมูลเป็นผู้สั่งงาน (ต่อ)

เอกสารนี้เป็นเอกสารที่สงวนไว้สำหรับการใช้งานเพื่อการศึกษาเท่านั้น ไม่อนุญาตให้นำไปใช้ประโยชน์ด้านการค้า ไม่ว่ากรณีใดๆ ทั้งสิ้น อีกทั้งห้ามมิให้ตัดแปลงเนื้อหา และต้องอ้างอิงถึงเจ้าของเอกสารทุกครั้งที่มีการนำไปใช้

3) ผลการทดลองเปรียบเทียบความถูกต้องในการสั่งงานแต่ละคำสั่งเสียง โดยผู้หญิงที่มีเสียงอยู่ในฐานข้อมูลเป็นผู้สั่งงาน

คำสั่ง ครั้งที่	ซ้าย	ขวา	หน้า	หลัง
1	✓	✓	✓	ซ้าย
2	✓	✓	✓	✓
3	✓	✓	✓	✓
4	✓	✓	✓	✓
5	✓	✓	✓	✓
6	✓	✓	✓	ซ้าย
7	✓	หลัง	✓	✓
8	✓	✓	✓	✓
9	✓	✓	✓	✓
10	✓	✓	✓	✓
11	✓	✓	✓	✓
12	✓	✓	✓	✓
13	✓	✓	✓	✓
14	✓	หลัง	✓	✓
15	✓	✓	✓	✓
16	✓	✓	✓	✓
17	✓	✓	✓	✓
18	✓	✓	✓	✓
19	✓	✓	✓	✓
20	✓	✓	✓	✓
% ความถูกต้อง	100%	90%	100%	90%

ตาราง 6.8 ผลการทดลองเปรียบเทียบความถูกต้องในการสั่งงานแต่ละคำสั่งเสียง โดยผู้หญิงที่มีเสียงอยู่ในฐานข้อมูลเป็นผู้สั่งงาน

เอกสารนี้เป็นเอกสารที่สงวนไว้สำหรับการใช้งานเพื่อการศึกษาเท่านั้น ไม่อนุญาตให้นำไปใช้ประโยชน์ด้านการค้า ไม่ว่ากรณีใดๆ ทั้งสิ้น อีกทั้งห้ามมิให้ตัดแปลงเนื้อหา และต้องอ้างอิงถึงเจ้าของเอกสารทุกครั้งที่มีการนำไปใช้

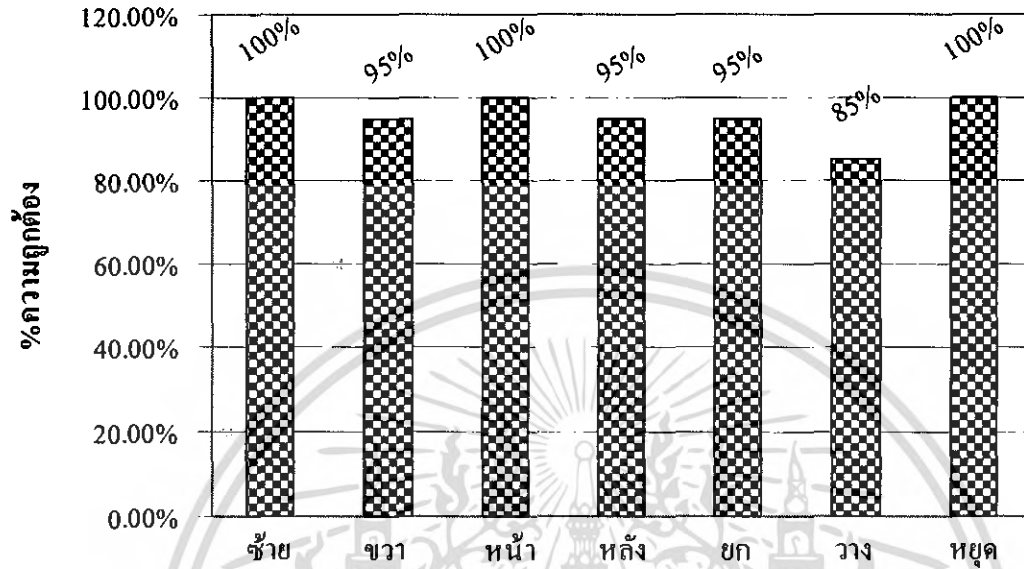
4) การทดลองเปรียบเทียบความถูกต้องในการสั่งงานแต่ละคำสั่งเสียง โดยผู้หญิงที่มีเสียง  
อยู่ในฐานข้อมูลเป็นผู้สั่งงาน (ต่อ)

คำสั่ง ครั้งที่	ยก	วาง	หยุด
1	✓	✓	✓
2	✓	✓	✓
3	✓	หยุด	✓
4	✓	✓	✓
5	✓	✓	✓
6	✓	✓	✓
7	✓	✓	✓
8	✓	ขวา	✓
9	✓	หยุด	✓
10	✓	✓	✓
11	✓	✓	✓
12	✓	✓	✓
13	✓	✓	✓
14	✓	✓	✓
15	✓	✓	✓
16	✓	✓	✓
17	✓	ขวา	✓
18	✓	✓	✓
19	✓	✓	✓
20	✓	✓	✓
<b>% ความถูกต้อง</b>	<b>100%</b>	<b>80%</b>	<b>100%</b>

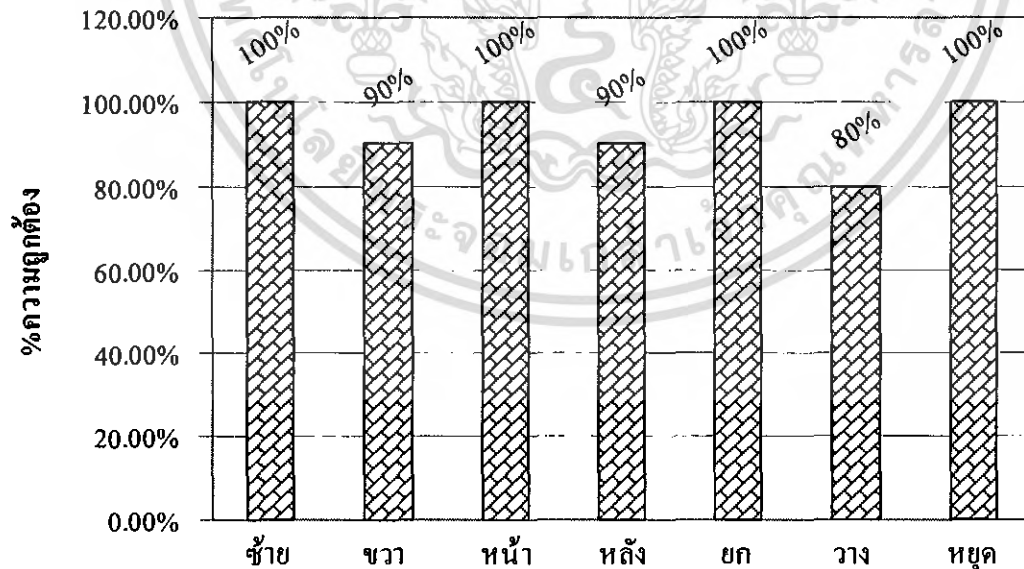
ตาราง 6.9 ผลการทดลองเปรียบเทียบความถูกต้องในการสั่งงานแต่ละคำสั่งเสียง  
โดยผู้หญิงที่มีเสียงอยู่ในฐานข้อมูลเป็นผู้สั่งงาน (ต่อ)

เอกสารนี้เป็นเอกสารที่สงวนไว้สำหรับการใช้งานเพื่อการศึกษาเท่านั้น ไม่อนุญาตให้นำไปใช้ประโยชน์ด้านการค้า  
ไม่ว่ากรณีใดๆ ทั้งสิ้น อีกทั้งห้ามมิให้คัดแปลงเนื้อหา และต้องอ้างอิงถึงเจ้าของเอกสารทุกครั้งที่มีการนำไปใช้

5) กราฟผลการทดสอบความถูกต้องในการสั่งงานแต่ละคำสั่งเสียง



รูปที่ 6.2 กราฟการทดสอบความถูกต้องในการสั่งงานแต่ละคำสั่งเสียงของผู้ชายคนที่ 1



รูปที่ 6.3 กราฟการทดสอบความถูกต้องในการสั่งงานแต่ละคำสั่งเสียงของผู้หญิงคนที่ 1

เอกสารนี้เป็นเอกสารที่สงวนไว้สำหรับการใช้งานเพื่อการศึกษาเท่านั้น ไม่อนุญาตให้นำไปใช้ประโยชน์ด้านการค้า ไม่ว่ากรณีใดๆ ทั้งสิ้น อีกทั้งห้ามมิให้ตัดแปลงเนื้อหา และต้องอ้างอิงถึงเจ้าของเอกสารทุกครั้งที่มีการนำไปใช้

## บทที่ 7

### สรุปผลการทดลอง

#### 7.1 สรุปผลการทดลอง

จากการทดลองระบบรู้จำเสียงพูด โดยทดลองกับ โมเดลรศพโพลีคลิฟท์ ได้ผลสรุปดังนี้

1. ในการทดลองเพื่อตรวจสอบความถูกต้องโดยรวมในการสั่งงานของระบบ เปรียบเทียบระหว่างผู้สั่งงานที่มีเสียงอยู่ในฐานข้อมูล เป็นชาย 1 คน และหญิง 1 คน กับผู้สั่งงานที่มีเสียงอยู่นอกฐานข้อมูล เป็นชาย 1 คน และหญิง 1 คนเช่นกัน แต่ละคนพูดสั่งงานด้วยชุดคำสั่งตามตารางที่ 6.1 ทั้งหมด 10 ครั้ง จากการทดลองพบว่า ผู้สั่งงานที่มีเสียงอยู่ในฐานข้อมูลทั้งผู้ชายและผู้หญิง เมื่อสั่งงานจะมีเปอร์เซ็นต์ความถูกต้องสูงกว่าผู้สั่งงานที่ไม่ได้มีเสียงอยู่ในฐานข้อมูล โดยมีเปอร์เซ็นต์ความถูกต้องของผู้ชาย และผู้หญิงเฉลี่ยเท่ากับ 94.29% และ 91.43% ตามลำดับ ส่วนเปอร์เซ็นต์ความถูกต้องของผู้สั่งงานที่มีเสียงอยู่นอกฐานข้อมูลของผู้ชายและผู้หญิงเฉลี่ยเท่ากับ 80.0% และ 75.71% ตามลำดับ

2. ในการทดลองเพื่อตรวจสอบความถูกต้องในการสั่งงานแต่ละคำสั่งเสียง โดยเปรียบเทียบว่าคำสั่งเสียงใดที่สั่งงานได้ถูกต้องมากกว่าและน้อยกว่ากัน โดยผู้สั่งงานเป็นผู้ที่มีเสียงอยู่ในฐานข้อมูล เป็นชาย 1 คน และหญิง 1 คน แต่ละคนพูดสั่งงานด้วยชุดคำสั่งตามตารางที่ 6.1 ทั้งหมด 20 ครั้ง จากการทดลองพบว่า เมื่อสั่งงานคำว่า ขวา หลัง และวาง จะให้เปอร์เซ็นต์ความถูกต้องน้อยกว่าคำสั่งเสียงอื่นๆ

## 7.2 วิจารณ์ผลการทดลอง

จากการทดลองพบว่าสิ่งที่มีผลต่อการรู้จำเสียงพูดของระบบนั้นมีหลายอย่าง ดังนี้  
 ผู้ส่งงานที่มีเสียงอยู่ในฐานข้อมูลไม่ว่าจะเป็นผู้ชายหรือผู้หญิง เมื่อส่งงานจะมีเปอร์เซ็นต์ความถูกต้องมากกว่าผู้ส่งงานที่มีเสียงอยู่นอกฐานข้อมูล เพราะถ้าเสียงของผู้ส่งงานมีความคล้ายคลึงกับเสียงในฐานข้อมูล จะทำให้ระบบสามารถแยกแยะคำสั่งเสียงเหล่านั้น ได้ง่ายกว่าเสียงที่แตกต่างไปจากเสียงในฐานข้อมูล การพูดในแต่ละครั้งของแต่ละคน จะมีลักษณะแตกต่างกันไป ทั้งความสั้นยาวของคำพูด น้ำเสียง และระดับเสียงของผู้พูด ดังนั้นควรให้ระบบเรียนรู้ลักษณะเสียงที่ต่าง ๆ กัน เพื่อการใช้งานที่หลากหลายมากขึ้น

ความผิดพลาดของแต่ละคำสั่งเสียงอาจเกิดจากลักษณะคำพูดที่คล้ายคลึงกัน เช่น ขวากับวาง และวางกับหลัง จะเห็นว่าคำเหล่านี้จะมีพยัญชนะ สระ หรือตัวสะกดที่คล้ายกัน จึงอาจจะทำให้ระบบประมวลผลผิดพลาดได้ การออกเสียงของผู้ทำการทดสอบก็มีส่วนทำให้ผลการทดลองผิดพลาดเช่นกัน เช่นเสียงหายใจแรงก่อนที่จะพูด หรือการออกเสียงที่ไม่ชัด เป็นต้น

นอกจากนี้ สภาพแวดล้อมก็มีส่วนในการรู้จำเสียงพูดของระบบเช่นกัน โดยการทดลองในสภาพห้องเงียบจะให้ผลดีกว่าสภาพห้องที่มีเสียงรบกวน เนื่องจากในสภาพห้องที่มีเสียงรบกวนนั้น ระบบอาจจะทำการประมวลผลเสียงรบกวนด้วย ยิ่งเสียงรบกวนมากความผิดพลาดยิ่งสูง

## 7.3 ปัญหาและแนวทางการพัฒนา

ในการทดลองให้ระบบรู้จำเสียงพูดจะพบว่าเกิดความผิดพลาดขึ้นเป็นส่วนน้อย ซึ่งอาจแก้ไขโดยเพิ่มจำนวนฐานข้อมูลให้มีความหลากหลายมากยิ่งขึ้น เมื่อส่งงานระบบจะได้แยกแยะแต่ละคำสั่งเสียงได้ถูกต้องมากขึ้น นอกจากนี้ยังมีผลของอุปกรณ์บันทึกเสียง ดังนั้นเราจึงควรเลือกใช้อุปกรณ์บันทึกเสียงที่ดี เช่น ไมโครโฟน และซาวด์การ์ด เพื่อให้คุณภาพของเสียงที่จะนำไปประมวลผลมีคุณภาพดีขึ้น และถ้าต้องการให้มีความถูกต้องในการส่งงานระบบมากขึ้น สามารถเพิ่มส่วนในการวิเคราะห์สัญญาณเสียงให้ละเอียดมากยิ่งขึ้น เพื่อแยกแยะคำที่คล้ายคลึงกัน แต่ต้องคำนึงถึงความเร็วในการประมวลผลด้วย

เราสามารถนำระบบรู้จำเสียงพูดนี้ไปพัฒนาใช้งานกับเครื่องจักรกลขนาดเล็ที่มีการใช้งานอยู่จริง โดยการสร้างวงจรอินเทอร์เฟสระหว่างคอมพิวเตอร์กับส่วนควบคุมการทำงานของเครื่องจักร และสามารถนำระบบรู้จำเสียงพูดที่ได้พัฒนาในคอมพิวเตอร์นี้ไปพัฒนาลงในชิปเดี่ยว (Single Chip) เพื่อความสะดวกในการใช้งาน

## หนังสืออ้างอิง

1. **Hidden Markov Model.** from [http://en.wikipedia.org/wiki/Hidden\\_Markov\\_model](http://en.wikipedia.org/wiki/Hidden_Markov_model)
2. **Amarin Deemagarn, Asanee Kawtrakul. Thai Connected Digit Speech Recognition Using Hidden Markov Models.** from <http://www.isca-speech.org>
3. **Ben Milner, Xu Shao. Speech Reconstruction from Mel-Frequency Cepstral Coefficients using a Source-Filter Model.** from <http://www.dcs.shef.ac.uk/~xu>
4. **Li Tan, Montri Kamjanadecha. Modified Mel-Frequency Cepstral Coefficients.** from <http://fivedots.coe.psu.ac.th/~montri>
5. จุฬารัตน์ ตันประเสริฐ. การสร้างรหัสลับเสียงพูดภาษาไทย. จาก [http://micro.se-ed.com/content/mc188/MC188\\_75.asp](http://micro.se-ed.com/content/mc188/MC188_75.asp)
6. Speecy. หลักการรู้จำเสียง. จาก [http://thaispeech.longdo.org/speechy/thaispeech1/index\\_html](http://thaispeech.longdo.org/speechy/thaispeech1/index_html)
7. รศ.ดร.สมศักดิ์ ชุ่มช่วย. **Digital Filter.** จาก <http://www.kmitl.ac.th/~kchsomsa/>
8. **Window function.** from [http://en.wikipedia.org/wiki/Window\\_function](http://en.wikipedia.org/wiki/Window_function)
9. วรพจน์ กรแก้ววัฒนกุล, ชัยวัฒน์ ลิ้มพรจิตรวิไล. **เรียนรู้และปฏิบัติการไมโครคอนโทรลเลอร์ MCS-51.**



เอกสารนี้เป็นเอกสารที่สงวนไว้สำหรับการใช้งานเพื่อการศึกษาเท่านั้น ไม่อนุญาตให้นำไปใช้ประโยชน์ด้านการค้า  
ไม่ว่ากรณีใดๆ ทั้งสิ้น อีกทั้งห้ามมิให้ดัดแปลงเนื้อหา และต้องอ้างอิงถึงเจ้าของเอกสารทุกครั้งที่มีการนำไปใช้

## 1. energy.m ไฟล์สำหรับการหาช่วงต้นและช่วงท้ายของสัญญาณเสียง

```

%-----%
%Read file wave
%-----%
figure(2);
clf;
figure(1);
clf;
[signal,fs,nbits,opts] = wavread('C:\Documents and Settings\Nancy\Desktop\wave');

%-----%
% Preempazis speech signal
%-----%
preemphasis=filter([1,-0.95],1,signal);
subplot(3,1,1);
plot(preemphasis);
axis([0 length(preemphasis) -1 1]);

%-----%
% Calculate energy
%-----%
signal=preemphasis';
winSizeMs=15;
winShiftMs=5;

winSize=round((fs*winSizeMs)/1000);
winShift=round((fs*winShiftMs)/1000);
mywindow=window(@hamming,winSize);

```

เอกสารนี้เป็นเอกสารที่สงวนไว้สำหรับการใช้งานเพื่อการศึกษาเท่านั้น ไม่อนุญาตให้นำไปใช้ประโยชน์ด้านการค้า  
ไม่ว่ากรณีใดๆ ทั้งสิ้น อีกทั้งห้ามมิให้ดัดแปลงเนื้อหา และต้องอ้างอิงถึงเจ้าของเอกสารทุกครั้งที่มีการนำไปใช้

```

j=1;
for i=1:winShift:length(signal)-winSize
    energy(j)=(sum((abs(signal(i:i+winSize-1))).*mywindow'));
    j=j+1;
end

%-----%
% Calculate and Print threshold
%-----%
normal=400/max(energy);
energy=energy*normal;
threshold=max(energy)*0.1;
threshold1=max(energy)*0.2;
subplot(3,1,2);
plot(energy);
axis([0 length(energy) 0 max(energy)]);
linet=energy;
linet(1:length(linet))=threshold1;
hold on;
plot(linet,'y');
plot(linet/2,'r');

```

เอกสารนี้เป็นเอกสารที่สงวนไว้สำหรับการใช้งานเพื่อการศึกษาเท่านั้น ไม่อนุญาตให้นำไปใช้ประโยชน์ด้านการค้า  
ไม่ว่ากรณีใดๆ ทั้งสิ้น อีกทั้งห้ามมิให้ตัดแปลงเนื้อหา และต้องอ้างอิงถึงเจ้าของเอกสารทุกครั้งที่มีการนำไปใช้

```

%-----%
% Define start position
%-----%
leveluv=min(energy(1:5));
j=1;
while(energy(j)<thredshold1)
    j=j+1;
end
endpointl=floor(winShift*j);

while(energy(j)>max(energy)*0.02) %Threshold value
    j=j-1;
end
endpoints=floor(winShift*j);
fstart=j+2;

%-----%
% Define end position
%-----%
j=length(energy);
if energy(j)<thredshold/2
    while(energy(j)<thredshold)
        j=j-1;
    end
    while(energy(j)>(thredshold/2))
        j=j+1;
    end
end
end
endpointe=floor(winShift*(j+0.5));
signal=signal(endpoints:endpointe);

```

เอกสารนี้เป็นเอกสารที่สงวนไว้สำหรับการใช้งานเพื่อการศึกษาเท่านั้น ไม่อนุญาตให้นำไปใช้ประโยชน์ด้านการค้า ไม่ว่ากรณีใดๆ ทั้งสิ้น อีกทั้งห้ามมิให้ดัดแปลงเนื้อหา และต้องอ้างอิงถึงเจ้าของเอกสารทุกครั้งที่มีการนำไปใช้

```

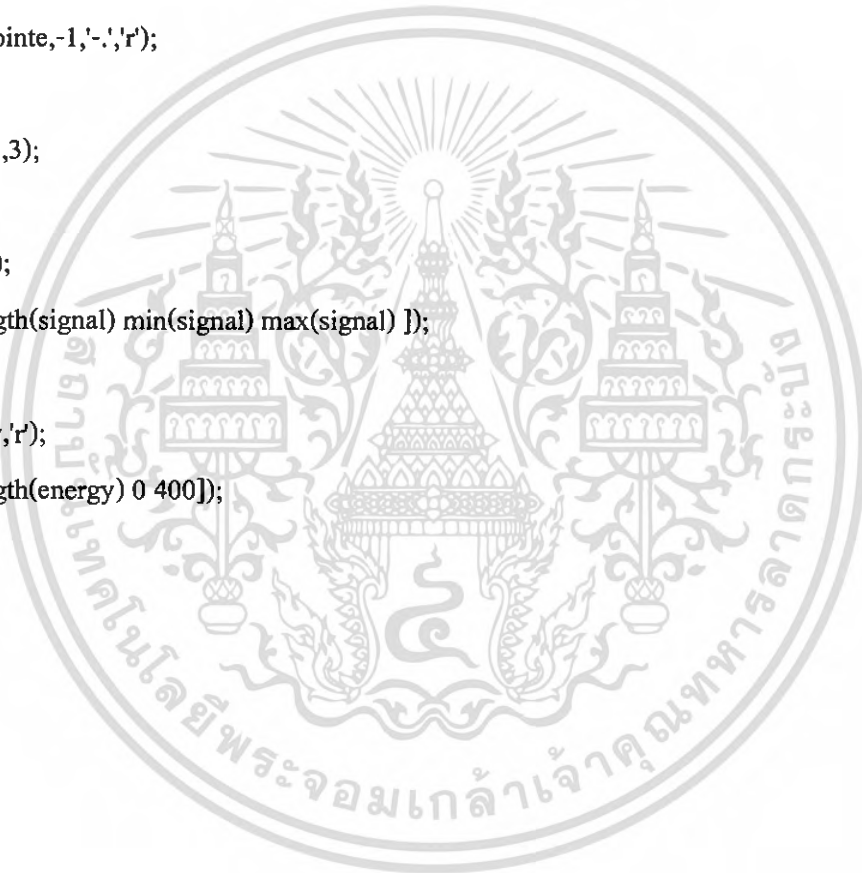
subplot(3,1,1);
hold on;
stem(endpointl, 1,'-','y');
stem(endpointl,-1,'-','y');
stem(endpoints, 1,'-','r');
stem(endpoints,-1,'-','r');
stem(endpointe, 1,'-','r');
stem(endpointe,-1,'-','r');

```

```

subplot(3,1,3);
hold on;
plot(signal);
axis([0 length(signal) min(signal) max(signal) ]);
figure(2);
plot(energy,'r');
axis([0 length(energy) 0 400]);
hold on;

```



เอกสารนี้เป็นเอกสารที่สงวนไว้สำหรับการใช้งานเพื่อการศึกษาเท่านั้น ไม่อนุญาตให้นำไปใช้ประโยชน์ด้านการค้า  
ไม่ว่ากรณีใดๆ ทั้งสิ้น อีกทั้งห้ามมิให้ดัดแปลงเนื้อหา และต้องอ้างอิงถึงเจ้าของเอกสารทุกครั้งที่มีการนำไปใช้

## 2. wavetomfcc.m ไฟล์สำหรับการหา MFCC Vectors

```

function parameter= wavetomfcc(y, fs, FP)

% wave2mfcc: Wave to MFCC (Mel-Frequency Cepstral Coefficient) conversion
% Usage:
% parameter = wave2mfcc(y, fs, FP)
% parameter: MFCC and log energy, plus their delta value.
% fs: sampling rate
% FP: Parameters for deriving the speech features

if nargin<2; fs=8000; end
if nargin<3, FP=setFeatureParam(fs); end

y=double(y); % Convert to double
y=y-mean(y); % Shift to zero mean

% -----First Step : pre-emphasis.
y = filter([1, -0.95], 1, y);

% -----Second Step: frame blocking.
framedY = buffer2(y, FP.frameSize, FP.overlap);
filterBankParam = getTriFilterParam(FP.frameSize, fs, FP.filterNum, 0); % Parameters for
                                                                                   triangular filterbank

parameter = [];
for i = 1:size(framedY, 2),
    % -----Third Step: hamming window.
    Wframe = hamming(FP.frameSize).*framedY(:,i);

```

```

% -----Forth Step: fast fourier transform.
fftMag = abs(fft(Wframe));
halfIndex = floor((FP.frameSize+1)/2);
fftMag = fftMag(1:halfIndex);
fftMag = interp1(1:halfIndex,fftMag,1:1/FP.alpha:halfIndex);           % VTLN
fftMag = [fftMag;zeros(halfIndex-length(fftMag),1)];

% -----Fifth Step: triangular bandpass filter.
tbfCoef = triBandFilter(fftMag, FP.filterNum, filterBankParam);

% -----Sixth Step: cosine transform. (Using DCT to get L-order MFCC parameters.)
mfcc = melCepstrum(FP.mfccDim, FP.filterNum, tbfCoef);
parameter = [parameter mfcc'];
end

if (FP.useEnergyFeature==1)
    energy = sum(framedY.^2)/FP.frameSize;
    logEnergy = 10*log10(eps+energy);
    parameter = [parameter; logEnergy];
end

```

เอกสารนี้เป็นเอกสารที่สงวนไว้สำหรับการใช้งานเพื่อการศึกษาเท่านั้น ไม่อนุญาตให้นำไปใช้ประโยชน์ด้านการค้า  
ไม่ว่ากรณีใดๆ ทั้งสิ้น อีกทั้งห้ามมิให้ตัดแปลงเนื้อหา และต้องอ้างอิงถึงเจ้าของเอกสารทุกครั้งที่มีการนำไปใช้

```

% -----compute delta energy and delta cepstrum
if (FP.useDelta>=1)
    deltaWindow = 2;
    paraDelta = deltaFunction(deltaWindow, parameter);
    parameter = [parameter; paraDelta];
end
if (FP.useDelta==2)
    paraDeltaDelta = deltaFunction(deltaWindow, paraDelta);
    parameter = [parameter; paraDeltaDelta];
end

% -----Subfunction-----%

% -----Triangular band-pass filters
function tbfCoef = triBandFilter(fftMag, P, filterBankParam)
fstart=filterBankParam(1,:);
fcenter=filterBankParam(2,:);
fstop=filterBankParam(3,:);

% Triangular bandpass filter.
for i=1:P
    for j = fstart(i):fcenter(i),
        filtmag(j) = (j-fstart(i))/(fcenter(i)-fstart(i));
    end
    for j = fcenter(i)+1:fstop(i),
        filtmag(j) = 1-(j-fcenter(i))/(fstop(i)-fcenter(i));
    end
    tbfCoef(i) = sum(fftMag(fstart(i):fstop(i)).*filtmag(fstart(i):fstop(i)));
end
tbfCoef=log(eps+tbfCoef.^2);

```

เอกสารนี้เป็นเอกสารที่สงวนไว้สำหรับการใช้งานเพื่อการศึกษาเท่านั้น ไม่อนุญาตให้นำไปใช้ประโยชน์ด้านการค้า  
ไม่ว่ากรณีใดๆ ทั้งสิ้น อีกทั้งห้ามมิให้ตัดแปลงเนื้อหา และต้องอ้างอิงถึงเจ้าของเอกสารทุกครั้งที่มีการนำไปใช้

```

% -----TBF coefficients to MFCC
function mfcc = melCepstrum(L, P, tbfCoef)
% -----DCT to find MFCC
for i = 1:L
    coef = cos((pi/P)*i*(linspace(1,P,P)-0.5));
    mfcc(i) = sum(coef.*tbfCoef);
end

% -----Delta function
function parameter = deltaFunction(deltaWindow,parameter)
% compute delta cepstrum and delta log energy.
rows = size(parameter,1);
cols = size(parameter,2);
temp = [parameter(:,1)*ones(1,deltaWindow) parameter
parameter(:,end)*ones(1,deltaWindow)];
temp2 = zeros(rows,cols);
denominator = sum([1:deltaWindow].^2)*2;

for i = 1+deltaWindow : cols+deltaWindow,
    subtrahend = 0;
    minuend = 0;
    for j = 1 : deltaWindow,
        subtrahend = subtrahend + temp(:,i+j)*j;
        minuend = minuend + temp(:,i-j)*(-j);
    end;
    temp2(:,i-deltaWindow) = (subtrahend + minuend)/denominator;
end;
parameter = temp2;

```

```

function filterBankParam = getTriFilterParam(frameSize, fs, filterNum, plotOpt)
% getTriParam: Get parameters of triangular filter bank
maxMelFreq = freq2mel(fs/2);
sideWidth=maxMelFreq/(filterNum+1);
index=0:filterNum-1;
filterBankParam=floor(mel2freq([index; index+1; index+2]*sideWidth)/fs*frameSize)+1;
filterBankParam(end, end)= frameSize/2;

% -----Normal frequency to mel-scaled frequency conversion
function mel = freq2mel(freq)
mel = 2595*log10(1+freq/700);

% -----Mel-scaled frequency to normal frequency conversion
function freq = mel2freq(mel)
freq = 700*(10.^(mel/2595)-1);

function out = buffer2(y, frameSize, overlap)
% BUFFER2 Frame blocking
% This is almost the same as "buffer" except that there is no leading zeros

if nargin<3, overlap=0; end
if nargin<2, frameSize=256; end
y = y(:);
step = frameSize-overlap;
frameCount = floor((length(y)-overlap)/step);
out = zeros(frameSize, frameCount);
for i=1:frameCount,
    startIndex = (i-1)*step+1;
    out(:, i) = y(startIndex:(startIndex+frameSize-1));
end

```

เอกสารนี้เป็นเอกสารที่สงวนไว้สำหรับการใช้งานเพื่อการศึกษาเท่านั้น ไม่อนุญาตให้นำไปใช้ประโยชน์ด้านการค้า  
ไม่ว่ากรณีใดๆ ทั้งสิ้น อีกทั้งห้ามมิให้ตัดแปลงเนื้อหา และต้องอ้างอิงถึงเจ้าของเอกสารทุกครั้งที่มีการนำไปใช้

### 3. ฟังก์ชันต่างๆของไฟล์ autotrain.m

#### 1) endpointdt

```

%-----%
%Read file wave
%-----%
function signal=endpointdt(signal,fs)

%-----%
% Preempazis speech signal
%-----%
preemphasis=filter([1,-0.95],1,signal);

%-----%
% Calculate energy
%-----%
signal=preemphasis';
winSizeMs=15;
winShiftMs=5;

winSize=round((fs*winSizeMs)/1000);
winShift=round((fs*winShiftMs)/1000);
mywindow=window(@hamming,winSize);
j=1;
for i=1:winShift:length(signal)-winSize
    energy(j)=(sum((abs(signal(i:i+winSize-1))).*mywindow'));
    zeroCr(j)=sum(abs(sgnz(signal(i+1:i+winSize))-sgnz(signal(i:i+winSize-1))))/2/winSize;
    bandCr(j)=sum(abs(sgnb(signal(i+1:i+winSize))-sgnb(signal(i:i+winSize-1))));
    j=j+1;
end

```

เอกสารนี้เป็นเอกสารที่สงวนไว้สำหรับการใช้งานเพื่อการศึกษาเท่านั้น ไม่อนุญาตให้นำไปใช้ประโยชน์ด้านการค้า  
ไม่ว่ากรณีใดๆ ทั้งสิ้น อีกทั้งห้ามมิให้ดัดแปลงเนื้อหา และต้องอ้างอิงถึงเจ้าของเอกสารทุกครั้งที่มีการนำไปใช้

```

%-----%
% Calculate and Print threshold
%-----%
normal=400/max(energy);
energy=energy*normal;
normal=150/max(zeroCr);
zeroCr=zeroCr*normal;
threshold=max(energy)*0.1;
threshold1=max(energy)*0.2;

linet=energy;
linet(1:length(linet))=threshold1;

%-----%
% Define start position
%-----%
leveluv=min(energy(1:5));
leveltt=max(energy)*0.02;
j=1;
if(leveluv>leveltt) leveltt=leveluv; end
while(energy(j)<threshold1)
    j=j+1;
end
endpointl=floor(winShift*j);

while(energy(j)>leveltt) %Threshold value
    j=j-1;
end
endpoints=floor(winShift*j);
fstart=j+2;

```

เอกสารนี้เป็นเอกสารที่สงวนไว้สำหรับการใช้งานเพื่อการศึกษาเท่านั้น ไม่อนุญาตให้นำไปใช้ประโยชน์ด้านการค้า  
ไม่ว่ากรณีใดๆ ทั้งสิ้น อีกทั้งห้ามมิให้ตัดแปลงเนื้อหา และต้องอ้างอิงถึงเจ้าของเอกสารทุกครั้งที่มีการนำไปใช้

```

%-----%
% Define end position
%-----%
j=length(energy);
if energy(j)<thredshold/2
while(energy(j)<thredshold)
    j=j-1;
end

while(energy(j)>(thredshold/2))
    j=j+1;
end
end
endpoint=floor(winShift*(j+0.5));

signal=signal(endpoints:endpoint);

```



เอกสารนี้เป็นเอกสารที่สงวนไว้สำหรับการใช้งานเพื่อการศึกษาเท่านั้น ไม่อนุญาตให้นำไปใช้ประโยชน์ด้านการค้า  
ไม่ว่ากรณีใดๆ ทั้งสิ้น อีกทั้งห้ามมิให้ตัดแปลงเนื้อหา และต้องอ้างอิงถึงเจ้าของเอกสารทุกครั้งที่มีการนำไปใช้

## 2) find\_MFCC

```

function [MFCC,DeltaMFCC,DeltaDeltaMFCC,MixMFCC] = findMFCC(s,num_MFCC)
w=512;
ow=100;
L=length(s);
b=1; m=1;
e=b+w-1;
while e<L
    x=s(b:e);
    f=abs(fft(x'.*hanning(w)));
    f=f(1:(w/2));
    f=f.^2;
    ef=log10(mel(f));
    MFCC(m,:)=dct(ef)*200;
    tDc(m)=b+w/2;
    m=m+1;
    b=b+ow;
    e=b+w-1;
end
MFCC = MFCC(:,1:num_MFCC);

```

เอกสารนี้เป็นเอกสารที่สงวนไว้สำหรับการใช้งานเพื่อการศึกษาเท่านั้น ไม่อนุญาตให้นำไปใช้ประโยชน์ด้านการค้า  
ไม่ว่ากรณีใดๆ ทั้งสิ้น อีกทั้งห้ามมิให้ดัดแปลงเนื้อหา และต้องอ้างอิงถึงเจ้าของเอกสารทุกครั้งที่มีการนำไปใช้

```

[a,b] = size(MFCC);
DeltaMFCC = zeros(a,b);
DeltaMFCC(1,:) = zeros(1,b);
for i=2:a
    DeltaMFCC(i,:) = MFCC(i,:)-MFCC(i-1,:);
end
DeltaDeltaMFCC = zeros(a,b);
DeltaDeltaMFCC(1,:) = zeros(1,b);
DeltaDeltaMFCC(2,:) = zeros(1,b);
for i=3:a
    DeltaDeltaMFCC(i,:) = DeltaMFCC(i,:)-DeltaMFCC(i-1,:);
end
MixMFCC(:,1:b) = MFCC(:,:);
MixMFCC(:,b+1:2*b) = DeltaMFCC(:,:);
MixMFCC(:,2*b+1:3*b) = DeltaDeltaMFCC(:,:);

```

เอกสารนี้เป็นเอกสารที่สงวนไว้สำหรับการใช้งานเพื่อการศึกษาเท่านั้น ไม่อนุญาตให้นำไปใช้ประโยชน์ด้านการค้า  
ไม่ว่ากรณีใดๆ ทั้งสิ้น อีกทั้งห้ามมิให้ตัดแปลงเนื้อหา และต้องอ้างอิงถึงเจ้าของเอกสารทุกครั้งที่มีการนำไปใช้

### 3) `init_mhmm`

```
function [init_state_prob, transmat, mixmat, mu, Sigma] = init_mhmm(data, Q, M, cov_type,
    left_right)
```

```
% INIT_MHMM Compute initial param. estimates for an HMM with mixture of Gaussian
outputs.
```

```
% Inputs:
```

```
% data(:,t,l) = observation vector at time t in sequence l
```

```
% Q = num. hidden states
```

```
% M = num. mixture components
```

```
% cov_type = 'full', 'diag' or 'spherical'
```

```
% left_right = 1 if the model is a left-to-right HMM, 0 otherwise
```

```
%
```

```
% Outputs:
```

```
% init_state_prob(i) =  $\Pr(Q(1) = i)$ 
```

```
% transmat(i,j) =  $\Pr(Q(t+1)=j \mid Q(t)=i)$ 
```

```
% mixmat(j,k) =  $\Pr(M(t)=k \mid Q(t)=j)$  where  $M(t)$  is the mixture component at time t
```

```
% mu(:,j,k) = mean of  $Y(t)$  given  $Q(t)=j, M(t)=k$ 
```

```
% Sigma(:, :, j,k) = cov. of  $Y(t)$  given  $Q(t)=j, M(t)=k$ 
```

```
O = size(data, 1);
```

```
T = size(data, 2);
```

```
nex = size(data, 3);
```

```
data = reshape(data, [O T*nex]);
```

```
init_state_prob = normalise(ones(Q,1));
```

```
transmat = mk_stochastic(ones(Q,Q));
```

```
if M > 1
```

```
    mixmat = mk_stochastic(rand(Q,M));
```

```
else
```

```
    mixmat = ones(Q, 1);
```

เอกสารนี้เป็นเอกสารที่สงวนไว้สำหรับการใช้งานเพื่อการศึกษาเท่านั้น ไม่อนุญาตให้นำไปใช้ประโยชน์ด้านการค้า  
ไม่ว่ากรณีใดๆ ทั้งสิ้น อีกทั้งห้ามมิให้ดัดแปลงเนื้อหา และต้องอ้างอิงถึงเจ้าของเอกสารทุกครั้งที่มีการนำไปใช้

end



เอกสารนี้เป็นเอกสารที่สงวนไว้สำหรับการใช้งานเพื่อการศึกษาเท่านั้น ไม่อนุญาตให้นำไปใช้ประโยชน์ด้านการค้า  
ไม่ว่ากรณีใดๆ ทั้งสิ้น อีกทั้งห้ามมิให้ตัดแปลงเนื้อหา และต้องอ้างอิงถึงเจ้าของเอกสารทุกครั้งที่มีการนำไปใช้

```

if 0
    Sigma = repmat(eye(O), [1 1 Q M]);
    % Initialize each mean to a random data point
    indices = randperm(T);
    mu = reshape(data(:,indices(1:(Q*M))), [O Q M]);
end

% Initialize using K-means, where K = Q*M
% We should really segment the sequence uniformly into Q strips,
% and run M-means on each segment.
mix = gmm(O, Q*M, cov_type);
options = foptions;
max_iter = 5;
options(14) = max_iter;
mix = gmminit(mix, data, options);
mu = reshape(mix.centres', [O Q M]);
i = 1;
for q=1:Q
    for m=1:M
        switch cov_type
            case 'diag',
                Sigma(:,:,q,m) = diag(mix.covars(i,:));
            case 'full',
                Sigma(:,:,q,m) = mix.covars(:,i);
            case 'spherical',
                Sigma(:,:,q,m) = mix.covars(i) * eye(O);
        end
    end
    i = i + 1;
end
end
end

```

เอกสารนี้เป็นเอกสารที่สงวนไว้สำหรับการใช้งานเพื่อการศึกษาเท่านั้น ไม่อนุญาตให้นำไปใช้ประโยชน์ด้านการค้า  
ไม่ว่ากรณีใดๆ ทั้งสิ้น อีกทั้งห้ามมิให้ดัดแปลงเนื้อหา และต้องอ้างอิงถึงเจ้าของเอกสารทุกครั้งที่มีการนำไปใช้

#### 4) learn\_mhmm

```
function [LL, init_state_prob, transmat, mu, Sigma, mixmat, mu_history] = learn_mhmm(data,
init_state_prob, transmat, mu, Sigma, mixmat, max_iter, thresh, verbose, cov_type, static2)
% LEARN_MHMM Compute the ML parameters of an HMM with mixtures of Gaussians output
% using EM.
%
% [LL, PRIOR, TRANSMAT, MU, SIGMA, MIXMAT, MU_HISTORY] =
% LEARN_MHMM(DATA, PRIOR0, TRANSMAT0,
% MU0, SIGMA0, MIXMAT0) computes the ML estimates of the following parameters,
% where, for each time t, Q(t) is the hidden state, M(t) is the mixture component, and Y(t) is
% the observation.
% prior(i) = Pr(Q(1) = i),
% transmat(i,j) = Pr(Q(t+1)=j | Q(t)=i)
% mixmat(j,k) = Pr(M(t)=k | Q(t)=j)
% mu(:,j,k) = E[Y(t) | Q(t)=j, M(t)=k]
% Sigma(:,j,k) = Cov[Y(t) | Q(t)=j, M(t)=k]
% PRIOR0 is the initial estimate of PRIOR, etc.
% To learn an HMM with a single Gaussian output, just set mixmat = ones(Q,1).
%
% DATA(:,t,l) is the observation vector at time t for sequence l. If the sequences are of
% different lengths, you can pass in a cell array, so DATA{1} is an O*T matrix.
%
% LL is the "learning curve": a vector of the log lik. values at each iteration.
% LL might go positive, since prob. densities can exceed 1, although this probably
% indicates that something has gone wrong e.g., a variance has collapsed to 0.
% MU_HISTORY(:, :, r) is MU at iteration r.
%
% There are several optional arguments, which should be passed in the following order
% LEARN_MHMM(DATA, INIT_STATE_PROB, TRANSMAT, MU, SIGMA, MIXMAT, ...
```

เอกสารนี้เป็นเอกสารที่สงวนไว้สำหรับการใช้งานเพื่อการศึกษาเท่านั้น ไม่อนุญาตให้นำไปใช้ประโยชน์ด้านการค้า  
ไม่ว่ากรณีใดๆ ทั้งสิ้น อีกทั้งห้ามมิให้ดัดแปลงเนื้อหา และต้องอ้างอิงถึงเจ้าของเอกสารทุกครั้งที่มีการนำไปใช้

```

% MAX_ITER, THRESH, VERBOSE, COV_TYPE, STATIC)
% These have the following meanings
%
% max_iter = max. num EM steps to take (default 10)
% thresh = threshold for stopping EM (default 1e-4)
% verbose = 0 to suppress the display of the log lik at each iteration (Default 1).
% cov_type = 'full', 'diag' or 'spherical' (default 'full')
% static = 1 if we don't want to re-estimate prior and transmat, i.e., no dynamics (default = 0)
%
%learn_mhmm(data, init_state_prob, transmat, mu, Sigma, mixmat, max_iter, thresh, verbose,
    cov_type, static)

if nargin<7, max_iter = 10; end
if nargin<8, thresh = 1e-4; end
if nargin<9, verbose = 1; end
if nargin<10, cov_type = 'full'; end
if nargin<11, static2 = 0; end

if ~iscell(data)
    data = num2cell(data, [1 2]); % each elt of the 3rd dim gets its own cell
end
numex = length(data);

previous_loglik = -inf;
loglik = 0;
converged = 0;
iter = 1;
LL = [];

```

เอกสารนี้เป็นเอกสารที่สงวนไว้สำหรับการใช้งานเพื่อการศึกษาเท่านั้น ไม่อนุญาตให้นำไปใช้ประโยชน์ด้านการค้า  
ไม่ว่ากรณีใดๆ ทั้งสิ้น อีกทั้งห้ามมิให้ตัดแปลงเนื้อหา และต้องอ้างอิงถึงเจ้าของเอกสารทุกครั้งที่มีการนำไปใช้

```

O = size(data{1},1);
Q = length(init_state_prob);
M = size(mixmat,2);
mu_history = zeros(O,Q,M,max_iter);

while (iter <= max_iter) & ~converged
    % E step
    [loglik, exp_num_trans, exp_num_visits1, postmix, m, ip, op] = ...
        ess_mhmm(init_state_prob, transmat, mixmat, mu, Sigma, data);
    [a,b] = size(postmix) ;
    status = 0 ;
    for j=1:a
        for k=1:b
            if postmix(j,k) <= 0
                status = 1 ;
            end
        end
    end
    if status == 1
        break ;
    end
    if verbose, fprintf('iteration %d, loglik = %f\n', iter, loglik); end

```

เอกสารนี้เป็นเอกสารที่สงวนไว้สำหรับการใช้งานเพื่อการศึกษาเท่านั้น ไม่อนุญาตให้นำไปใช้ประโยชน์ด้านการค้า  
ไม่ว่ากรณีใดๆ ทั้งสิ้น อีกทั้งห้ามมิให้ตัดแปลงเนื้อหา และต้องอ้างอิงถึงเจ้าของเอกสารทุกครั้งที่มีการนำไปใช้

```

% M step
if ~static2
    init_state_prob = normalise(exp_num_visits1);
    transmat = mk_stochastic(exp_num_trans);
end
if M == 1
    mixmat = ones(Q,1);
else
    mixmat = mk_stochastic(postmix);
end

for j=1:Q
    for k=1:M
        mu(:,j,k) = m(:,j,k) / postmix(j,k);

        if cov_type(1) == 's'
            s2 = (1/O)*( ip(j,k)/postmix(j,k)) - mu(:,j,k)*mu(:,j,k) );
            Sigma(:,j,k) = s2 * eye(O);
        else
            %SS = op(:,j,k)/postmix(j,k) - mu(:,j,k)*mu(:,j,k);
            SS = op(:,j,k)/postmix(j,k) ;
            if cov_type(1)=='d'
                SS = diag(diag(SS));
            end
            Sigma(:,j,k) = SS;
        end
    end
end
end
end

```

เอกสารนี้เป็นเอกสารที่สงวนไว้สำหรับการใช้งานเพื่อการศึกษาเท่านั้น ไม่อนุญาตให้นำไปใช้ประโยชน์ด้านการค้าไม่ว่ากรณีใดๆ ทั้งสิ้น อีกทั้งห้ามมิให้ดัดแปลงเนื้อหา และต้องอ้างอิงถึงเจ้าของเอกสารทุกครั้งที่มีการนำไปใช้

```

mu_history(:, :, iter) = mu;
ll_history(iter) = loglik;
converged = em_converged(loglik, previous_loglik, thresh);
previous_loglik = loglik;
iter = iter + 1;
LL = [LL loglik];
end

function [loglik, exp_num_trans, exp_num_visits1, postmix, m, ip, op] = ...
    ess_mhmm(prior, transmat, mixmat, mu, Sigma, data)
% ESS_MHMM Compute the Expected Sufficient Statistics for a MOG Hidden Markov Model.
%
% Outputs:
% exp_num_trans(i,j) = sum_l sum_{t=2}^T Pr(Q(t-1) = i, Q(t) = j | Obs(l))
% exp_num_visits1(i) = sum_l Pr(Q(1)=i | Obs(l))
% postmix(i,k) = sum_l sum_t w(i,k,t) where w(i,k,t) = Pr(Q(t)=i, M(t)=k | Obs(l)) (posterior
mixing weights)
% m(:,i,k) = sum_l sum_t w(i,k,l) * Obs(:,t,l)
% ip(i,k) = sum_l sum_t w(i,k,l) * Obs(:,t,l)' * Obs(:,t,l)
% op(:,i,k) = sum_l sum_t w(i,k,l) * Obs(:,t,l) * Obs(:,t,l)'
%
% where Obs(l) = Obs(:, : , l) = O_1 .. O_T for sequence l

verbose = 0;

```

เอกสารนี้เป็นเอกสารที่สงวนไว้สำหรับการใช้งานเพื่อการศึกษาเท่านั้น ไม่อนุญาตให้นำไปใช้ประโยชน์ด้านการค้า  
ไม่ว่ากรณีใดๆ ทั้งสิ้น อีกทั้งห้ามมิให้ดัดแปลงเนื้อหา และต้องอ้างอิงถึงเจ้าของเอกสารทุกครั้งที่มีการนำไปใช้

```

%[O T numex] = size(data);
numex = length(data);
O = size(data{1},1);
Q = length(prior);
M = size(mixmat,2);
exp_num_trans = zeros(Q,Q);
exp_num_visits1 = zeros(Q,1);
postmix = zeros(Q,M);
m = zeros(O,Q,M);
op = zeros(O,O,Q,M);
ip = zeros(Q,M);
loglik = 0;
if verbose, fprintf(1, 'forwards-backwards example # '); end
for ex=1:numex
    if verbose, fprintf(1, '%d ', ex); end
    %obs = data(:,ex);
    obs = data{ex};
    T = size(obs,2);
    [B, B2] = mk_mhmm_obs_lik(obs, mu, Sigma, mixmat);
    [gamma, xit, current_loglik, gamma2] = forwards_backwards_mix(prior, transmat, B, B2,
mixmat);
    loglik = loglik + current_loglik;
    if verbose, fprintf(1, 'll at ex %d = %f\n', ex, loglik); end

```

เอกสารนี้เป็นเอกสารที่สงวนไว้สำหรับการใช้งานเพื่อการศึกษาเท่านั้น ไม่อนุญาตให้นำไปใช้ประโยชน์ด้านการค้า  
ไม่ว่ากรณีใดๆ ทั้งสิ้น อีกทั้งห้ามมิให้ดัดแปลงเนื้อหา และต้องอ้างอิงถึงเจ้าของเอกสารทุกครั้งที่มีการนำไปใช้

```

exp_num_trans = exp_num_trans + sum(xit,3);
exp_num_visits1 = exp_num_visits1 + gamma(:,1);
postmix = postmix + sum(gamma2,3);
for j=1:Q
    for k=1:M
        w = reshape(gamma2(j,k,:), [1 T]); % w(t) = Pr(Q(t)=j, M(t)=k | obs)
        wobs = obs .* repmat(w, [O 1]); % wobs(:,t) = w(t) * obs(:,t)
        m(:,j,k) = m(:,j,k) + sum(wobs, 2); % m(:) = sum_t w(t) obs(:,t)
        %op(:,j,k) = op(:,j,k) + wobs * obs'; % op(:,j,k) = sum_t w(t) * obs(:,t) * obs(:,t)'
        ip(j,k) = ip(j,k) + sum(sum(wobs .* obs, 2)); % ip = sum_t w(t) * obs(:,t)' * obs(:,t)
    end
end
[d N] = size(obs);
for j=1:Q
    for k=1:M
        w = reshape(gamma2(j,k,:), [1 T]);
        new_mu(:,j,k) = m(:,j,k) / postmix(j,k);
        temp = new_mu(:,j,k)*ones(1,N);
        op(:,j,k) = op(:,j,k) + (repmat(w, [O 1]).*(obs-temp)).*(obs-temp)';
    end
end
end
if verbose, fprintf(1, '\n'); end

```

เอกสารนี้เป็นเอกสารที่สงวนไว้สำหรับการใช้งานเพื่อการศึกษาเท่านั้น ไม่อนุญาตให้นำไปใช้ประโยชน์ด้านการค้า  
ไม่ว่ากรณีใดๆ ทั้งสิ้น อีกทั้งห้ามมิให้ดัดแปลงเนื้อหา และต้องอ้างอิงถึงเจ้าของเอกสารทุกครั้งที่มีการนำไปใช้

#### 4. test.m ไฟล์สำหรับการทดสอบสัญญาณเสียงทั้งคำ

```

%-----%
                %Open Port
%-----%
warning off MATLAB:serial:fscanf:unsuccessfulRead
C3=serial('com3');
fopen(C3);
fprintf(C3,'%s','S');
while 1==1
    input=fscanf(C3,'%c',1);
    if input=='C'
%-----%
                %Speech Recognition System
%-----%
    %[s,fs,nbits,opts] = wavread...
        %('C:\Documents and Settings\admin\Desktop\pu');
    s=wavrecord(8000,8000);
    fs=8000;
    test1_System;
    test2_System;
    test3_System;

```

เอกสารนี้เป็นเอกสารที่สงวนไว้สำหรับการใช้งานเพื่อการศึกษาเท่านั้น ไม่อนุญาตให้นำไปใช้ประโยชน์ด้านการค้า ไม่ว่าจะกรณีใดๆ ทั้งสิ้น อีกทั้งห้ามมิให้ตัดแปลงเนื้อหา และต้องอ้างอิงถึงเจ้าของเอกสารทุกครั้งที่มีการนำไปใช้

```

%-----Parameter-----%
r1=(result(1)+result2(1)+result3(1))/3;
r2=(result(2)+result2(2)+result3(2))/3;
r3=(result(3)+result2(3)+result3(3))/3;
r4=(result(4)+result2(4)+result3(4))/3;
r5=(result(5)+result2(5)+result3(5))/3;
r6=(result(6)+result2(6)+result3(6))/3;
r7=(result(7)+result2(7)+result3(7))/3;
R=[r1 r2 r3 r5 r6];
RR=[r1 r2 r3 r4 r5 r6];
RRR=[r1 r2 r3 r4 r5 r6 r7];

%-----%
c7=result(7);
c4=result(4);
for n=1:5
    if max(R) == R(n)

        if n==1
            c(n)=result3(n);
            if c(n)>c7 | c(n) > result(3)
                fprintf(C3,'%s','L');
            elseif max(RR) == r4
                if c4>c(n)
                    fprintf(C3,'%s','B');
                end
            end
        end
    end

```

เอกสารนี้เป็นเอกสารที่สงวนไว้สำหรับการใช้งานเพื่อการศึกษาเท่านั้น ไม่อนุญาตให้นำไปใช้ประโยชน์ด้านการค้า ไม่ว่ากรณีใดๆ ทั้งสิ้น อีกทั้งห้ามมิให้ดัดแปลงเนื้อหา และต้องอ้างอิงถึงเจ้าของเอกสารทุกครั้งที่มีการนำไปใช้

```

elseif max(RRR) == r7
    if c7>c(n)
        fprintf(C3,'%s','S');
    end
else fprintf(C3,'%s','S')
end

```

```

elseif n==2
    c(n)=result(n);
    if result(6) > result(2) & result(6) > result3(2) %Because R(2) close to R(6)
        fprintf(C3,'%s','D');
    elseif c(n)>c7 | c(n) > result2(3)
        fprintf(C3,'%s','R');
    elseif max(RR) == r4
        if c4>c(n)
            fprintf(C3,'%s','B');
        end
    elseif max(RRR) == r7
        if c7>c(n)
            fprintf(C3,'%s','S');
        end
    else fprintf(C3,'%s','S')
end

```

เอกสารนี้เป็นเอกสารที่สงวนไว้สำหรับการใช้งานเพื่อการศึกษาเท่านั้น ไม่อนุญาตให้นำไปใช้ประโยชน์ด้านการค้า  
ไม่ว่ากรณีใดๆ ทั้งสิ้น อีกทั้งห้ามมิให้ดัดแปลงเนื้อหา และต้องอ้างอิงถึงเจ้าของเอกสารทุกครั้งที่มีการนำไปใช้

```

elseif n==3
    c(n)=result(n);
    if c(n)>c7 | c(n) > result3(5)
        fprintf(C3,'%s','F');
    elseif max(RR) == r4
        if c4>c(n)
            fprintf(C3,'%s','B');
        end
    elseif max(RRR) == r7
        if c7>c(n)
            fprintf(C3,'%s','S');
        end
    else fprintf(C3,'%s','S')
    end

elseif n==4
    n=n+1;
    c(n)=result3(n);
    if c(n)>result3(7)
        fprintf(C3,'%s','U');
    elseif max(RRR) == r7
        if c7>c(n)
            fprintf(C3,'%s','S');
        end
    elseif max(RR) == r4
        if c4>c(n)
            fprintf(C3,'%s','B');
        end
    else fprintf(C3,'%s','S')
    end
end

```

เอกสารนี้เป็นเอกสารที่สงวนไว้สำหรับการใช้งานเพื่อการศึกษาเท่านั้น ไม่อนุญาตให้นำไปใช้ประโยชน์ด้านการค้า  
ไม่ว่ากรณีใดๆ ทั้งสิ้น อีกทั้งห้ามมิให้ดัดแปลงเนื้อหา และต้องอ้างอิงถึงเจ้าของเอกสารทุกครั้งที่มีการนำไปใช้

```

elseif n==5
    n=n+1;
    c(n)=result(n);
    if c(n)>c7 | c(n)>result3(7)
        fprintf(C3,'%s','D');
    elseif max(RR) == r4
        if c4>c(n)
            fprintf(C3,'%s','B');
        end
    elseif max(RRR) == r7
        if c7>c(n)
            fprintf(C3,'%s','S');
        end
    else fprintf(C3,'%s','S')
    end
end
end
end
end
end

```



เอกสารนี้เป็นเอกสารที่สงวนไว้สำหรับการใช้งานเพื่อการศึกษาเท่านั้น ไม่อนุญาตให้นำไปใช้ประโยชน์ด้านการค้า  
ไม่ว่ากรณีใดๆ ทั้งสิ้น อีกทั้งห้ามมิให้ดัดแปลงเนื้อหา และต้องอ้างอิงถึงเจ้าของเอกสารทุกครั้งที่มีการนำไปใช้

## 5. ฟังก์ชันต่างๆของไฟล์ test.m

### 1) log\_lik\_mhmm

```
function loglik = log_lik_mhmm(data, prior, transmat, mixmat, mu, Sigma)
% LOG_LIK_MHMM Compute the log-likelihood of a dataset using a mixture of Gaussians
HMM
% loglik = log_lik_mhmm(data, prior, transmat, mixmat, mu, sigma)

[O T ncases] = size(data);
loglik = 0;
for m=1:ncases
    obslik = mk_mhmm_obs_lik(data(:,m), mu, Sigma, mixmat);
    [alpha, LL, xi] = forwards(prior, transmat, obslik);
    loglik = loglik + LL;
end
```



เอกสารนี้เป็นเอกสารที่สงวนไว้สำหรับการใช้งานเพื่อการศึกษาเท่านั้น ไม่อนุญาตให้นำไปใช้ประโยชน์ด้านการค้า  
ไม่ว่ากรณีใดๆ ทั้งสิ้น อีกทั้งห้ามมิให้ดัดแปลงเนื้อหา และต้องอ้างอิงถึงเจ้าของเอกสารทุกครั้งที่มีการนำไปใช้

```

;*****
; Program      : Serial Port
; Controller   : AT89S8252
; XTAL        : 11.0592 MHz
;*****

ORG      0000H
SJMP    MAIN
ORG      0003H
JMP     SPEAK
ORG      0030H

;*****
;Main Program : set up some involving registers
;*****

MAIN: CLR  A           ;Clear Accumulator

MOV  P0,#00H         ;Clear port 0
MOV  IE,#10000001B  ;Enable INT0 / Disable timer 1

MOV  TMOD,#00100000B ;Timer 1 mode 2
MOV  TH1,#0FDH      ;Baud rate = 9600 bps
MOV  TL1,TH1

MOV  SCON,#01010000B ;Serial port in mode 1
MOV  TCON,#01000001B

```

```
*****
```

```
;Index : output loop
```

```
*****
```

```
INDEX: JNB RI,INDEX
      MOV A,SBUF
      CLR RI
```

```
*****
```

```
;Subroutine : Output Condition
```

```
*****
```

```
LEFT: CJNE A,#'L',RIGHT
      MOV P0,#00001000B
      AJMP INDEX
```

```
RIGHT: CJNE A,#'R',FRONT
      MOV P0,#00000001B
      AJMP INDEX
```

```
FRONT: CJNE A,#'F',BACK
      MOV P0,#000001001B
      AJMP INDEX
```

```
BACK: CJNE A,#'B',UP
      MOV P0,#00000110B
      AJMP INDEX
```

เอกสารนี้เป็นเอกสารที่สงวนไว้สำหรับการใช้งานเพื่อการศึกษาเท่านั้น ไม่อนุญาตให้นำไปใช้ประโยชน์ด้านการค้า  
ไม่ว่ากรณีใดๆ ทั้งสิ้น อีกทั้งห้ามมิให้ดัดแปลงเนื้อหา และต้องอ้างอิงถึงเจ้าของเอกสารทุกครั้งที่มีการนำไปใช้

```
UP:   CJNE  A,#'U',DOWN
      MOV   P0,#00010000B
      AJMP  INDEX
```

```
DOWN:CJNE  A,#'D',STOP
      MOV   P0,#00100000B
      AJMP  INDEX
```

```
STOP: MOV   P0,#00H
      AJMP  INDEX
```

```
*****
```

```
;Interrupt service routine : Push-to-talk
```

```
*****
```

```
SPEAK : MOV  SBUF,#'C'
        JNB  TI,$
        CLR  TI
        RETI
```

```
END
```

เอกสารนี้เป็นเอกสารที่สงวนไว้สำหรับการใช้งานเพื่อการศึกษาเท่านั้น ไม่อนุญาตให้นำไปใช้ประโยชน์ด้านการค้า  
ไม่ว่ากรณีใดๆ ทั้งสิ้น อีกทั้งห้ามมิให้ดัดแปลงเนื้อหา และต้องอ้างอิงถึงเจ้าของเอกสารทุกครั้งที่มีการนำไปใช้



เอกสารนี้เป็นเอกสารที่สงวนไว้สำหรับการใช้งานเพื่อการศึกษาเท่านั้น ไม่อนุญาตให้นำไปใช้ประโยชน์ด้านการค้า  
ไม่ว่ากรณีใดๆ ทั้งสิ้น อีกทั้งห้ามมิให้ตัดแปลงเนื้อหา และต้องอ้างอิงถึงเจ้าของเอกสารทุกครั้งที่มีการนำไปใช้

## Microcontroller AT89S8252

### Features

- Compatible with MCS<sup>®</sup>51 Products
- 8K Bytes of In-System Reprogrammable Downloadable Flash Memory
  - SPI Serial Interface for Program Downloading
  - Endurance: 1,000 Write/Erase Cycles
- 2K Bytes EEPROM
  - Endurance: 100,000 Write/Erase Cycles
- 4V to 5V Operating Range
- Fully Static Operation: 0 Hz to 24 MHz
- Three-Level Program Memory Lock
- 256 x 8-bit Internal RAM
- 32 Programmable I/O Lines
- Three 16-bit Timer/Counters
- Nine Interrupt Sources
- Programmable UART Serial Channel
- SPI Serial Interface
- Low-power Idle and Power-down Modes
- Interrupt Recovery from Power-down
- Programmable Watchdog Timer
- Dual Data Pointer
- Power-off Flag

### Description

The AT89S8252 is a low-power, high-performance CMOS 8-bit microcontroller with 8K bytes of downloadable Flash programmable and erasable read-only memory and 2K bytes of EEPROM. The device is manufactured using Atmel's high-density nonvolatile memory technology and is compatible with the industry-standard 80C51 instruction set and pinout. The on-chip downloadable Flash allows the program memory to be reprogrammed In-System through an SPI serial interface or by a conventional nonvolatile memory programmer. By combining a versatile 8-bit CPU with downloadable Flash on a monolithic chip, the Atmel AT89S8252 is a powerful microcontroller, which provides a highly-flexible and cost-effective solution to many embedded control applications.

The AT89S8252 provides the following standard features: 8K bytes of downloadable Flash, 2K bytes of EEPROM, 256 bytes of RAM, 32 I/O lines, programmable watchdog timer, two data pointers, three 16-bit timer/counters, a six-vector two-level interrupt architecture, a full duplex serial port, on-chip oscillator, and clock circuitry. In addition, the AT89S8252 is designed with static logic for operation down to zero frequency and supports two software selectable power saving modes. The Idle Mode stops the CPU while allowing the RAM, timer/counters, serial port, and interrupt system to continue functioning. The Power-down mode saves the RAM contents but freezes the oscillator, disabling all other chip functions until the next external interrupt or hardware reset.

The downloadable Flash can be changed a single byte at a time and is accessible through the SPI serial interface. Holding RESET active forces the SPI bus into a serial programming interface and allows the program memory to be written to or read from unless lock bits have been activated.



8-bit  
Microcontroller  
with 8K Bytes  
Flash

AT89S8252

Not Recommended  
for New Designs.  
Use AT89S8253.

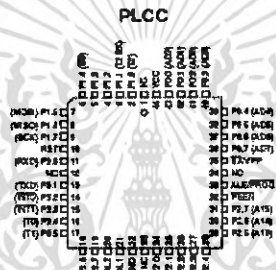
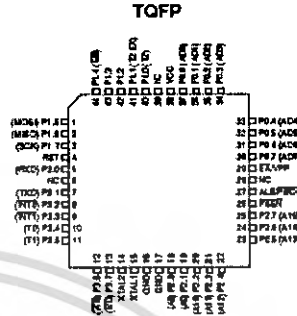
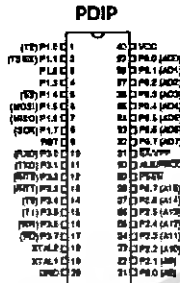
0401G-MCRO-3/06



เอกสารนี้เป็นเอกสารที่สงวนไว้สำหรับการใช้งานเพื่อการศึกษาเท่านั้น ไม่อนุญาตให้นำไปใช้ประโยชน์ด้านการค้า  
ไม่ว่ากรณีใดๆ ทั้งสิ้น อีกทั้งห้ามมิให้ดัดแปลงเนื้อหา และต้องอ้างอิงถึงเจ้าของเอกสารทุกครั้งที่มีการนำไปใช้



Pin Configurations

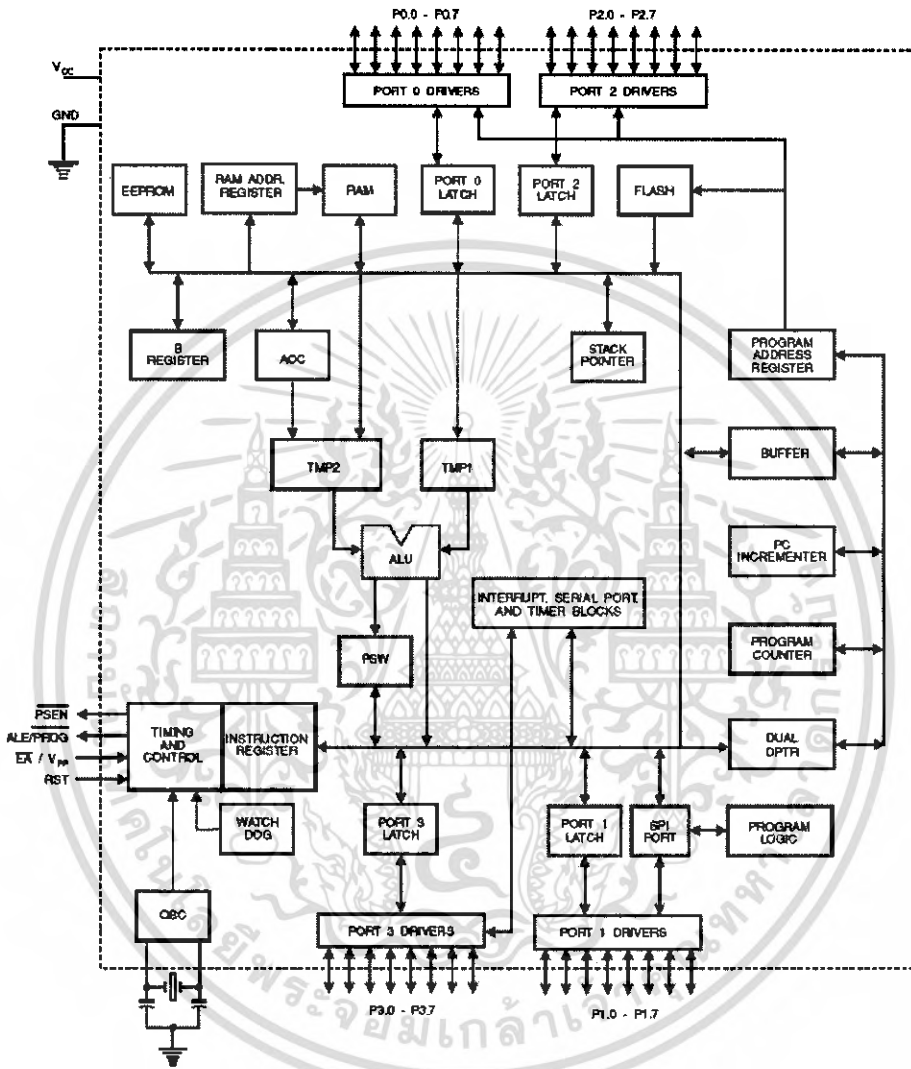


Pin Description

- VCC** Supply voltage.
- GND** Ground.
- Port 0** Port 0 is an 8-bit open drain bi-directional I/O port. As an output port, each pin can sink eight TTL inputs. When 1s are written to port 0 pins, the pins can be used as high-impedance inputs.  
Port 0 can also be configured to be the multiplexed low-order address/data bus during accesses to external program and data memory. In this mode, P0 has internal pull-ups.  
Port 0 also receives the code bytes during Flash programming and outputs the code bytes during program verification. External pull-ups are required during program verification.
- Port 1** Port 1 is an 8-bit bi-directional I/O port with internal pull-ups. The Port 1 output buffers can sink/source four TTL inputs. When 1s are written to Port 1 pins, they are pulled high by the internal pull-ups and can be used as inputs. As inputs, Port 1 pins that are externally being pulled low will source current (I<sub>IL</sub>) because of the internal pull-ups.

เอกสารนี้เป็นเอกสารที่สงวนไว้สำหรับการใช้งานเพื่อการศึกษาเท่านั้น ไม่อนุญาตให้นำไปใช้ประโยชน์ด้านการค้า  
ไม่ว่ากรณีใดๆ ทั้งสิ้น อีกทั้งห้ามมิให้ดัดแปลงเนื้อหา และต้องอ้างอิงถึงเจ้าของเอกสารทุกครั้งที่มีการนำไปใช้

Block Diagram



เอกสารนี้เป็นเอกสารที่สงวนไว้สำหรับการใช้งานเพื่อการศึกษาเท่านั้น ไม่อนุญาตให้นำไปใช้ประโยชน์ด้านการค้า  
ไม่ว่ากรณีใดๆ ทั้งสิ้น อีกทั้งห้ามมิให้ดัดแปลงเนื้อหา และต้องอ้างอิงถึงเจ้าของเอกสารทุกครั้งที่มีการนำไปใช้



Some Port 1 pins provide additional functions. P1.0 and P1.1 can be configured to be the timer/counter 2 external count input (P1.0/T2) and the timer/counter 2 trigger input (P1.1/T2EX), respectively.

Furthermore, P1.4, P1.5, P1.6, and P1.7 can be configured as the SPI slave port select, data input/output and shift clock input/output pins as shown in the following table.

Port Pin	Alternate Functions
P1.0	T2 (external count input to Timer/Counter 2), clock-out
P1.1	T2EX (Timer/Counter 2 capture/reload trigger and direction control)
P1.4	$\overline{SS}$ (Slave port select input)
P1.5	MOSI (Master data output, slave data input pin for SPI channel)
P1.6	MISO (Master data input, slave data output pin for SPI channel)
P1.7	SCK (Master clock output, slave clock input pin for SPI channel)

Port 1 also receives the low-order address bytes during Flash programming and verification.

#### Port 2

Port 2 is an 8-bit bi-directional I/O port with internal pull-ups. The Port 2 output buffers can sink/source four TTL inputs. When 1s are written to Port 2 pins, they are pulled high by the internal pull-ups and can be used as inputs. As inputs, Port 2 pins that are externally being pulled low will source current ( $I_{OL}$ ) because of the internal pull-ups.

Port 2 emits the high-order address byte during fetches from external program memory and during accesses to external data memory that use 16-bit addresses (MOVX @ DPTR). In this application, Port 2 uses strong internal pull-ups when emitting 1s. During accesses to external data memory that use 8-bit addresses (MOVX @ RI), Port 2 emits the contents of the P2 Special Function Register.

Port 2 also receives the high-order address bits and some control signals during Flash programming and verification.

#### Port 3

Port 3 is an 8-bit bi-directional I/O port with internal pull-ups. The Port 3 output buffers can sink/source four TTL inputs. When 1s are written to Port 3 pins, they are pulled high by the internal pull-ups and can be used as inputs. As inputs, Port 3 pins that are externally being pulled low will source current ( $I_{OL}$ ) because of the pull-ups.

Port 3 receives some control signals for Flash programming and verification.

Port 3 also serves the functions of various special features of the AT89S8252, as shown in the following table.

Port Pin	Alternate Functions
P3.0	RXD (serial input port)
P3.1	TXD (serial output port)
P3.2	INT0 (external interrupt 0)
P3.3	INT1 (external interrupt 1)
P3.4	T0 (timer 0 external input)
P3.5	T1 (timer 1 external input)
P3.6	WR (external data memory write strobe)
P3.7	RD (external data memory read strobe)

- RST** Reset input. A high on this pin for two machine cycles while the oscillator is running resets the device.
- ALE/PROG** Address Latch Enable is an output pulse for latching the low byte of the address during accesses to external memory. This pin is also the program pulse input (PROG) during Flash programming.  
In normal operation, ALE is emitted at a constant rate of 1/6 the oscillator frequency and may be used for external timing or clocking purposes. Note, however, that one ALE pulse is skipped during each access to external data memory.  
If desired, ALE operation can be disabled by setting bit 0 of SFR location 8EH. With the bit set, ALE is active only during a MOVX or MOVC instruction. Otherwise, the pin is weakly pulled high. Setting the ALE-disable bit has no effect if the microcontroller is in external execution mode.
- PSEN** Program Store Enable is the read strobe to external program memory.  
When the AT89S8252 is executing code from external program memory, PSEN is activated twice each machine cycle, except that two PSEN activations are skipped during each access to external data memory.
- EA/VPP** External Access Enable. EA must be strapped to GND in order to enable the device to fetch code from external program memory locations starting at 0000H up to FFFFH. Note, however, that if lock bit 1 is programmed, EA will be internally latched on reset.  
EA should be strapped to V<sub>CC</sub> for internal program executions. This pin also receives the 12-volt programming enable voltage (V<sub>pp</sub>) during Flash programming when 12-volt programming is selected.
- XTAL1** Input to the inverting oscillator amplifier and input to the internal clock operating circuit.
- XTAL2** Output from the inverting oscillator amplifier.

# MAX232 Communication Interface

19-4323; Rev 10; 8/01

## MAXIM +5V-Powered, Multichannel RS-232 Drivers/Receivers

MAX220-MAX249

### General Description

The MAX220-MAX249 family of line drivers/receivers is intended for all EIA/TIA-232E and V.28/V.24 communications interfaces, particularly applications where  $\pm 12V$  is not available.

These parts are especially useful in battery-powered systems, since their low-power shutdown mode reduces power dissipation to less than 5 $\mu$ W. The MAX225, MAX233, MAX235, and MAX245/MAX246/MAX247 use no external components and are recommended for applications where printed circuit board space is critical.

### Applications

Portable Computers  
Low-Power Modems  
Interface Translation  
Battery-Powered RS-232 Systems  
Multidrop RS-232 Networks

### Features

#### Superior to Bipolar

- ◆ Operate from Single +5V Power Supply (+5V and +12V—MAX231/MAX239)
- ◆ Low-Power Receive Mode in Shutdown (MAX223/MAX242)
- ◆ Meet All EIA/TIA-232E and V.28 Specifications
- ◆ Multiple Drivers and Receivers
- ◆ 3-State Driver and Receiver Outputs
- ◆ Open-Line Detection (MAX243)

### Ordering Information

PART	TEMP. RANGE	PIN-PACKAGE
MAX220CPE	0°C to +70°C	16 Plastic DIP
MAX220CSE	0°C to +70°C	16 Narrow SO
MAX220CWE	0°C to +70°C	16 Wide SO
MAX220CD	0°C to +70°C	Dice*
MAX220EPE	-40°C to +85°C	16 Plastic DIP
MAX220ESE	-40°C to +85°C	16 Narrow SO
MAX220EWE	-40°C to +85°C	16 Wide SO
MAX220EJE	-40°C to +85°C	16 CERDIP
MAX220MJE	-55°C to +125°C	16 CERDIP

Ordering information continued at end of data sheet.  
\*Contact factory for dice specifications.

### Selection Table

Part Number	Power Supply (V)	No. of RS-232 Drivers/Rx	No. of Ext. Caps	Nominal Cap. Value (nF)	SHDN & Three-State	Rx Active in SHDN	Data Rate (kbps)	Features
MAX220	+5	2/2	4	0.1	No	—	120	Ultra-low-power, industry-standard pinout
MAX222	+5	2/2	4	0.1	Yes	—	200	Low-power shutdown
MAX223 (MAX213)	+5	4/5	4	1.0 (0.1)	Yes	✓	120	MAX241 and receivers active in shutdown
MAX225	+5	5/5	0	—	Yes	✓	120	Available in SO
MAX230 (MAX200)	+5	5/0	4	1.0 (0.1)	Yes	—	120	5 drivers with shutdown
MAX231 (MAX201)	+5 and +7.5 to +13.2	2/2	2	1.0 (0.1)	No	—	120	Standard +5/+12V or battery supplies; same functions as MAX232
MAX232 (MAX202)	+5	2/2	4	1.0 (0.1)	No	—	120 (64)	Industry standard
MAX232A	+5	2/2	4	0.1	No	—	200	Higher slew rate, small caps
MAX233 (MAX203)	+5	2/2	0	—	No	—	120	No external caps
MAX233A	+5	2/2	0	—	No	—	200	No external caps, high slew rate
MAX234 (MAX204)	+5	4/0	4	1.0 (0.1)	No	—	120	Replaces 1483
MAX235 (MAX205)	+5	5/5	0	—	Yes	—	120	No external caps
MAX236 (MAX206)	+5	4/3	4	1.0 (0.1)	Yes	—	120	Shutdown, three state
MAX237 (MAX207)	+5	5/3	4	1.0 (0.1)	No	—	120	Complements IBM PC serial port
MAX238 (MAX208)	+5	4/4	4	1.0 (0.1)	No	—	120	Replaces 1488 and 1489
MAX239 (MAX209)	+5 and +7.5 to +13.2	3/5	2	1.0 (0.1)	No	—	120	Standard +5/+12V or battery supplies; single-package solution for IBM PC serial port
MAX240	+5	5/5	4	1.0	Yes	—	120	DIP or flatpack package
MAX241 (MAX211)	+5	4/5	4	1.0 (0.1)	Yes	—	120	Complete IBM PC serial port
MAX242	+5	2/2	4	0.1	Yes	✓	200	Separate shutdown and enable
MAX243	+5	2/2	4	0.1	No	—	200	Open-line detection simplifies cabling
MAX244	+5	8/10	4	1.0	No	—	120	High slew rate
MAX245	+5	8/10	0	—	Yes	✓	120	High slew rate, int. caps, two shutdown modes
MAX246	+5	8/10	0	—	Yes	✓	120	High slew rate, int. caps, three shutdown modes
MAX247	+5	8/0	0	—	Yes	✓	120	High slew rate, int. caps, nine operating modes
MAX248	+5	8/8	4	1.0	Yes	✓	120	High slew rate, selective half-chip enables
MAX249	+5	6/10	4	1.0	Yes	✓	120	Available in quad flatpack package

MAXIM

Maxim Integrated Products 1

For pricing, delivery, and ordering information, please contact Maxim/Dallas Direct! at 1-888-629-4642, or visit Maxim's website at [www.maxim-ic.com](http://www.maxim-ic.com).

เอกสารนี้เป็นเอกสารที่สงวนไว้สำหรับการใช้งานเพื่อการศึกษาเท่านั้น ไม่อนุญาตให้นำไปใช้ประโยชน์ด้านการค้า  
ไม่ว่ากรณีใดๆ ทั้งสิ้น อีกทั้งห้ามมิให้คัดลอกเนื้อหา และต้องอ้างอิงถึงเจ้าของเอกสารทุกครั้งที่มีการนำไปใช้

## +5V-Powered, Multichannel RS-232 Drivers/Receivers

MAX220-MAX249

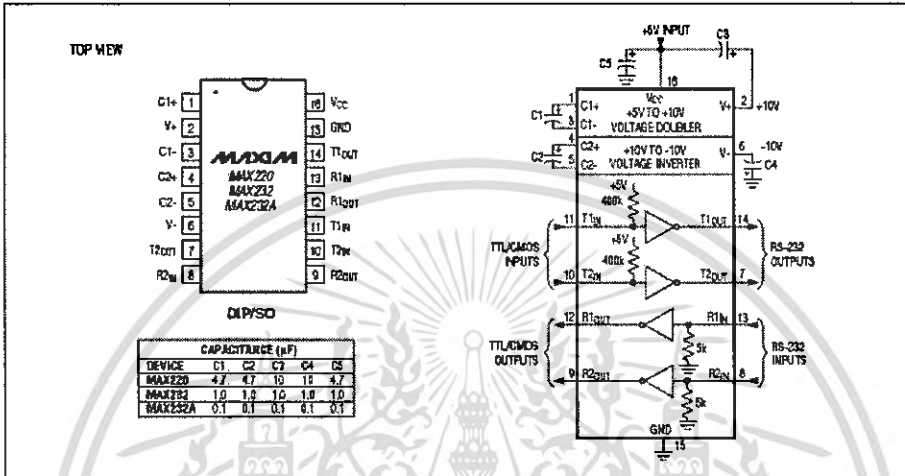


Figure 5. MAX220/MAX232/MAX232A Pin Configuration and Typical Operating Circuit

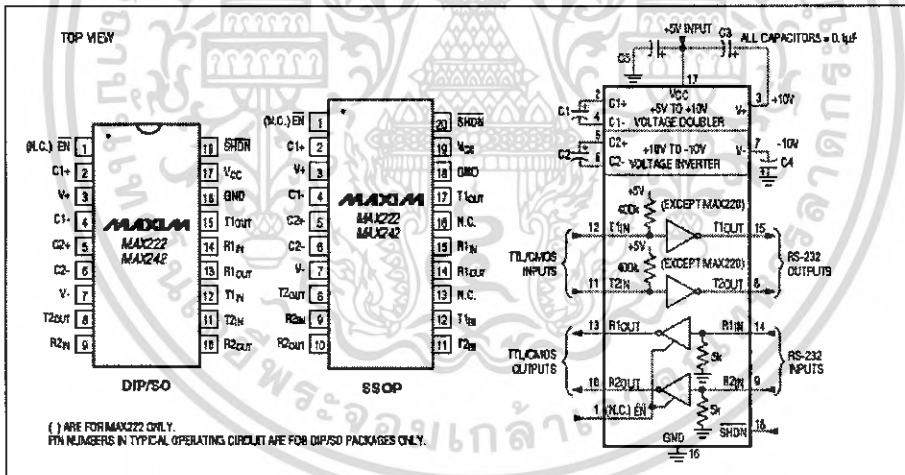


Figure 6. MAX222/MAX242 Pin Configurations and Typical Operating Circuit

**MAXIM**

17

เอกสารนี้เป็นเอกสารที่สงวนไว้สำหรับการใช้งานเพื่อการศึกษาเท่านั้น ไม่อนุญาตให้นำไปใช้ประโยชน์ด้านการค้า ไม่ว่าจะกรณีใดๆ ทั้งสิ้น อีกทั้งห้ามมิให้ดัดแปลงเนื้อหา และต้องอ้างอิงถึงเจ้าของเอกสารทุกครั้งที่มีการนำไปใช้

# L293D Motor Driver

## L293, L293D QUADRUPLE HALF-H DRIVERS

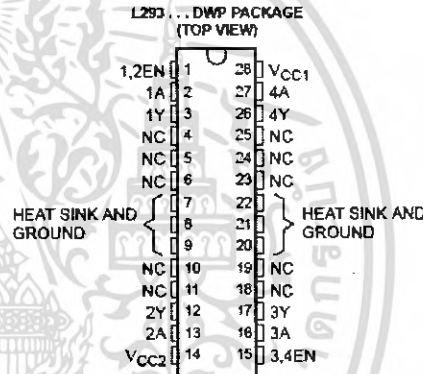
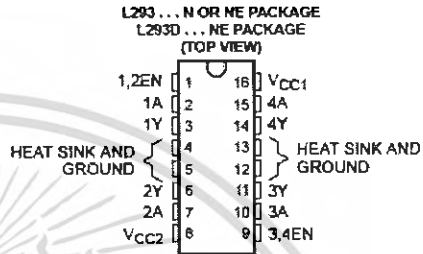
SLRS008C - SEPTEMBER 1986 - REVISED NOVEMBER 2004

- Featuring Unijunction L293 and L293D Products Now From Texas Instruments
- Wide Supply-Voltage Range: 4.5 V to 36 V
- Separate Input-Logic Supply
- Internal ESD Protection
- Thermal Shutdown
- High-Noise-Immunity Inputs
- Functionally Similar to SGS L293 and SGS L293D
- Output Current 1 A Per Channel (600 mA for L293D)
- Peak Output Current 2 A Per Channel (1.2 A for L293D)
- Output Clamp Diodes for inductive Transient Suppression (L293D)

### description/ordering information

The L293 and L293D are quadruple high-current half-H drivers. The L293 is designed to provide bidirectional drive currents of up to 1 A at voltages from 4.5 V to 36 V. The L293D is designed to provide bidirectional drive currents of up to 600-mA at voltages from 4.5 V to 36 V. Both devices are designed to drive inductive loads such as relays, solenoids, dc and bipolar stepping motors, as well as other high-current/high-voltage loads in positive-supply applications.

All inputs are TTL compatible. Each output is a complete totem-pole drive circuit, with a Darlington transistor sink and a pseudo-Darlington source. Drivers are enabled in pairs, with drivers 1 and 2 enabled by 1,2EN and drivers 3 and 4 enabled by 3,4EN. When an enable input is high, the associated drivers are enabled, and their outputs are active and in phase with their inputs. When the enable input is low, those drivers are disabled, and their outputs are off and in the high-impedance state. With the proper data inputs, each pair of drivers forms a full-H (or bridge) reversible drive suitable for solenoid or motor applications.



### ORDERING INFORMATION

TA	PACKAGE†		ORDERABLE PART NUMBER	TOP-SIDE MARKING
0°C to 70°C	HSOP (DWP)	Tube of 20	L293DWP	L293DWP
	PDIP (N)	Tube of 25	L293N	L293N
	PDIP (NE)	Tube of 25	L293NE	L293NE
		Tube of 25	L293DNE	L293DNE

† Package drawings, standard packing quantities, thermal data, symbolization, and PCB design guidelines are available at [www.ti.com/sc/package](http://www.ti.com/sc/package).



Please be aware that an important notice concerning availability, standard warranty, and use in critical applications of Texas Instruments semiconductor products and disclaimers thereto appears at the end of this data sheet.

PRODUCTION DATA: Information is current as of publication date. Products may be in discontinuation but the terms of Texas Instruments standard warranty apply. Production quantities only. Not for sale in all countries.

**TEXAS INSTRUMENTS**  
POST OFFICE BOX 655303 • DALLAS, TEXAS 75265

Copyright © 2004, Texas Instruments Incorporated

เอกสารนี้เป็นเอกสารที่สงวนไว้สำหรับการใช้งานเพื่อการศึกษาเท่านั้น ไม่อนุญาตให้นำไปใช้ประโยชน์ด้านการค้า  
ไม่ว่ากรณีใดๆ ทั้งสิ้น อีกทั้งห้ามมิให้ดัดแปลงเนื้อหา และต้องอ้างอิงถึงเจ้าของเอกสารทุกครั้งที่มีการนำไปใช้

**L293, L293D  
QUADRUPLE HALF-H DRIVERS**

SLRSD08C - SEPTEMBER 1986 - REVISED NOVEMBER 2004

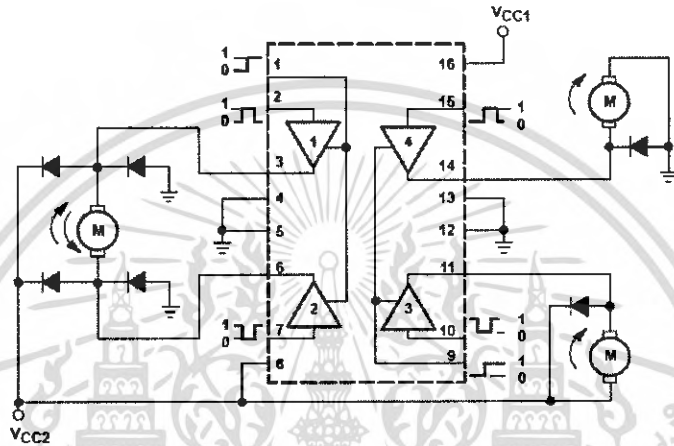
**description/ordering information (continued)**

On the L293, external high-speed output clamp diodes should be used for inductive transient suppression.

A  $V_{CC1}$  terminal, separate from  $V_{CC2}$ , is provided for the logic inputs to minimize device power dissipation.

The L293 and L293D are characterized for operation from 0°C to 70°C.

**block diagram**



NOTE: Output diodes are internal in L293D.

FUNCTION TABLE  
(each driver)

INPUTS†		OUTPUT
A	EN	Y
H	H	H
L	H	L
X	L	Z

H = high level, L = low level, X = irrelevant, Z = high impedance (off)  
† In the thermal shutdown mode, the output is in the high-impedance state, regardless of the input levels.

# 74HC14 Schmitt Trigger

Philips Semiconductors

Product specification

Hex inverting Schmitt trigger

74HC/HCT14

PIN DESCRIPTION

PIN NO.	SYMBOL	NAME AND FUNCTION
1, 3, 5, 9, 11, 13	1A to 6A	data inputs
2, 4, 6, 8, 10, 12	1Y to 6Y	data outputs
7	GND	ground (0 V)
14	V <sub>cc</sub>	positive supply voltage

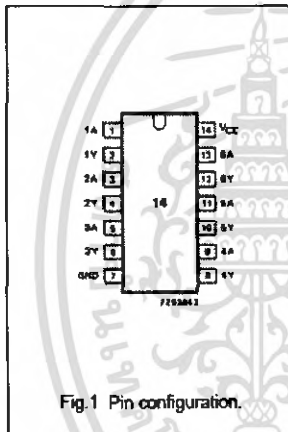


Fig.1 Pin configuration.



Fig.2 Logic symbol.

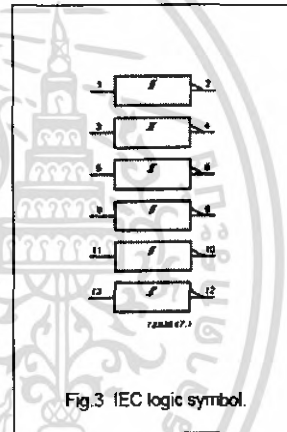


Fig.3 IEC logic symbol.

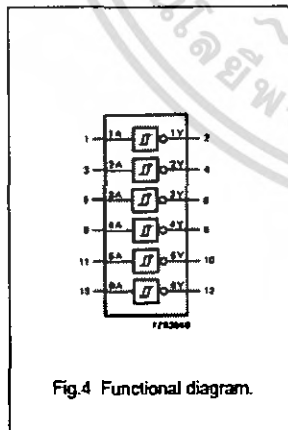


Fig.4 Functional diagram.

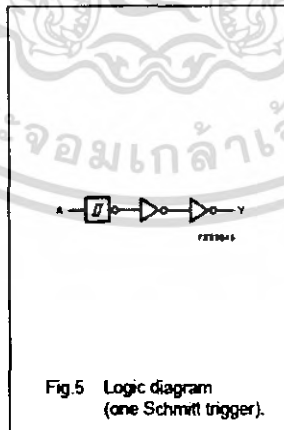


Fig.5 Logic diagram (one Schmitt trigger).

FUNCTION TABLE

INPUT	OUTPUT
nA	nY
L	H
H	L

Notes

- H = HIGH voltage level  
L = LOW voltage level

APPLICATIONS

- Wave and pulse shapers
- Astable multivibrators
- Monostable multivibrators

เอกสารนี้เป็นเอกสารที่สงวนไว้สำหรับการใช้งานเพื่อการศึกษาเท่านั้น ไม่อนุญาตให้นำไปใช้ประโยชน์ด้านการค้า  
ไม่ว่ากรณีใดๆ ทั้งสิ้น อีกทั้งห้ามมิให้ดัดแปลงเนื้อหา และต้องอ้างอิงถึงเจ้าของเอกสารทุกครั้งที่มีการนำไปใช้

